

สำนักหอสมุดกลาง พระจอมเกล้าลาดกระบัง

เครื่องวัดกำลังไฟฟ้าแบบดิจิตอล  
DIGITAL WATTMETER



โดย

นายปรกฤษฎ์ ทวีชีพ  
นายปิยะวัฒน์ แทนนิต  
นายศุภฤกษ์ สุขการ

เลขหมู่.....  
เลขทะเบียน..... 86736  
วัน,เดือน,ปี..... 14 ส.ค. 2552

.b.....
.i.....

ปฏิญานีพนธ์นี้เป็นส่วนหนึ่งของการศึกษาตามหลักสูตรปริญญาอุตสาหกรรมศาสตรบัณฑิต

สาขาวิชาเทคโนโลยีโทรคมนาคม  
คณะวิศวกรรมศาสตร์  
สถาบันเทคโนโลยีพระจอมเกล้าเจ้าคุณทหารลาดกระบัง  
ปีการศึกษา 2538

เอกสารนี้เป็นเอกสารที่สงวนไว้สำหรับการใช้งานเพื่อการศึกษาเท่านั้น ไม่อนุญาตให้นำไปใช้ประโยชน์ด้านการค้า  
ไม่ว่ากรณีใดๆ ทั้งสิ้น อีกทั้งห้ามมิให้ดัดแปลงเนื้อหา และต้องอ้างอิงถึงเจ้าของเอกสารทุกครั้งที่มีการนำไปใช้

หัวข้อปริญญานิพนธ์ เครื่องวัดกำลังไฟฟ้าแบบดิจิตอล  
DIGITAL WATTMETER

ชื่อนักศึกษา นายปรกฤษฎ์ ทวีชีพ  
นายปิยะวัฒน์ แทนนิต  
นายศุภฤกษ์ สุขการ

อาจารย์ที่ปรึกษา อาจารย์กฤตดากร กล่อมการ  
อาจารย์ดลชัย สุขเจริญผล

ภาควิชา เทคนิคอุตสาหกรรม

ปีการศึกษา 2538

คณะวิศวกรรมศาสตร์ สถาบันเทคโนโลยีพระจอมเกล้าเจ้าคุณทหารลาดกระบัง  
อนุมัติให้รับปริญญานิพนธ์ฉบับนี้เป็นส่วนหนึ่งของการศึกษาตามหลักสูตรอุตสาหกรรมศาสตร์  
บัณฑิต

คณะกรรมการสอบปริญญานิพนธ์

..... ประธานกรรมการ  
( )  
..... กรรมการ  
( )  
..... กรรมการ  
( )  
..... กรรมการ  
( )  
..... กรรมการ  
( )

เอกสารนี้เป็นลิขสิทธิ์ของคณะวิศวกรรมศาสตร์ สถาบันเทคโนโลยีพระจอมเกล้าเจ้าคุณทหารลาดกระบัง  
ไม่ว่ากรณีใดๆ ทั้งสิ้น อีกทั้งห้ามมิให้ดัดแปลงเนื้อหา และต้องอ้างอิงถึงเจ้าของเอกสารทุกครั้งที่มีการนำไปใช้

## เครื่องวัดกำลังไฟฟ้าแบบดิจิตอล

โดย นายปรกฤษฎ์ ทวีชีพ รหัส 37012058  
นายปิยะวัฒน์ แทนนิล รหัส 37012061  
นายศุภฤกษ์ สุขการ รหัส 37012067

อาจารย์ที่ปรึกษา อาจารย์กฤตากร กล่อมการ  
อาจารย์คณชัย สุขเจริญผล

ปีการศึกษา 2538

### บทคัดย่อ

ปริญญานิพนธ์ฉบับนี้จัดเรียบเรียงขึ้นมาจากการออกแบบและสร้าง ดิจิตอลวัตต์มิเตอร์ (Digital wattmeter) ซึ่งดิจิตอลวัตต์มิเตอร์นี้เป็นแบ่งในลักษณะการทำงานได้ 2 ส่วน ในส่วนแรกเป็นวงจรที่ใช้สำหรับวัดกำลังไฟฟ้าได้ การทำงานของวงจรนี้ทำได้โดยการนำแรงดันที่ตกคร่อมโหลดคูณกับกระแสไฟฟ้าที่โหลดใช้ ซึ่งใช้ไอซีมัลติเบิ้ลในการคูณ ส่วนที่สอง เป็นส่วนการควบคุมและแสดงผล ในส่วนนี้ใช้ไมโครโปรเซสเซอร์ (Microprocessor) เบอร์ Z80180 คุณสมบัติของดิจิตอลวัตต์มิเตอร์จะสามารถเก็บค่าที่วัดมาได้ไว้ที่หน่วยความจำ และแสดงค่าออกมาเป็นกำลังไฟฟ้า หรือกำลังไฟฟ้าต่อชั่วโมง

## DIGITAL WATTMETER

BY Mr. Porrakit Thaveechep No.37012058  
 Mr. Piyawat Tannil No.37012061  
 Mr. Supparerk Suggan No.37012067

ADVISER Mr. Kitdakorn Klomkarn  
 Mr. Dolchai Suckcharoenphol

YEAR 1995

### abstract

This thesis is concerned about design and construction of digital watt meter. The meter consist of two part. The first part is electrical power measurement circuit ,the technique in measurement used voltage drop load multiplies with current consumption by using multiplier integrated circuits. The second part is control and display circuit that used z80180 microprocessor. In addition simple electrical power measurement, this meter can be process a data acquisition in form of watt or watt-hour , and print out data on the printer. .

## กิตติกรรมประกาศ

ปริญญานิพนธ์ฉบับนี้ได้สำเร็จลุล่วงไปได้ด้วยดี ก็ด้วยความช่วยเหลือของ อาจารย์ กฤดากร กลุ่มมการ และอาจารย์คลชัย สุขเจริญผล ซึ่งเป็นอาจารย์ที่ปรึกษาปริญญานิพนธ์ ท่านทั้งสองให้คำแนะนำและข้อคิดเห็นต่างๆ ตลอดระยะเวลาการทำงาน รวมถึงเพื่อนๆ ซึ่งไม่ได้หมายถึงแค่เพื่อนในห้อง 2M เท่านั้น ที่ได้มีส่วนช่วยให้กำลังใจตลอดมา และท้ายสุดที่จะลืมเสียไม่ได้ก็คือ สถาบันเทคโนโลยีพระจอมเกล้าเจ้าคุณทหารลาดกระบัง ศูนย์นนทบุรี ที่เป็นสถานที่วิจัยของกลุ่มผู้ทำวิจัย ถึงแม้อุปสรรคจะไม่ค่อยพร้อมก็ตามที

หนึ่งคุณความดีใดๆ ไม่มากก็น้อย ที่เกิดจากปริญญานิพนธ์ฉบับนี้ขอบใจให้แก่ บิดา มารดา ครูบาอาจารย์ เพื่อนๆ ที่มีจิตสำนึกที่ดีในการทำงานทำ ตลอดจนโลกใบนี้ที่อุทิศสถานที่ให้เราจนถึงบัดนี้

กลุ่มผู้วิจัย

## สารบัญ

บทคัดย่อภาษาไทย	ก
บทคัดย่อภาษาอังกฤษ	ข
กิตติกรรมประกาศ	ค
1. บทที่1 บทนำ	
1.1 แนวความคิด	1
1.2 เครื่องวัดกำลังไฟฟ้าแบบดิจิตอล	1
2. บทที่2 วัดวัตต์มิเตอร์ (Wattmeter)	
2.1 ทฤษฎีกำลังไฟฟ้า	3
2.2 หลักการทำงานของวงจรวัดวัตต์มิเตอร์	8
3. บทที่3 ไมโครโปรเซสเซอร์ (Microprocessor)	
3.1 คอนโทรลเลอร์	11
3.2 โปรแกรมดีบั๊กเกอร์	17
4. บทที่4 การแปลงสัญญาณอนาล็อกเป็นสัญญาณดิจิตอล (Analog to digital converter)	
4.1 ทฤษฎี	20
4.2 วงจรแปลงอนาล็อกเป็นดิจิตอล	20
4.3 วงจรเอทูดี้ที่ใช้การอิตีเกรต	22
4.4 การทำงานของวงจรเอทูดี้	23
4.5 การเชื่อมต่อไอซี ADC0809 กับไมโครโปรเซสเซอร์บอร์ด	24
5. บทที่5 การแสดงผล (Display)	
5.1 แผงแสดงผลแบบผลึกเหลว (LCD)	26
5.2 การควบคุมการแสดงผลของ LCD	27
6. บทที่6 การทดลอง	
6.1 การทดลองและปรับแต่งวงจรวัดกำลังไฟฟ้า	35

เอกสารนี้เป็นเอกสารที่สงวนไว้สำหรับการใช้งานเพื่อการศึกษาเท่านั้น ไม่อนุญาตให้นำไปใช้ประโยชน์ด้านการค้า  
ไม่ว่ากรณีใดๆ ทั้งสิ้น อีกทั้งห้ามมิให้ตัดแปลงเนื้อหา และต้องอ้างอิงถึงเจ้าของเอกสารทุกครั้งที่มีการนำไปใช้

6.2 การทดลองวงจรมัลติไมเตอร์-คิจ	37
6.3 การทดลองวัดสัญญาณคิจต่อจากวงจรใช้งานจริง	38
6.4 การทดลองเขียนโปรแกรม	39
7. บทที่7 บทสรุปและข้อเสนอแนะ	
7.1 บทสรุป	44
7.2 ข้อเสนอแนะ	44

หนังสืออ้างอิง

- ภาคผนวก ก. โปรแกรมที่ใช้งาน  
 ภาคผนวก ข. วงจรที่ใช้งาน  
 ภาคผนวก ค. ข้อมูลของไอซีที่ใช้



เอกสารนี้เป็นเอกสารที่สงวนไว้สำหรับการใช้งานเพื่อการศึกษาเท่านั้น ไม่อนุญาตให้นำไปใช้ประโยชน์ด้านการค้า  
 ไม่ว่ากรณีใดๆ ทั้งสิ้น อีกทั้งห้ามมิให้ดัดแปลงเนื้อหา และต้องอ้างอิงถึงเจ้าของเอกสารทุกครั้งที่มีการนำไปใช้

## บทที่ 1

### บทนำ

#### 1.1 แนวความคิด

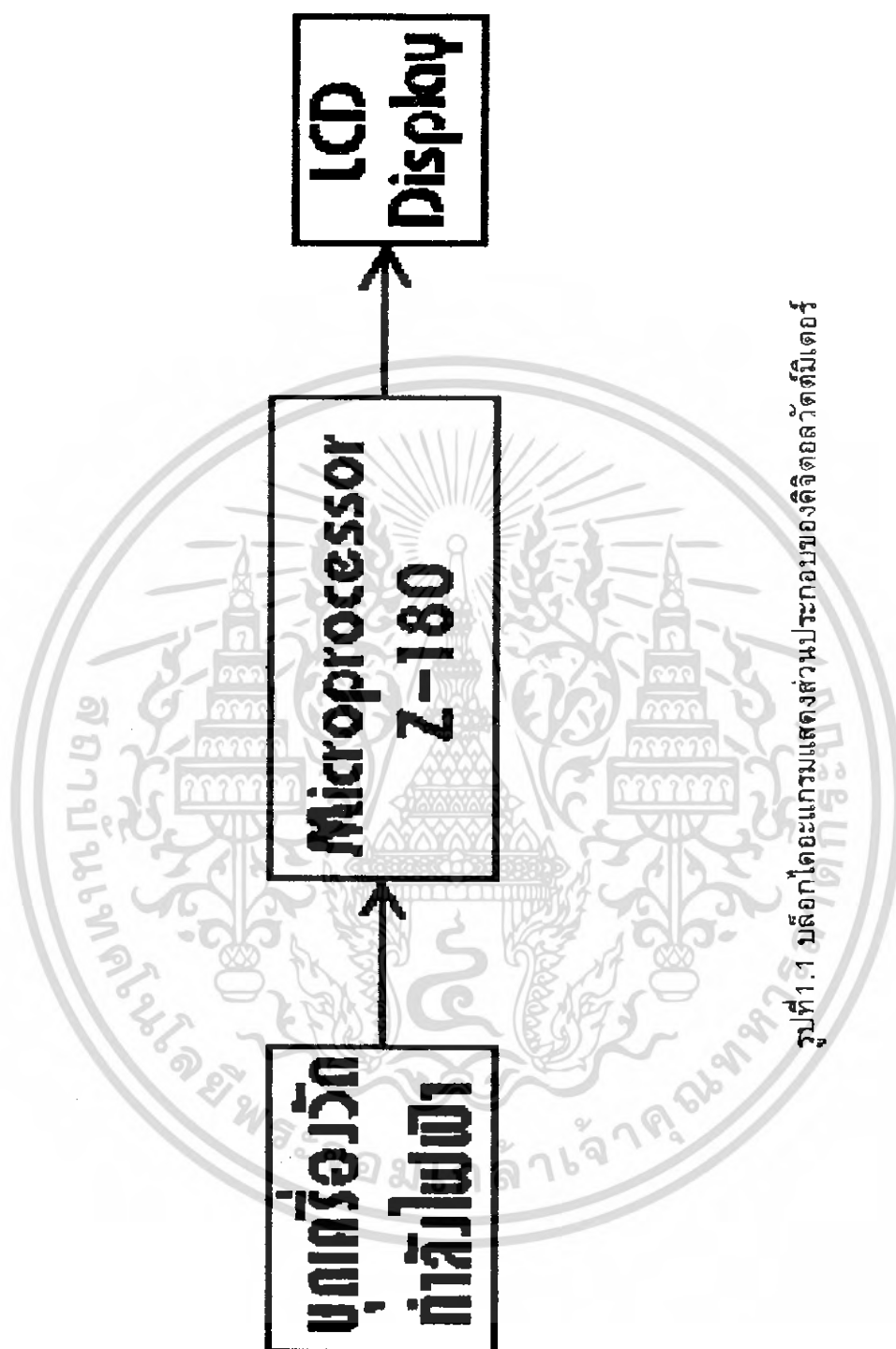
ในปัจจุบันเครื่องวัดมีความจำเป็นมากโดยเฉพาะผู้ที่ทำงานทางด้านช่างซ่อมหรือ ทางผู้วิจัยโรงงาน ดังนั้นบริษัทผู้ผลิตจึงได้แข่งขันกันผลิตเครื่องมือวัดในรูปแบบต่างๆ ไม่ว่าจะเป็นเป็นลักษณะการวัด ฟังก์ชัน ความน่าเชื่อถือของเครื่องวัด ซึ่งแต่ละบริษัทได้ผลิตออกมาสาเหตุดังกล่าวจึงเป็นสาเหตุให้ราคาเครื่องวัดมีราคาแพง และอีกสาเหตุหนึ่งคือเครื่องวัดที่ผลิตออกมาขายยากต่อการนำมาประยุกต์ใช้งานบางอย่าง ซึ่งขึ้นอยู่กับผู้ใช้ ดังนั้นโรงงานนี้จึงเกิดขึ้นเพื่อทำการวิจัยและผลิตเป็นต้นแบบ ให้ได้ต้นทุนที่ต่ำและสามารถนำเครื่องวัดนี้ไปประยุกต์ใช้งานได้ง่ายและหลายแบบ อีกทั้งยังสามารถนำงานชิ้นนี้ไปออกแบบและพัฒนาเพิ่มเติมได้อีกด้วย แต่ข้อจำกัดของการจัดสร้างเครื่องมือวัดก็คือ เราไม่สามารถที่จะวิจัยและผลิตเครื่องวัดชนิดที่มีการทำงานที่ยุ่งยากและละเอียดอ่อนได้ เนื่องจากปัจจัยหลายอย่าง เช่น ความพร้อมของเครื่องมือ ความพร้อมของผู้วิจัยพัฒนา ด้วยเหตุนี้เองจึงเลือกที่จะวิจัยและผลิตเครื่องวัดที่เรียกว่า “เครื่องวัดกำลังไฟฟ้า แบบดิจิตอล (DIGITAL WATTMETER) ”

#### 1.2 เครื่องวัดกำลังไฟฟ้าแบบดิจิตอล (DIGITAL WATTMETER)

เครื่องวัดกำลังไฟฟ้าแบบดิจิตอล นี้จะประกอบไปด้วยส่วนประกอบ 3 ส่วน ซึ่งต้องทำงานร่วมกัน คือ

1. ภาคเครื่องวัดกำลังไฟฟ้า ในส่วนนี้จะต้องต่ออยู่กับโหลด (Load) ที่ต้องการจะวัดกำลังไฟฟ้า เครื่องวัดนี้จะนำค่าแรงดัน และค่ากระแส ของโหลด มาคูณกับค่าคงที่ค่าหนึ่ง และนำผลออกมาที่ด้านเอาต์พุตเป็นแรงดันระดับหนึ่ง ซึ่งแปรผันกับกำลังไฟฟ้าของโหลดที่วัด
2. ภาคควบคุม ในส่วนนี้ใช้ไมโครโปรเซสเซอร์ (Microprocessor) Z-180 มาเก็บค่าที่วัดได้และประมวลผล แสดงผลที่ภาคแสดงผล โดยจะนำเอาต์พุตจาก เครื่องวัดกำลังไฟฟ้า เข้าวงจรอนาลอกทูดิจิตอลคอนเวอร์เตอร์ (Analog to digital convertor) ก่อนที่จะส่งเข้าไปประมวลผลที่ไมโครโปรเซสเซอร์ คำสั่งที่ใช้ควบคุมไมโครโปรเซสเซอร์ก็คือใช้ภาษาแอสเซมบลี (Assembly)
3. ภาคแสดงผล ในส่วนนี้จะใช้จอผลึกเหลว (Liquid crystal display :LCD) แบบดอทเมตริก (Dot matrix) เป็นส่วนแสดงผล

เอกสารนี้เป็นเอกสารที่สงวนไว้สำหรับการใช้งานเพื่อการศึกษาเท่านั้น ไม่อนุญาตให้นำไปใช้ประโยชน์ด้านการค้าไม่ว่ากรณีใดๆ ทั้งสิ้น อีกทั้งห้ามมิให้ตัดแปลงเนื้อหา และต้องอ้างอิงถึงเจ้าของเอกสารทุกครั้งที่มีการนำไปใช้



เอกสารนี้เป็นเอกสารที่สงวนไว้สำหรับการใช้งานเพื่อการศึกษาเท่านั้น ไม่อนุญาตให้นำไปใช้ประโยชน์ด้านการค้า  
ไม่ว่ากรณีใดๆ ทั้งสิ้น อีกทั้งห้ามมิให้ดัดแปลงเนื้อหา และต้องอ้างอิงถึงเจ้าของเอกสารทุกครั้งที่มีการนำไปใช้

## บทที่ 2

### วัตต์มิเตอร์ (WATTMETER)

#### 2.1 ทฤษฎีกำลังไฟฟ้า

ในการคำนวณเกี่ยวกับวงจรไฟฟ้านั้น มีอยู่สิ่งหนึ่งที่เราไม่สามารถจะหลีกเลี่ยงได้ นั่นคือ การพิจารณาและการคำนวณเกี่ยวกับกำลังไฟฟ้าที่เกิดขึ้นภายในวงจร การพิจารณาและการคำนวณเกี่ยวกับกำลังไฟฟ้าที่เกิดขึ้นภายในวงจรในเรื่องวงจรไฟฟ้ากระแสตรงนั้น จะเห็นได้ว่า ไม่ยุ่งยากและซับซ้อนเท่าใดนัก เพราะกำลังไฟฟ้าที่เกิดขึ้นในวงจรไฟฟ้ากระแสตรงมีค่าเท่ากับผลคูณของแรงดันกับกระแสที่มีค่าคงที่และอินเฟส (Inphase) กันด้วย ซึ่งสามารถที่จะเขียนเป็นสูตรได้ว่า  $P = IE$  (ในที่นี้  $P =$  กำลังงานไฟฟ้ามีหน่วยเป็นวัตต์,  $I =$  กระแสไฟฟ้ามีหน่วยเป็นแอมแปร์ และ  $E =$  แรงดันไฟฟ้ามีหน่วยเป็นโวลท์) ส่วนกำลังไฟฟ้าที่เกิดขึ้นในวงจรไฟฟ้ากระแสสลับ คู่ออกจะยุ่งยากและสลับซับซ้อนมากกว่าทั้งนี้เพราะ แรงดันกับกระแสของไฟสลับมีการเปลี่ยนแปลงขนาดอยู่ตลอดเวลา นอกจากนี้มุมเฟสของวงจรที่เกิดจากแรงดันกับกระแสยังมีการเปลี่ยนแปลงไปด้วยเมื่อใช้โหลดที่แตกต่างกัน ดังนั้นกำลังไฟฟ้าของไฟสลับที่เกิดขึ้น ณ เวลาชั่วขณะใดขณะหนึ่งนั้น จะมีค่าเท่ากับผลคูณของแรงดันกับกระแสที่เกิดขึ้น ณ เวลาในขณะนั้น ซึ่งเขียนเป็นสูตรได้ว่า  $p = ie$  (ในที่นี้  $p, i$  และ  $e$  หมายถึง กำลังไฟฟ้า กระแสไฟฟ้า และแรงดันไฟฟ้าชั่วขณะใดๆ ของไฟสลับตามลำดับ)

การพิจารณาและการคำนวณเกี่ยวกับกำลังไฟฟ้าที่เกิดขึ้นในวงจรไฟฟ้ากระแสสลับ จะแยกพิจารณาออกเป็น 3 ลักษณะ คือ

1. กำลังไฟฟ้าที่จ่ายให้แก่วงจร ซึ่งเป็น กำลังไฟฟ้าที่ปรากฏให้เห็นทางโวลท์มิเตอร์ (Voltmeter) และแอมมิเตอร์ (Ammeter) กล่าวคือ เป็นกำลังไฟฟ้าที่ได้จากผลคูณของแรงดันกับกระแสที่ปรากฏให้เห็นทางโวลท์มิเตอร์และแอมมิเตอร์นั่นเอง จึงเรียก กำลังไฟฟ้านิพนี้นี้ว่า กำลังไฟฟ้าที่ปรากฏให้เห็นหรือ กำลังไฟฟ้าที่ปรากฏหรือแอปเพARENT เพาเวอร์ (Apparent power)

2. กำลังไฟฟ้าที่แท้จริงที่ทำให้เกิดกำลังงานหรือเกิดงานขึ้นภายในวงจร ซึ่งเรียกว่า กำลังไฟฟ้าจริงหรือทิวเพาเวอร์ (True power)

3. กำลังไฟฟ้าที่สูญเสียไปในวงจรในรูปของรีแอกทีฟ (Reactive) ซึ่งเป็นกำลังไฟฟ้าที่ไม่สามารถนำมาใช้ให้เกิดประโยชน์ได้ เรียกว่า กำลังไฟฟารีแอกทีฟ หรือรีแอกทีฟเพาเวอร์ (Reactive power)

### กำลังไฟฟ้าในวงจรรีซิสตีฟ(Resistive)

ในวงจรไฟฟ้ากระแสสลับประกอบด้วยรีซิสตีฟ (Resistive) หรือความต้านทานเพียงอย่างเดียวเท่านั้น จะเห็นได้ว่า กระแสกับแรงดันในวงจรจะอินเฟสกัน นั่นคือ ค่าชั่วขณะใดๆ ของแรงดันทุกๆ ค่าที่เกิดขึ้น ดังนั้น กำลังไฟฟ้าในวงจรของไฟสลับที่มีแต่ความต้านทานอย่างเดียว นั้น จึงมีค่าเท่ากับผลคูณของแรงดันประสิทธิผล ( $E_{rms}$  หรือ  $E$ ) กับกระแสประสิทธิผล ( $I_{rms}$  หรือ  $I$ ) ซึ่งเขียนความสัมพันธ์ได้ดังนี้คือ

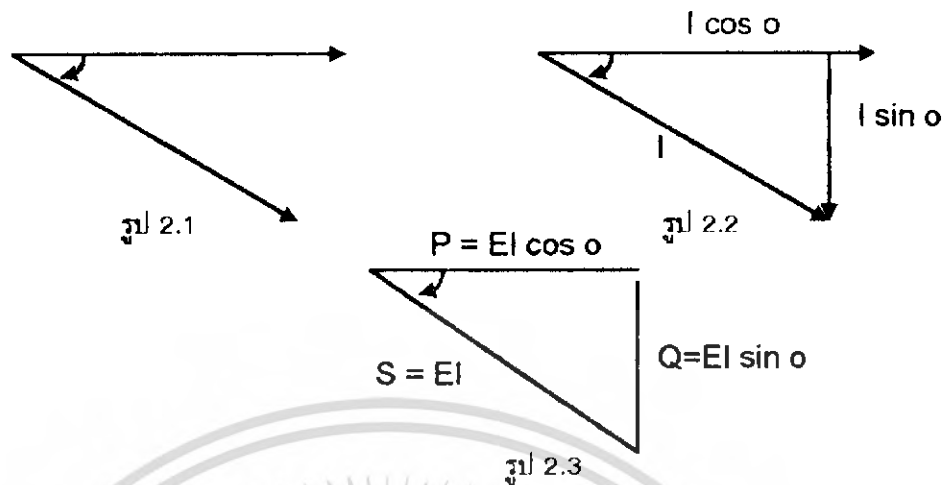
$$P = EI$$

### กำลังไฟฟ้าในวงจรรีแอกตีฟ(Inductive)

ในวงจรไฟสลับที่ประกอบด้วยโหลดที่เป็นอินдукตีฟโหลด (Inductive load) นั้น จะพิจารณาเห็นได้ว่า กระแสที่ไหลในวงจรจะล่าหลังแรงดันอยู่เป็นมุม  $\phi$  ใดๆ (มุม  $\phi$  จะวางก็องศาขึ้นอยู่กับค่า R และ L ภายในวงจรในขณะที่ความถี่คงที่ปกติจะไม่เกิน  $90^\circ$ ) ดังในรูปที่ 1.1 จะเห็นว่ากระแส  $I$  ที่ไหลในวงจรจะล่าหลังแรงดัน  $E$  ที่จ่ายให้แก่วงจรอยู่เป็นมุม  $\phi$  และในกรณีนี้ จะพิจารณาเห็นได้ว่ากำลังไฟฟ้าของวงจรที่เกิดขึ้นจะไม่เท่ากับผลคูณของแรงดัน  $E$  กับกระแส  $I$  ที่ไหลในวงจร แต่จะมีค่าเท่ากับผลคูณของแรงดัน  $E$  กับกระแส  $I$  ในส่วนที่เกิดขึ้นที่เกิเกิดขึ้นที่อินเฟสกับแรงดัน  $E$  นั่นเอง ดังในรูป 2.2 จะเห็นว่า กระแส  $I$  ที่ไหลในวงจรซึ่งล่าหลังแรงดัน  $E$  อยู่เป็นมุม  $\phi$  นั้น เราสามารถที่จะแตกให้อยู่ในรูปของกระแสอินเฟส (Inphase current) กับกระแสรีแอกตีฟ (Reactive current) ได้ ซึ่งจะได้ความสัมพันธ์ดังนี้คือ

$$\begin{aligned} \text{กระแสอินเฟส} &= I_{\text{inphase}} = I \cos \phi \\ \text{กระแสรีแอกตีฟ} &= I_{\text{reactive}} = I \sin \phi \end{aligned}$$

และจากเฟสเซอร์ไดอะแกรมของกระแสในรูป 2.2 เมื่อใช้แรงดัน  $E$  คูณกับส่วนประกอบของกระแสทั้งสาม ก็จะได้เป็นเพาเวอร์ไทรแองเกิ้ล (Power triangle) หรือส่วนประกอบของกำลังไฟฟ้าเป็นรูปสามเหลี่ยม ดังแสดงในรูป 2.3



แสดงรูปที่มาของเพาเวอร์ไทรแองเกิลเมื่อโหลดเป็นแบบอินดักทีฟ

จากเพาเวอร์ไทรแองเกิลในรูปที่ 2.3 จะเห็นว่ากำลังไฟฟ้าที่ปรากฏ (Apparent power) ซึ่งได้มาจากผลคูณของแรงดัน  $E$  กับกระแส  $I$  และใช้ตัว  $S$  เป็นสัญลักษณ์เขียนแทนนั้น จะประกอบด้วย กำลังไฟฟ้าสองส่วน คือกำลังไฟฟ้าที่แท้จริงที่ทำให้เกิดกำลังงานหรือกำลังไฟฟ้าจริง (True power) ซึ่งใช้ตัว  $P$  เป็นสัญลักษณ์เขียนแทน กับ กำลังไฟฟ้าที่สูญเสียไปในวงจรในรูปของรีแอกทีฟ หรือกำลังไฟฟารีแอกทีฟ (Reactive power) ซึ่งใช้ตัว  $Q$  เป็นสัญลักษณ์เขียนแทนโดยที่ กำลังไฟฟ้าที่ปรากฏวัดได้จากโวลต์มิเตอร์ และแอมมิเตอร์ ดังนั้นกำลังไฟฟ้าที่ปรากฏจึงมีหน่วยเป็นโวลต์แอมแปร์ (VA) ส่วน กำลังไฟฟ้าจริงซึ่งวัดได้จากวัตต์มิเตอร์จึงมีหน่วยเป็นวัตต์ (W) และ กำลังไฟฟารีแอกทีฟ ซึ่งเป็นกำลังสูญเสียไปในวงจรและไม่ได้ทำให้เกิดกำลังงาน วัดเป็นโวลต์แอมแปร์รีแอกทีฟหรือวาร (Volt-ampere reactive = VAR)

จากเพาเวอร์ไทรแองเกิลในรูปที่ 2.3 จะได้

$$\text{กำลังไฟฟ้าที่ปรากฏ} = S = \text{แรงดัน} \times \text{กระแส} = EI$$

$$\text{กำลังไฟฟ้าจริง} = P = \text{แรงดัน} \times \text{กระแสอินเฟส} = EI \cos \phi$$

$$\text{กำลังไฟฟารีแอกทีฟ} = Q = \text{แรงดัน} \times \text{กระแสรีแอกทีฟ} = EI \sin \phi$$

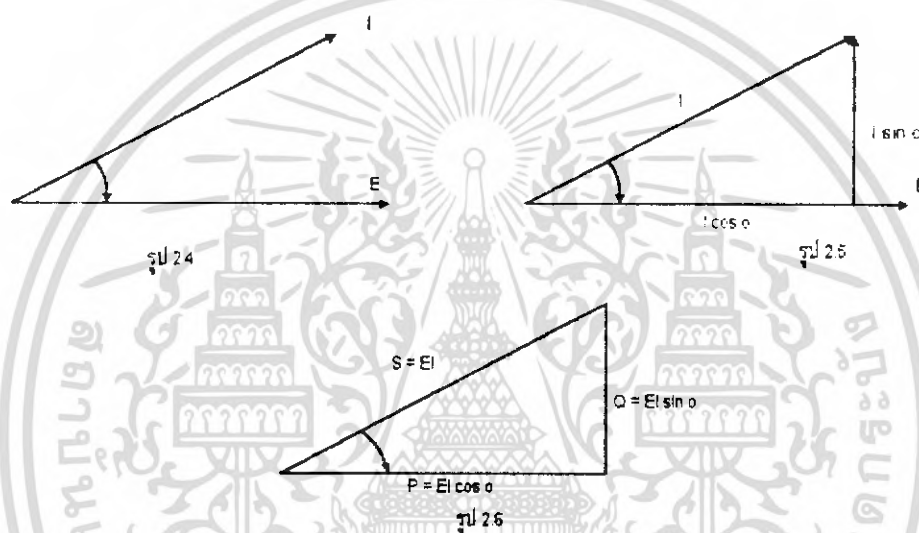
$$\cos \phi = \frac{\text{กำลังไฟฟ้าจริง}}{\text{กำลังไฟฟ้าที่ปรากฏ}} = \frac{P}{S}$$

$$\sin \phi = \frac{\text{กำลังไฟฟารีแอกทีฟ}}{\text{กำลังไฟฟ้าที่ปรากฏ}} = \frac{Q}{S}$$

$$\tan \phi = \frac{\text{กำลังไฟฟารีแอกทีฟ}}{\text{กำลังไฟฟ้าจริง}} = \frac{Q}{P}$$

เอกสารนี้เป็นเอกสารที่สงวนไว้สำหรับการใช้งานเพื่อการศึกษาเท่านั้น ไม่อนุญาตให้ไปใช้ประโยชน์ด้านการค้า ไม่ว่ากรณีใดๆ ทั้งสิ้น อีกทั้งห้ามมิให้ตัดแปลงเนื้อหา และต้องอ้างอิงถึงเจ้าของเอกสารทุกครั้งที่มีการนำไปใช้

ส่วนเพาเวอร์ที่ตัวเองเกิดของวงจรไฟฟ้าที่โหลดเป็นแบบคาปาซิทีฟโหลด (Capacitive load) นั้น ก็สามารถที่จะหาได้ในลักษณะทำนองเดียวกันกับลักษณะอินดักทีฟโหลด เพียงแต่แตกต่างกันที่ตำแหน่งของกระแสเท่านั้น กล่าวคือ ในวงจรที่โหลดเป็นแบบคาปาซิทีฟโหลดนั้น กระแสที่ไหลในวงจรจะนำหน้าแรงดันที่จ่ายให้แก่วงจรไปเป็นมุม  $\phi$  ใดๆ (มุม  $\phi$  จะกางก็องศาขึ้นอยู่กับค่า R และ  $X_c$  ในวงจร) ดังในรูป 2.4 จะเห็นได้ว่ากระแส  $I$  นำหน้าแรงดัน  $E$  ไปเป็นมุม  $\phi$  ส่วนในรูป 2.5 จะเห็นว่ากระแส  $I$  ที่ไหลในวงจรเราสามารถจะแตกเป็นกระแสอินเฟส ( $I \cos \phi$ ) กับกระแสรีแอกทีฟ ( $I \sin \phi$ ) นั่นคือ เมื่อใช้แรงดัน  $E$  คูณกับส่วนประกอบของกระแสทั้งสาม ในรูปที่ 2.5 ก็จะได้เป็นเพาเวอร์ที่ตัวเองเกิดดังในรูป 2.6



แสดงรูปที่มาของเพาเวอร์ที่ตัวเองเกิดเมื่อโหลดเป็นแบบคาปาซิทีฟ

เพาเวอร์แฟคเตอร์ (Power factor :PF)

เพาเวอร์แฟคเตอร์ หมายถึงอัตราส่วนของ กำลังไฟฟ้าจริงที่วัดได้จาก วัตต์มิเตอร์ต่อกำลังไฟฟ้าที่ปรากฏที่วัดได้จากโวลท์มิเตอร์และแอมมิเตอร์ ซึ่งสามารถเขียนเป็นสูตรได้ดังนี้คือ

$$PF = P/S$$

หรือ 
$$PF = \cos \phi$$

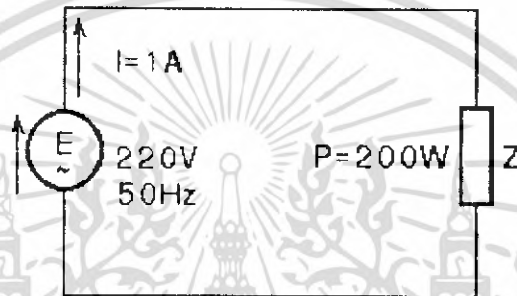
ปกติค่าของ เพาเวอร์แฟคเตอร์ จะเขียนบอกเป็นเลขจุดทศนิยม หรือเป็นเปอร์เซ็นต์ ดังตัวอย่าง เช่น  $PF = 0.85$  เราอาจจะเขียนว่า  $PF = 85\%$  ก็ได้ ในกรณีนี้หมายความว่า อุปกรณ์ไฟฟ้าในวงจรได้ใช้กำลังไฟฟ้าในการทำให้เกิดกำลังงานหรือเกิดงานเพียง 85% แรง

เอกสารนี้เป็นเอกสารที่สงวนไว้สำหรับการใช้งานเพื่อการศึกษาเท่านั้น ไม่อนุญาตให้นำไปใช้ประโยชน์ด้านการค้า ไม่ว่ากรณีใดๆ ทั้งสิ้น อีกทั้งห้ามมิให้ตัดแปลงเนื้อหา และต้องอ้างอิงถึงเจ้าของเอกสารทุกครั้งที่มีการนำไปใช้

คั้น - กระแส (Volt-ampere) ที่จ่ายให้แก่วงจร ส่วนกำลังไฟฟ้าที่เหลืออีก 15% นั้น จะสูญเสียไปในวงจรในรูปของ รีแอกทีฟ (ซึ่งเรียกว่ากำลังไฟฟารีแอกทีฟ)

นั่นคือ ถ้าหากว่าวงจรไฟฟ้ามีค่า PF ต่ำๆ ก็จะทำให้ประสิทธิภาพในการทำงานของวงจรต่ำด้วย เพราะงานหรือกำลังงานที่ได้จากวงจรมีค่าต่ำ ในขณะที่ต้องป้อนแรงดันกับกระแสที่มีค่าสูงให้แก่วงจร

ตัวอย่าง วงจรในรูป 2.7 มีกระแสไหลในวงจรเท่ากับ 1 A และมีกำลังงานไฟฟ้าเกิดขึ้นที่อิมพีแดนซ์เท่ากับ 200 W หา PF

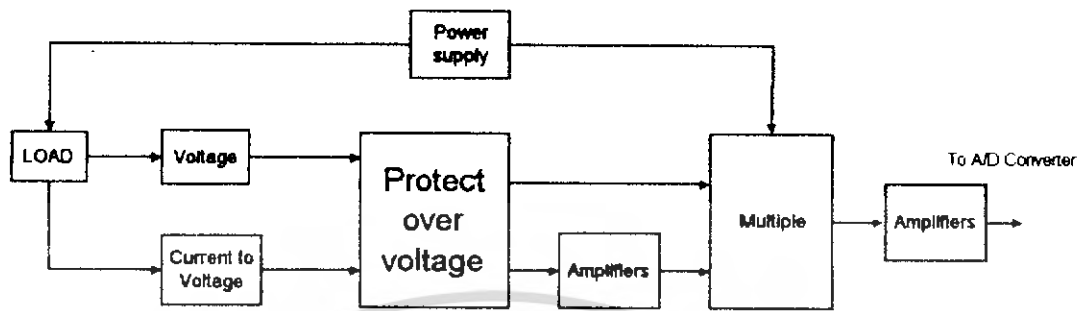


รูปที่ 2.7 แสดงตัวอย่างวงจรคำนวณกำลังไฟฟ้า

วิธีทำ  $PF = P/S = P/IE = 200W/(1A \times 220V) = 0.9 = 90\%$

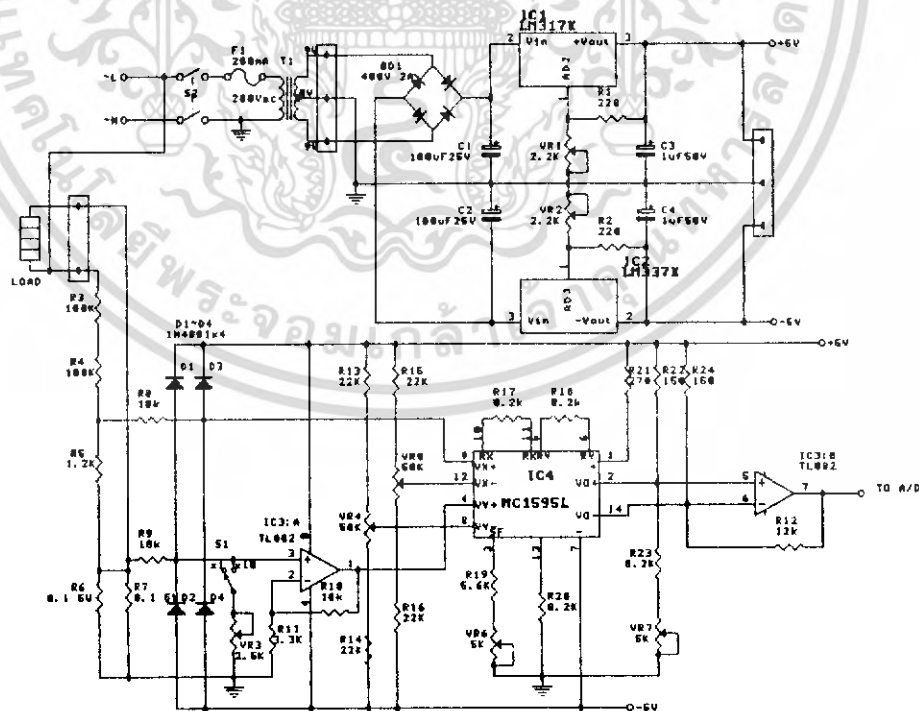
เอกสารนี้เป็นเอกสารที่สงวนไว้สำหรับการใช้งานเพื่อการศึกษาเท่านั้น ไม่อนุญาตให้นำไปใช้ประโยชน์ด้านการค้าไม่ว่ากรณีใดๆ ทั้งสิ้น อีกทั้งห้ามมิให้ดัดแปลงเนื้อหา และต้องอ้างอิงถึงเจ้าของเอกสารทุกครั้งที่มีการนำไปใช้

## 2.2 หลักการทำงานของวงจรวัดวัตต์มิเตอร์ (Wattmeter)



รูปที่ 2.8 แสดงบล็อกโคะแกรมของวงจรวัดวัตต์มิเตอร์

วงจรวัดวัตต์มิเตอร์นี้ใช้ไอซีเบอร์ MC1595L เป็นไอซีที่ใช้หลักการเอาแรงดันไฟฟ้าสองค่าและค่าคงที่ค่าหนึ่งมาคูณกัน โดยจะนำแรงดันตกคร่อมโหลดกับกระแสที่ไหลผ่านโหลดซึ่งถูกเปลี่ยนมาเป็นแรงดัน คูณกับค่าคงที่ ผลจากการคูณค่าทั้งสามเข้าด้วยกันจะได้แรงดันไฟฟ้าค่าหนึ่ง แรงดันนี้จะเอามาเป็นแรงดันอินพุทของวงจรรอนาลอกทูดิจิตอลคอนเวอร์เตอร์ (A/D Converter)



เอกสารนี้เป็นเอกสารที่สงวนไว้สำหรับการใช้ **รูปที่ 2.9 แสดงวงจรวัดวัตต์มิเตอร์** ให้นำไปใช้ประโยชน์ด้านการค้าไม่ว่ากรณีใดๆ ทั้งสิ้น อีกทั้งห้ามมิให้ตัดแปลงเนื้อหา และต้องอ้างอิงถึงเจ้าของเอกสารทุกครั้งที่มีการนำไปใช้

จากรูปที่ 2.9 โหลดจะถูกต่ออยู่ที่ตัวคอนเนกเตอร์  $K_2$  ซึ่งเป็นอุปกรณ์ที่เราต้องการทราบค่าวัตต์ เช่น มอเตอร์, พัดลม หรืออุปกรณ์ไฟฟ้าอื่นๆ แรงดันไฟฟ้าที่ป้อนให้แก่โหลดจะมาจากแหล่งจ่ายไฟ 220V โดยตรง ดังนั้นที่จุด  $K_2$  จะมีแรงดัน 220V และมีกระแสไหลผ่านเข้าวงจรในส่วนการแบ่งแรงดันและกระแส จากวงจรจะมี  $R_3, R_4, R_5$  เป็นตัวจำกัดกระแสเข้าวงจรและเป็นตัวแบ่งแรงดันด้วย โดยที่  $R_3, R_4$  ขนาด 100 k $\Omega$  ต่อกันอยู่ เพื่อป้องกันไม่ให้เกิดการลัดวงจรและป้องกันวงจรไม่ให้เกิดความเสียหาย  $R_6, R_7$  ถูกต่อขนานกันและทำให้มีความต้านทานรวม 0.05  $\Omega$  และทนกำลังไฟฟ้าได้ 10 W ซึ่งเป็นตัวรับกระแสที่ไหลผ่านโหลดแล้วเปลี่ยนเป็นแรงดันไฟฟ้า แรงดันตกคร่อมความต้านทาน  $R_6, R_7$  จะถูกทำการขยายประมาณ 6 เท่า โดยออปแอมป์(จากวงจร IC 3/1) จากเอาต์พุตของ IC 3/1 จะถูกต่อกับขา 4 ของ IC 4 (MC1595) ซึ่งเป็นแรงดันด้าน  $+V_y$  ส่วนแรงดันอีกค่าหนึ่งจะได้จากชุดแบ่งแรงดันโดยมีตัวต้านทาน  $R_8$  ต่ออยู่ เพื่อป้อนแรงดันเข้าขา 9 ของ IC 4 (MC1595) ซึ่งเป็นแรงดันด้าน  $+V_x$  ในวงจรตัวดีเทอร์มิเตอร์ตัวนี้ จะสามารถวัดได้ 2 ย่านคือ ย่าน  $\times 1$  และ  $\times 10$  โดยที่มีสวิตช์  $S_1$  เป็นตัวเลือกย่านวัด ไดโอด  $D_1, D_2, D_3$  และ  $D_4$  ต่อเป็นวงจร คริปเปอร์(Clipper) เพื่อป้องกันอินพุตของออปแอมป์ IC 3/1 และ IC 4 การทำงานของวงจรคริปเปอร์ จะเป็นดังนี้คือ ถ้าแรงดันที่เข้ามาผ่านตัวต้านทาน  $R_8$  สูงกว่าแหล่งจ่ายอยู่ 0.7V หรือเป็น +8.2V ก็จะทำให้ไดโอด  $D_1, D_3$  ทำงาน และถ้าแรงดันที่เข้ามาน้อยกว่าแหล่งจ่ายทางด้านลบอยู่ 0.7V หรือ -8.2V ก็จะทำให้ไดโอด  $D_2, D_4$  ทำงาน

ส่วนภาคจ่ายไฟใช้ไอซีเรกกูเลเตอร์ (IC regulator) เบอร์ LM317 และ LM337 ซึ่งจะเป็นเรกกูเลเตอร์ ทางด้านแรงดันบวกและแรงดันลบ โดยที่สามารถปรับได้เป็น  $\pm 7.5V$  แต่ในวงจรใช้  $\pm 5V$  เท่านั้น โดยปรับที่  $V_{R1}$  และ  $V_{R2}$  ตามลำดับ และจำเป็นต้องปรับให้เท่ากันเสมอ ในการปรับแรงดันออฟเซต(Offset) จะทำการปรับที่  $V_{R4}$  และ  $V_{R5}$  โดยปรับแรงดันออฟเซตที่อินพุตขา 8 และขา 9 ของ IC 4 เมื่อได้แรงดันทั้งสองค่า คือที่ขา 4 เป็น  $+V_y$  และขา 9 เป็น  $+V_x$  แล้ว IC 4 (MC1595) จะเป็น IC  $\times$  แรงดัน 2 ค่านี้กับค่าคงที่ K เอาต์พุตที่ได้จาก IC 4 จะเป็นขา 2 หรือ  $+V_o$  และขา 14 เป็น  $-V_o$  และจากเอาต์พุตของ IC 4 จะถูกทำการขยายอีกครั้งโดย IC 3/2 และส่งเข้าไปสู่ภาคแปลงสัญญาณอนาล็อกเป็นสัญญาณดิจิทัล ต่อไป

\* IC = Integrate Circuit (วงจรรวม)

D = Diode

R = Resistor

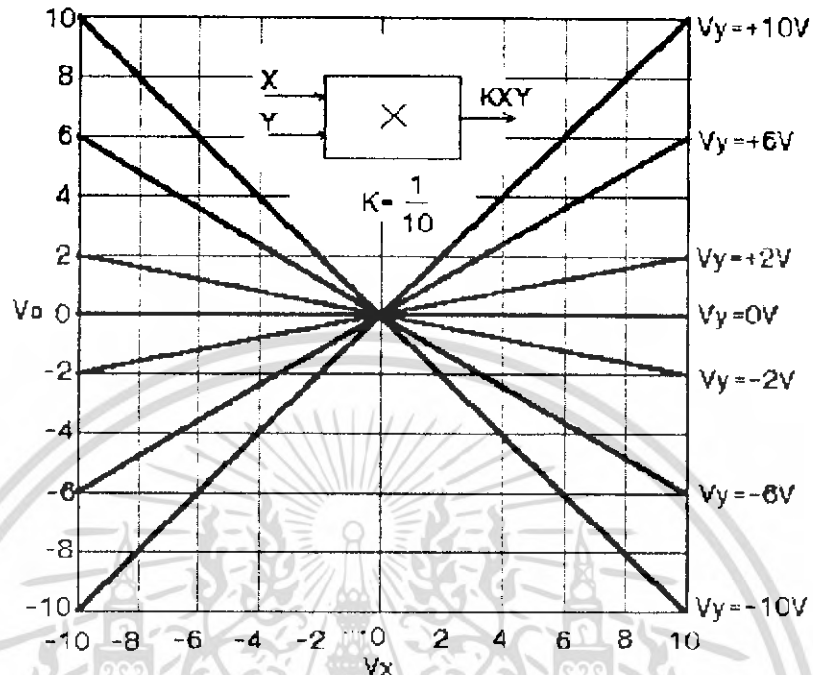
V = Voltage

$\Omega$  = Ohm

W = Watt

เอกสารนี้เป็นเอกสารที่สงวนไว้สำหรับการใช้งานเพื่อการศึกษาเท่านั้น ไม่อนุญาตให้นำไปใช้ประโยชน์ด้านการค้า ไม่ว่ากรณีใดๆ ทั้งสิ้น อีกทั้งห้ามมิให้ตัดแปลงเนื้อหา และต้องอ้างอิงถึงเจ้าของเอกสารทุกครั้งที่มีการนำไปใช้

คุณสมบัติของ MC1595L



รูปที่ 9.10 แสดงกราฟคุณสมบัติของไอซี MC1595L

จากกราฟ ให้ K เป็นค่าคงที่ โดยที่

$$K = \frac{2R_o}{R_x R_y I_3}$$

และโดยที่  $R_o$  คือ  $R_{22}, R_{24}$  ในวงจร

$R_x$  คือ  $R_{17}$

$R_y$  คือ  $R_{18}$

$I_3$  คือ กระแสไฟฟ้าที่ไหลจากขา 3 ของไอซี 4 ลงกราวด์สามารถปรับค่าได้

จากส่วนของ  $V_{R6}$

โดยที่ K จะตั้งไว้ให้มีค่าเป็น 1/10

ค่าของเอาต์พุตจะหาได้จากสมการ

$$V_o = K V_x V_y$$

สมมติให้แรงดัน  $V_x$  เป็น +2V และแรงดัน  $V_y$  เป็น +10V จะได้ค่าเอาต์พุตเป็น +2V และถ้า  $V_x$  เป็น -2V และ  $V_y$  เป็น +10V เช่นเดิมจะได้ค่าเอาต์พุตเป็น -2V ซึ่งค่าเอาต์พุตจะเป็นได้ทั้งค่าบวกและค่าลบ ซึ่งทำงานได้ทั้ง 4 ควอดแรนท์ (Linear four-quadrant

multiplier) เอกสารนี้สงวนไว้สำหรับการใช้งานเพื่อการศึกษาเท่านั้น ไม่อนุญาตให้นำไปใช้ประโยชน์ด้านการค้า ไม่ว่ากรณีใดๆ ทั้งสิ้น อีกทั้งห้ามมิให้ดัดแปลงเนื้อหา และต้องอ้างอิงถึงเจ้าของเอกสารทุกครั้งที่มีการนำไปใช้

## บทที่ 3

### ไมโครโปรเซสเซอร์ (MICROPROCESSER)

#### 3.1 คอนโทรลบอร์ด (CP-JR180)

บอร์ดเคียวมีครบในการใช้งานที่สำคัญๆ เช่น มี ช่องเชื่อมต่อสายสัญญาณ LCD (LCD port), ช่องเชื่อมต่อสายสัญญาณแป้นป้อนข้อมูล (Keyboard port), ปุ่มรีเซ็ต (Power ON reset), ช่องเชื่อมต่อสายสัญญาณ แบบอนุกรม 2 ช่อง (Serial port) ใช้ในงาน, พร้อมสัญญาณนาฬิกา (Real time clock) และใช้ไมโครโปรเซสเซอร์ เบอร์ Z80180 (CPU Z80180) ทำงานที่ความถี่ 6.144MHz ซึ่งเป็น ไมโครโปรเซสเซอร์ หลักประจำบอร์ด

คุณสมบัติโดยทั่วไปของ CP-JR180

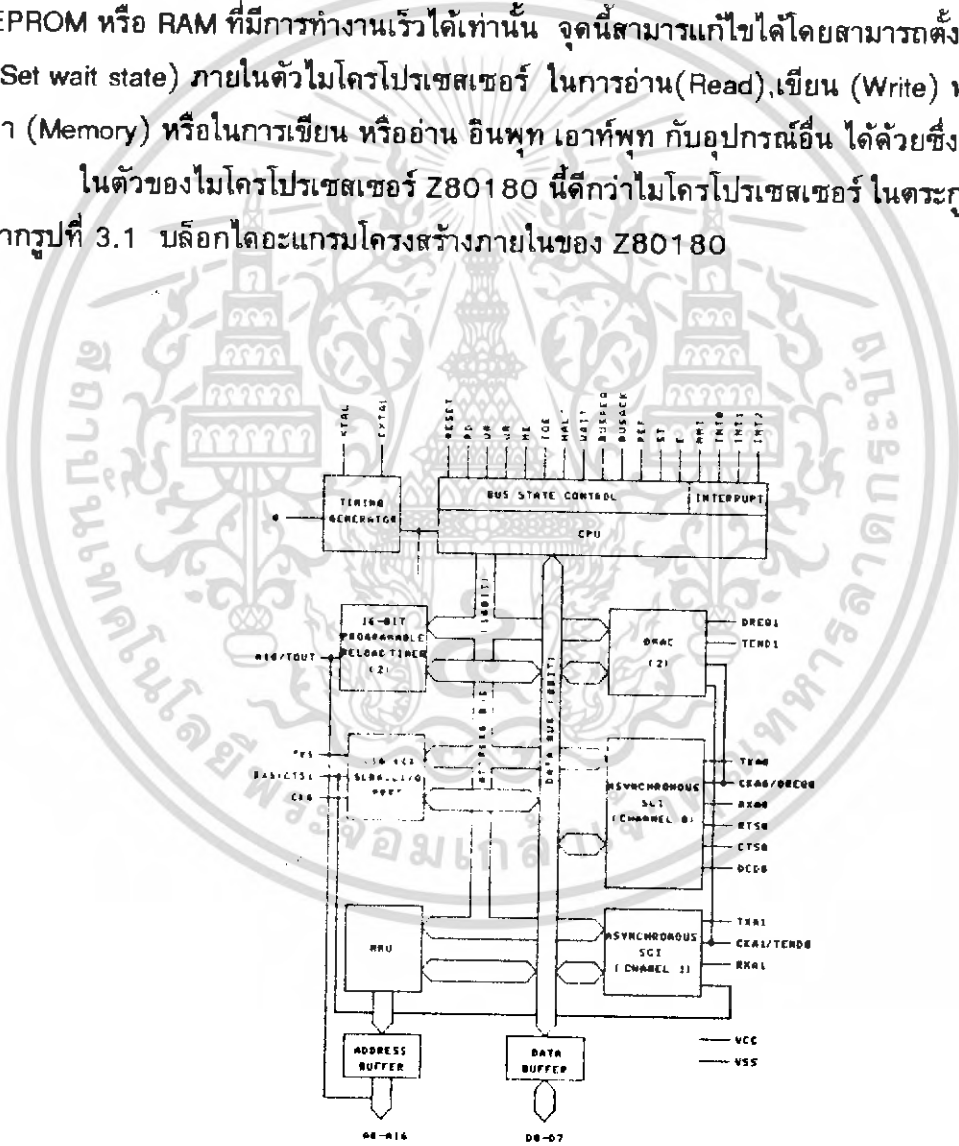
1. ใช้ไมโครโปรเซสเซอร์ เบอร์ Z80180 แบบ 68 ขา ทำงานที่ความถี่ 6.144 MHz เป็นไมโครโปรเซสเซอร์ ประจำบอร์ด
2. อ้างอิงหน่วยความจำแรม (RAM) และรอม (ROM) ได้ถึง 128 kbyte
3. มีช่องเชื่อมต่อสัญญาณวงจรรวมเบอร์ 8255 (PORT 82C55) ให้ใช้งาน 1 ตัว โดยเป็นแบบ CMOS และอยู่ในรูปตัวถังขนาดเล็กทำให้สามารถลดขนาดของแผ่นวงจร ได้มาก
4. มีช่องเชื่อมต่อสัญญาณ ต่อเข้ากับ ส่วนแสดงผลจอภาพแบบ LCD ได้ทั้ง LCD แบบตัวอักษร หรือแบบกราฟิก (Graphic)
5. มีวงจรส่วนของสัญญาณนาฬิกา (Real time clock) เป็นฐานเวลาจริงให้เข้ากับระบบ โดยใช่วงจรรวมเบอร์ 6242
6. ใช่วงจรรวม เฉพาะงาน DS1232 โดยเป็นวงจรเพาเวอร์รีเซ็ต (Power reset) และเป็นวงจรวอชด์็อก (Watch-dog) เพิ่มความมั่นใจในการใช้งานมากขึ้น
7. ใช้กับแรงดัน 7-9 V โดยมี วงจรรวมเรกูเลเตอร์ (IC regulator 7805) ในตัว มีคอนเน็กเตอร์ (Connector) มาตรฐานสามารถต่อเข้ากับบอร์ดต่างๆ ในท้องตลาดได้เป็นอย่างดี
8. มี ช่องเชื่อมต่อสายสัญญาณ แบบอนุกรม 2 ช่อง (Serial port) ต่อใช้งาน

เอกสารนี้เป็นเอกสารที่สงวนไว้สำหรับการใช้งานเพื่อการศึกษาเท่านั้น ไม่อนุญาตให้นำไปใช้ประโยชน์ด้านการค้า ไม่ว่ากรณีใดๆ ทั้งสิ้น อีกทั้งห้ามมิให้ตัดแปลงเนื้อหา และต้องอ้างอิงถึงเจ้าของเอกสารทุกครั้งที่มีการนำไปใช้

**ข้อมูลของบอร์ด CP-JR180**

ไมโครโปรเซสเซอร์ (CPU) ใช้ เบอร์ Z80180 ของบริษัทไซล็อก (Zilog) โดยเป็น Super set ของไมโครโปรเซสเซอร์ Z80 ใช้คำสั่งของ Z80 ได้ทั้งหมดและยังเพิ่มขึ้นอีก 12 ชุด คำสั่งใช้งานเช่น คำสั่งคูณ (MLT), คำสั่งทดสอบบิตในรีจิสเตอร์(TST g) เป็นต้น ในบอร์ดนี้ เราเลือกใช้ Z80180 ความเร็วขนาด 6 MHz แต่ก็สามารถใช้กับความถี่ 6.144 MHz ได้ด้วย ทำให้การทำงาน 1 คำสั่งใช้เวลาเพียง 0.48 usec เท่านั้น ปัญหาที่ตามมาก็คือจำเป็นต้องใช้ EPROM หรือ RAM ที่มีการทำงานเร็วได้เท่านั้น จุดนี้สามารถแก้ไขได้โดยสามารถตั้งเวลารอ (Set wait state) ภายในตัวไมโครโปรเซสเซอร์ ในการอ่าน(Read),เขียน (Write) หน่วยความจำ (Memory) หรือในการเขียน หรืออ่าน อินพุต เอาท์พุต กับอุปกรณ์อื่น ได้ด้วยซึ่งเป็นข้อดี

ในตัวของไมโครโปรเซสเซอร์ Z80180 นี้ดีกว่าไมโครโปรเซสเซอร์ ในตระกูลอื่นๆ จากรูปที่ 3.1 บล็อกไดอะแกรมโครงสร้างภายในของ Z80180



เอกสารนี้เป็นเอกสารที่รูปที่ 3.1 แสดงบล็อกไดอะแกรมโครงสร้างภายในของ Z-80180 โดยขึ้นด้านการค้า ไม่ว่าจะกรณีใดๆ ทั้งสิ้น อีกทั้งห้ามมิให้ดัดแปลงเนื้อหา และต้องอ้างอิงถึงเจ้าของเอกสารทุกครั้งที่มีการนำไปใช้

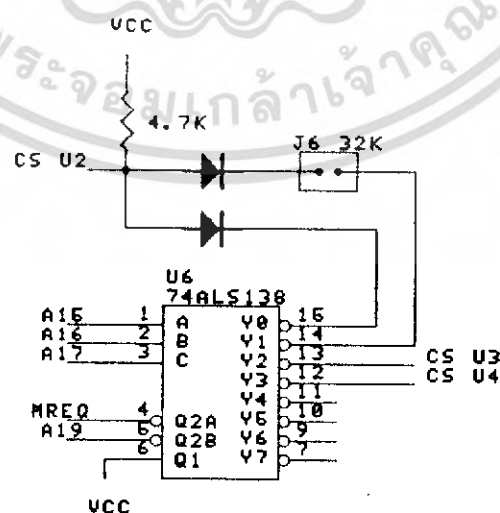
### ส่วนของหน่วยความจำ (Memory)

CP-JR180 สามารถต่อใส่หน่วยความจำได้สูงสุด 128 kbyte โดยใช้วงจรรวมดีโคท (Decode) แบ่งหน่วยความจำเป็นช่วงๆ ได้ 8 ช่วง ช่วงละ 32 kbyte และใช้สัญญาณควบคุมการติดต่อกับหน่วยความจำ เพื่อให้เกิดสัญญาณการติดต่อกับหน่วยความจำเท่านั้น

**SOCKET U2** สามารถใส่ EPROM ขนาด 64K kbyte(27512) หรือ kbyte (27256) ได้โดยใช้ จัมป์เปอร์ J1 เป็นตัวเลือกเบอร์ อีพพรอม และเราใช้ไดโอดเบอร์ 1N4148 2 ตัวต่อในลักษณะ แอนแกท ให้ดีโคทได้ 2 ช่วง U2 นี้เป็นหน่วยความจำ เริ่มจาก 0000H ถึง FFFFH

**SOCKET U3** สามารถใส่ RAM ขนาด 32kbyte (62256) หรือ kbyte (6264) ได้ โดยใช้สวิตช์เลือก J4 เป็นตัวเลือกเบอร์ RAM ในวงจรส่วนนี้เราสามารถใส่ แบตเตอรี่ขนาด 3 โวลต์ เพื่อสำรองข้อมูลในแรม ได้ด้วย โดยใช้หม้อสเฟท เบอร์ BS170 เป็นส่วนกันสัญญาณรบกวนจากการปิดเปิดระบบไฟ ไม่ให้เกิดเข้ามารบกวน ขา CS ของ RAM เพื่อผลการสำรองที่ดี U3 นี้หน่วยความจำเริ่มจาก 10000H ถึง 17FFFFH

**SOCKET U4** สามารถใส่แรม หรือ รอม ได้โดยใช้สวิตช์เลือกเป็นตัวเลือกเบอร์ไอซีที่เราจะใส่และใช้สวิตช์เลือก J3 เป็นตัวประกอบในการนี้จะใช้ แรม และก็ต้องการสำรอง ข้อมูลด้วย U4 นี้หน่วยความจำเริ่มจาก 18000H ถึง 1FFFFFH



เอกสารนี้เป็นเอกสารที่สงวนไว้สำหรับรูปที่ 3.2 แสดงวงจรควบคุมหน่วยความจำนำไปใช้ประโยชน์ด้านการค้าไม่ว่ากรณีใดๆ ทั้งสิ้น อีกทั้งห้ามมิให้ดัดแปลงเนื้อหา และต้องอ้างอิงถึงเจ้าของเอกสารทุกครั้งที่มีการนำไปใช้

32K 27256 U2	00000H 07FFFFH 08000H
64K 27512	0FFFFH
8K 6264 32K 62256 U3	10000H 17FFFFH
RAM 8K 6264 32K 62256 U4	18000H
ROM 8K 2764 16K 27128 32K 27256	1FFFFH

### ส่วนของพอร์ท (PORT)

ใช้ วงจรรวมดีโคท U7 74LS138 เป็นตัวดีโคท แบ่งช่วงแอดเดรส (Address port) โดยใช้สัญญาณควบคุม IORQ และ M1 มาควบคุมเพื่อให้เกิดสัญญาณ CS ขึ้นเฉพาะในการติดต่อกับส่วน I/O เท่านั้น

8255 PORT เราใช้วงจรรวม 8255 ใช้งานประจำบอร์ดโดยเป็นช่องต่อสัญญาณ ขนาด 8 Bit 3 ช่อง ใช้งานโดยมีตำแหน่ง แอดเดรส

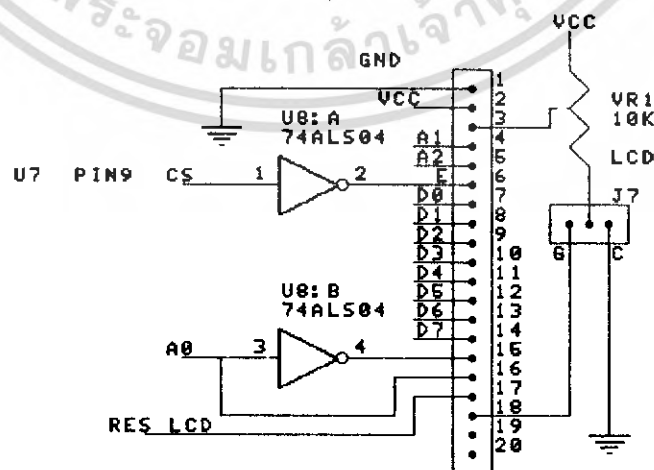
PORT A= 80 H
PORT B= 81 H
PORT C= 82 H
CONTROL PORT= 83 H

เอกสารนี้เป็นเอกสารที่สงวนไว้สำหรับการใช้งานเพื่อการศึกษาเท่านั้น ไม่อนุญาตให้นำไปใช้ประโยชน์ด้านการค้าไม่ว่ากรณีใดๆ ทั้งสิ้น อีกทั้งห้ามมิให้ดัดแปลงเนื้อหา และต้องอ้างอิงถึงเจ้าของเอกสารทุกครั้งที่มีการนำไปใช้

**RTC PORT** ใช้วงจรรวมสัญญาณนาฬิกา (Real time clock/calender) ชนิด CMOS เบอร์ 6264 โดยต่อขาแอดเดรสบัส (Address bus) และ คาตาบัส (Data bus) ขนาด 4 บิตเข้าโดยตรงกับ ไมโครโปรเซสเซอร์รีลไทม์คล็อก (CPU Real time clock)ตัวนี้ จะสามารถบอกได้ทั้ง วันเดือนปี วันในรอบสัปดาห์ ชั่วโมง นาที วินาที และปีในส่วนของปีอธิกสุรทินได้ด้วย มีตำแหน่ง แอดเดรสจาก AOH ถึง BFH

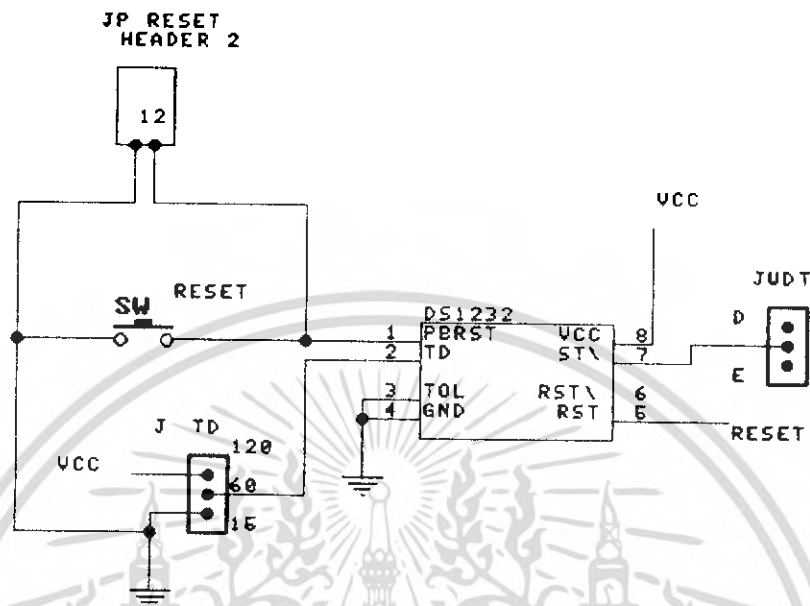
**LCD PORT** สามารถ ต่อเข้ากับโมดูล LCD ได้ทั้งแบบตัวอักษรและกราฟฟิกโดยตรงไม่ต้องต่อผ่านพอร์ตอีก โดยออกแบบให้ต่อเข้ากับ บัสของ Z80180 ได้โดยตรง เราใส่สัญญาณตีโตะจากU7 (Y6) ผ่านอินเวอร์เตอร์ U8B เพื่อกลับสถานะของสัญญาณ สร้างเป็นสัญญาณ E clock ของ LCD ใช้ A1 และ A2 เป็น สัญญาณ RS และ R/W และใช้ U8C เป็นตัวกำหนดเพจ (Page) การทำงานของ LCD ในแบบกราฟฟิกจากสัญญาณ แอดเดรส AO

LCD ADDRESS PORT CHANNEL PORT	ADDRESS PORT
WRITE DATA INSTRUCTION	COH
WRITE DATA TO CG OR DD RAM	C2H
READ BUSY FLAG AND ADDRESS	C4H



เอกสารนี้เป็นเอกสารที่สงวนไว้สำหรับรูปที่ 3.3 แสดงวงจรการต่อ พอร์ต LCD ให้นำไปใช้ประโยชน์ด้านการค้า ไม่ว่าจะกรณีใดๆ ทั้งสิ้น อีกทั้งห้ามมิให้ดัดแปลงเนื้อหา และต้องอ้างอิงถึงเจ้าของเอกสารทุกครั้งที่มีการนำไปใช้

### วงจรเพาเวอร์รีเซ็ต(Power on Reset) และสวิตช์ด็อก (Watch DOG)



รูปที่ 3.4 แสดงวงจร เพาเวอร์รีเซ็ตและวอตช์ด็อก

ใช้ วงจรรวม เบอร์ DS1232 เป็นวงจรเพาเวอร์รีเซ็ตและสวิตช์ด็อก โดยในส่วนของเพาเวอร์รีเซ็ตนั้นจะทำการรีเซ็ตไมโครโปรเซสเซอร์ เมื่อโวลต์มากกว่าหรือต่ำกว่า 4.75 V และจะหน่วงเวลาในกรณีเพาเวอร์รีเซ็ตประมาณ 250 msec. ถึง 1 sec. และในส่วนของสวิตช์ด็อกนั้น สามารถเลือกระยะเวลาในการทริกได้ ด้วยจัมเปอร์ TD โดยเลือกเวลาในการทริกสวิตช์ด็อก

นอกจากนี้ยังสามารถเซ็ทให้ วงจรสวิตช์ด็อก ทำงานหรือไม่ทำงานได้ด้วยการเซ็ทจัมป์เปอร์ WDT และถ้าเซ็ทสวิตช์ด็อก ทำงานแล้วจะต้อง ทริกพอร์ท EOH โดยจะใช้ค่า IN หรือ OUT พอร์ทก็ได้ตามระยะเวลาที่เลือกเพื่อไม่ให้ วงจรสวิตช์ด็อก นั้นทำการรีเซ็ตไมโครโปรเซสเซอร์

#### การนำไปใช้งาน

สามารถนำไปประยุกต์ใช้งานได้มากมาย เพราะมีพอร์ทใช้งานถึง 24 Bit ต่อร่วมกับโมดูล LCD ได้มีนาฬิกาในตัวต่อกับซีรียพอร์ท ก็ได้เช่น ควบคุมระบบเปิด/ปิด เครื่องใช้ไฟฟ้าตามเวลาที่ตั้งประยุกต์เพิ่มส่วนคีย์บอร์ด ทำเป็นเครื่องคีย์ข้อมูลเข้าเครื่องคอมพิวเตอร์ (Computer) ได้ เป็นต้น และนอกจากนี้บอร์ด JR180 นี้ยังมีอุปกรณ์ช่วยพัฒนาระบบโดยอาจจะใช้ ชุดดีบั๊กเกอร์ (Debugger JR-180) ในการเขียนโปรแกรมแอสเซมบลี (Assembly) ผ่านทางเครื่องคอมพิวเตอร์หรือจะใช้ชุดเบสิก (Basic 180) เขียนโปรแกรมภาษาเบสิกด้วยก็ได้

เอกสารนี้เป็นเอกสารที่สงวนไว้สำหรับการใช้งานเพื่อการศึกษาเท่านั้น ไม่อนุญาตให้นำไปใช้ประโยชน์ด้านการค้าไม่ว่ากรณีใดๆ ทั้งสิ้น อีกทั้งห้ามมิให้ดัดแปลงเนื้อหา และต้องอ้างอิงถึงเจ้าของเอกสารทุกครั้งที่มีการนำไปใช้

### 3.2 โปรแกรมดีบั๊กเกอร์ (Debugger)

โปรแกรมดีบั๊กเกอร์ (Debugger JR180) ซึ่งการทำงานจะคล้าย Software simulator บนคอมพิวเตอร์ แต่จะดีกว่าตรงการแสดงผลที่จอ สำหรับลักษณะการใช้งานจะง่าย และเห็นจริง เพราะการทำงานทั้งหมดจะเป็น Real time คือสิ่งที่เกิดขึ้นจะเกิดกับระบบจริง

ข้อกำหนดต่าง ๆ ในการใช้งาน

1. การป้อนคำสั่งจะผ่านทาง คีย์บอร์ดของเครื่องคอมพิวเตอร์ โดยแต่ละคำสั่งจะต้องป้อนให้ถูกต้องตามรูปแบบที่กำหนด และคำสั่งเหล่านั้นจะถูกกระทำเมื่อกด <ENTER>
2. ผู้ใช้สามารถใช้อักษรตัวเล็ก หรือตัวใหญ่ได้ตามต้องการ
3. จำนวนตัวเลขต่าง ๆ ที่ป้อนเข้าไปจะถือเป็นเลขฐาน 16 (HEX) โดยไม่จำเป็นต้องใส่ H ต่อท้าย และถ้าตัวเลขเป็นอักษร A-F นำหน้าก็ไม่จำเป็นต้องใส่ 0 นำหน้าก่อน

\* ยกเว้นใน MODE ของ MINI ASSEMBLE \* และบาง FUNCTION อาจให้ใช้เลขฐาน 10 ในหัวข้อของ FUNTION นั้น จะบอกไว้ถ้า KEY ผิดจะมีข้อความแสดงให้ทราบ

4. ในกรณีป้อนคำสั่งไม่ถูกรูปแบบเครื่องจะแสดงคำว่า "SYNTAX ERROR"
5. ฟังก์ชันที่มีการตั้ง Length address ถ้าตั้ง เริ่มต้นมากกว่าสุดท้าย เครื่องจะแสดงข้อความให้ทราบ
6. การออกจากสถานะต่าง ๆ ใช้ คีย์ <ESC> จะทำให้กลับสู่เครื่องหมาย Prompt ตามเดิม
7. การกระทำกับข้อมูลที่ต้องเป็นแรม หากมีการกระทำในพื้นที่ที่เป็นรอม หรือแรมที่ถูกป้องกันไว้ ฟังก์ชันที่ใช้จะไม่ได้ถูกกระทำและจะมีข้อความบอก
8. เมื่อมีการทำคำสั่งที่ไม่มีในชุดคำสั่งของ Z80180 จะเกิด Trap interrupt ขึ้น และจะแสดงค่าตำแหน่งที่ผิดนั้นบน Display
9. แรมบนบอร์ดที่ได้ไปกับเครื่องจะเป็น 8 Kbyte แต่การอ้างแรม บนดีบั๊กเกอร์ จะเป็นของขนาด 32 Kbyte คือ ตั้งแต่ 10000H - 16FFFH และ 170000H - 17FFFH จะเป็นที่ เก็บพารามิเตอร์รวมของทุก ๆ PAGE รวมทั้งเป็นส่วนของ Stack ทั้ง User และ System ด้วยดังนั้น จะเกิดการทับซ้อนกันขึ้น โดยที่ 4 Kbyte หลังของ RAM 8 K BYTE คือตำแหน่ง ADDRESS 11000H-11FFFH จะเป็นเช่นเดียวกับตำแหน่ง 17000H-17FFFH นั้นเอง (คือที่เก็บ PARAMETER และ STACK) ดังนั้น เมื่อใช้ RAM 8K ต้องระวัง

5. เมื่อเริ่มจ่ายไฟให้ Board software ใน Debug จะทำ Auto baud rate ซึ่งมี Baud center ที่ 9600 Baud ถ้านบน PC ตั้ง Baud rate ที่ Center ก็ ข้อความ Z180 ขึ้น จากนั้นก็จะรอกการกด Key “ENTER” เพียงอย่างเดียว ถ้า Key อื่น เครื่องจะไม่สามารถเข้าสู่ Debug ได้ ต้อง Reset board Z80180 ใหม่ แล้วทำขบวนการเดิมถูกต้องจะมีข้อความตอนนี้ก็จะใช้คำสั่งต่างๆ ที่มีใน Debug ได้แล้ว แต่ถ้าการตั้ง Baud rate บน PC ไม่ได้อยู่ที่ Center เมื่อเริ่มจ่ายไฟหรือกด Reset จะไม่มีค่า Z180 ขึ้นมาแสดง ซึ่งอาจจะเป็นอักษรที่ไม่สามารถสื่อความหมาย Prompt อย่างเดียวกับที่ 9600 Baud ซึ่ง Baud rate ที่เลือกบน PC ได้ตั้งแต่ 300, 1200, 2400, 4800, 9600, 19200, 38400 Baud rate

### ก่อนเข้าสู่ FUNCTION KEY

1. เมื่อจะดูรูปแบบของ Function key ต่างๆ ก็โดยการกด Key “?” แล้วกด ENTER ก็จะมีขึ้น Help menu ซึ่งแบ่งออกเป็น 3 Page โดยแต่ละ Page จะรอกการกด Key ใดๆ ก็ได้ก็จะแสดง PAGE ต่อไป

2. เนื่องจาก Z80180 อ่าง Memory ได้ 1 MBYTE แต่คำสั่งต่างๆ ที่มีให้ไม่สามารถอ่างเกิน 64 KBYTE จึงใช้เทคนิคในการแบ่งเป็น Page ๗ ละ 64K โดย Softwear ของ Debug จะ Program แบ่งเป็น Rom 0-7FFFH และ RAM 10000H-16FFFH ซึ่งเป็นของ User ในการใช้งาน และส่วน 17000-1FFFF จะใช้เป็นที่เก็บ Parameter ต่างๆ และเป็นส่วน Stack ที่ใช้ร่วมกันทุกๆ Page เช่นเดียวกับตำแหน่ง Rom ดังนั้นข้อมูลใน Page อื่นจะเชื่อมต่อกันโดยส่วน Stack นี้

3. เนื่องจาก Softwear ของ Debug ใช้ Interrupt ของ Serial channel 1ทาง Receive จึงทำให้

- เมื่อ Dump memory หรือดูการ Disassembler เป็นจำนวนมากๆ สามารถหยุดการแสดงผลโดย “CONTROL S” และจะให้แสดงผลต่อก็คกด Key ใดๆ ก็ได้

- เมื่อกด Key ESC จะทำให้กลับสู่ Main program คือกลับสู่เครื่องหมาย Prompt ยกเว้นในขณะที่ใช้ “?” Help menu

- เมื่อกระทำการ Run โปรแกรมของ User สามารถทำงานใน FUNCTION อื่นได้อีก คือ

FUNCTION IN (I)

FUNCTION OUT (O)

FUNCTION REGISTOR (R)

FUNCTION YANK I/O (Y)

FUNCTION DISPLAY MEMORY (D)

เอกสารนี้เป็นเอกสารที่สงวนไว้สำหรับการใช้งานเพื่อการศึกษาเท่านั้น ไม่อนุญาตให้นำไปใช้ประโยชน์ด้านการค้าไม่ว่ากรณีใดๆ ทั้งสิ้น อีกทั้งห้ามมิให้ดัดแปลงเนื้อหา และต้องอ้างอิงถึงเจ้าของเอกสารทุกครั้งที่มีการนำไปใช้

- ขณะที่ SINGLE STEP สามารถเปลี่ยนแปลงค่า REGISTOR ได้

4. เมื่อมีการตั้งการทำงานของผู้ใช้ โดยให้ Run โปรแกรมของผู้ใช้ที่เขียนขึ้นเลยเมื่อมีการเปิดเครื่อง (Auto start) แล้วสามารถออกจาก Auto start ได้ภายใน 5 วินาที ที่เปิดเครื่อง โดยการกด Key ใดๆ ก็ได้บน PC จากนั้น ก็ให้เข้าไป Clear address EFFFH ถ้าไม่ต้องการให้เกิด Auto start อีกเมื่อปิดเครื่อง

5. เมื่อต้องการ Run program ที่เขียนขึ้น โดยโปรแกรมที่เขียนขึ้นไม่ใหวน Loop ต้องมีการหยุดโปรแกรมอาจจะเขียนด้วย Halt หรือ RST 18 H ซึ่ง RST 18 H จะหยุดโปรแกรม โดยการแสดงค่า Register ส่วน HALT จะทำให้ CPU หยุดทำคำสั่ง และจะให้ทำงานต่อก็โดยการกด ESC เพื่อกลับสู่ Prompt

6. ระบบเรียกใช้โปรแกรมย่อย "SYSTEM CALL" ซึ่งมีลักษณะเป็นโปรแกรมสำเร็จรูป มีซึ่งทำให้อำนวยความสะดวกแก่การศึกษาและทดลองให้เป็นไปได้อย่างดี

7. โปรแกรมทดลอง เพื่อการศึกษาและเป็นแนวคิดให้เกิด IDEA ใหม่ ๆ ขึ้น

## บทที่ 4

### การแปลงสัญญาณอนาลอกเป็นสัญญาณดิจิทัล (ANALOG TO DIGITAL CONVERTER)

#### 4.1 ทฤษฎี

สัญญาณในระบบดิจิทัลมี 2 ระดับคือ ระบบลอจิก 1 และระบบลอจิก 0 ซึ่งอาจจะเป็นพัลส์ต่อ ๆ กันได้

ส่วนสัญญาณอนาลอกนั้น ระดับสัญญาณในขณะใดขณะหนึ่ง จะมีระดับแตกต่างกัน มิได้จำกัดเพียง 2 ระดับเท่านั้น ตัวอย่างสัญญาณแบบอนาลอก ได้แก่ สัญญาณรูปคลื่นไซน์ (Sine Wave) สัญญาณเสียง เป็นต้น

ในบางครั้งจำเป็นต้องใช้สัญญาณทั้งสองนี้ร่วมกัน เช่น การนำเอาคอมพิวเตอร์ไปควบคุมอุณหภูมิของเตาอบ โดยมีอุปกรณ์แปลงพลังงานจากพลังงานความร้อนไปเป็นแรงดันไฟฟ้า (Voltage) ที่สอดคล้องกับค่าอุณหภูมิ ในการที่จะให้คอมพิวเตอร์ประมวลผลได้นั้น เราจำเป็นต้องแปลงสัญญาณแรงดันไฟฟ้าซึ่งเป็นสัญญาณอนาลอกไปเป็นสัญญาณดิจิทัลเพื่อป้อนเข้าคอมพิวเตอร์ต่อไป

ในการแปลงสัญญาณอนาลอกเป็นดิจิทัลนั้น มักใช้วิธีการเปรียบเทียบระหว่างสัญญาณอนาลอกที่ต้องการแปลงกับสัญญาณที่รู้แน่นอน

#### 4.2 วงจรแปลงอนาลอกเป็นดิจิทัล (Analog to digital converter)

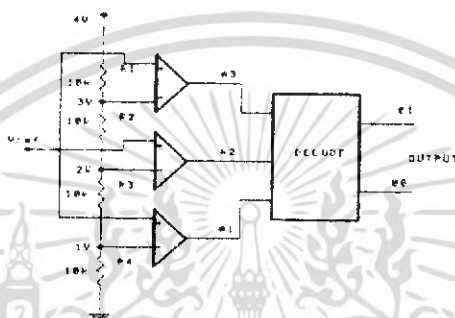
วงจรเปลี่ยนสัญญาณอนาลอกเป็นดิจิทัลที่ใช้กันอยู่มีหลายแบบด้วยกันคือ

แบบใช้วงจรเปรียบเทียบขนานหรือแบบเฟลช (Parallel Comparator Simultaneous "Flash" A/D CONVERTOR)

วงจรแบบนี้จะใช้ วงจรเปรียบเทียบที่ต่อขนานกันดังรูปที่ 4.1 ประกอบด้วยออปแอมป์ที่ต่อเป็นวงจรเปรียบเทียบ และตัวต้านทานต่อไว้เพื่อแบ่งแรงดันที่ขาอินพุทแบบกลับ (inverting) หรือขาลบให้มีขนาดต่าง ๆ กัน จากหลักการของวงจรเปรียบเทียบทั่วไป เมื่อแรงดันอินพุทที่ขาอินพุทแบบไม่กลับ (noninverting) หรือขาบวก มีค่าสูงกว่าที่ขาลบเอาต์พุทจะได้แรงดันค่าสูง ดูได้จากตารางที่รูป 4.2 ซึ่งเอาท์ที่ได้จากวงจรเปรียบเทียบนี้จะนำไปเข้ารหัสให้เป็นเลขฐานสองต่อไปเมื่อต้องการวงจรที่ความละเอียดสูงขึ้น จำเป็นต้องใช้วงจรเปรียบเทียบเพิ่มขึ้นโดยหาจำนวนวงจรเปรียบเทียบได้จาก สูตร  $2^N - 1$  เมื่อ N แทนจำนวนบิตหรือ

เอกสารนี้เป็นเอกสารที่สงวนไว้สำหรับการใช้งานเพื่อการศึกษาเท่านั้น ไม่อนุญาตให้นำไปใช้ประโยชน์ด้านการค้าไม่ว่ากรณีใดๆ ทั้งสิ้น อีกทั้งห้ามมิให้ตัดแปลงเนื้อหา และต้องอ้างอิงถึงเจ้าของเอกสารทุกครั้งที่มีการนำไปใช้

ความละเอียดที่ต้องการ แต่จะเห็นว่าที่ความละเอียด 8 บิตต้องใช้วงจรเปรียบเทียบมากถึง 255 ตัวซึ่งเป็นข้อเสียของวงจรแบบนี้ ข้อเสียอีกประการหนึ่งคือเอาต์พุตไม่เป็นเลขฐานสอง ต้องมีวงจรเพิ่มเติมไปทำการเข้ารหัส ข้อดีของวงจรคือมีความเร็วสูงมาก บางครั้งจึงต้องเรียกวงจรเอชดีแบบนี้ว่าแบบ แฟลช วงจรชนิดนี้ใช้เวลาในการแปลงได้เร็วในระดับนาโนวินาที ที่เดียว



รูปที่ 4.1 แสดงการต่อวงจร PARALLEL COMPARATOR A/D CONVERTOR

แรงดันอินพุต $V_m$ (โวลต์)	เอาต์พุตของวงจรเปรียบเทียบ			เอาต์พุตของเลขฐานสอง	
	A1	A2	A3	D1	D2
0-1	0	0	0	0	0
1-2	1	0	0	0	1
2-3	1	1	0	1	0
3-4	1	1	1	1	1

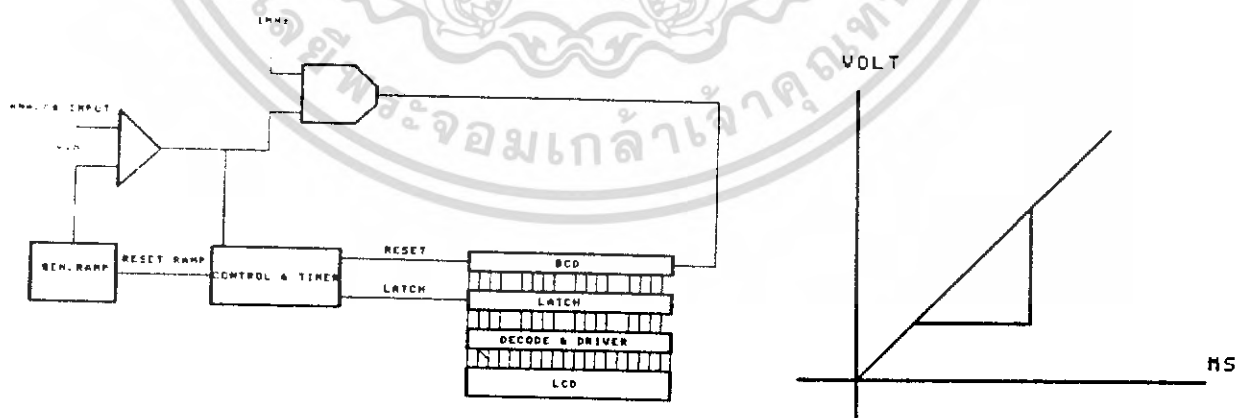
เอกสารนี้เป็นเอกสารตาราง 4.2 ความสัมพันธ์ระหว่างแรงดันอินพุตที่เป็นอนาล็อกกับเอาต์พุตที่เป็นดิจิทัลไม่ว่ากรณีใดๆ ทั้งสิ้น อีกทั้งห้ามมิให้ตัดแปลงเนื้อหา และต้องอ้างอิงถึงเจ้าของเอกสารทุกครั้งที่มีการนำไปใช้

#### 4.3 วงจรเอทูดิจิที่ใช้การอินทิเกรต

วงจรเปลี่ยนสัญญาณเอทูดิจิที่ใช้เทคนิคการอินทิเกรตสัญญาณมีหลายแบบ คือ

##### 1. แบบสโลปเดียวหรือแบบแรมปี (Single Ramp หรือ Single Stop A/D Converter)

วงจรเอทูดิจิแบบนี้แสดงไว้ดังรูป 4.3 ประกอบไปด้วย วงจรกำเนิดสัญญาณแรมปี, วงจรเปรียบเทียบ, วงจรนับ BCD เมื่อเริ่มทำการเปลี่ยนสัญญาณ สัญญาณแรมปีและวงจรถ่ายจะถูกรีเซ็ตให้ให้เป็น 0 แรงดันอะนาล็อกถูกป้อนไปยังวงจรเปรียบเทียบทางขาอินพุทบวก เมื่อแรงดันที่ขาอินพุทบวกมีค่าเป็นบวกมากกว่าขาลบ วงจรเปรียบเทียบจะให้เอาต์พุทออกมาเป็นระดับ high ทำให้แอนด์เกตปล่อยสัญญาณนาฬิกาผ่านไปยังวงจรถ่ายได้และทำให้เกิดสัญญาณแรมปีเมื่อสัญญาณแรมปีมีแรงดันเป็นบวกขึ้นเรื่อยๆจนมากกว่าระดับแรงดันอินพุทเอาต์พุทของวงจรเปรียบเทียบก็ตกลงมาเป็นระดับ LOW ปิดแอนด์เกตที่ไม่มีสัญญาณนาฬิกาผ่านไปให้วงจรถ่ายจะหยุดนับและเก็บค่าไว้ที่วงจรถ่ายเลขจากนั้นจึงทำการรีเซ็ตวงจรถ่ายและวงจรถ่ายกำเนิดสัญญาณแรมปี สมมุติให้สัญญาณนาฬิกาที่มีความถี่ 1 MHz วงจรถ่าย BCD 4 หลักแรงดันอินพุท  $V_{in} = 2V$  สัญญาณแรมปีมีความชัน 1 V/ms ดังแสดงในรูป 4.3(ข) จากจุดเริ่มต้นจนถึงแรงดันสูงสุด (2 V) สัญญาณแรมปีใช้เวลา 2 ms หลังจากนั้นจึงปิดสัญญาณที่ส่งไปให้วงจรถ่าย ซึ่งวงจรถ่ายทำการนับถึง 200 ลูก วงจรลักษณะนี้มักนำไปใช้งานในการเปลี่ยนเวลาเป็นขนาดของสัญญาณหรืออาจใช้ในดิจิตอลโวลท์มิเตอร์ แต่ไม่ใช่กับงานที่ต้องการความถูกต้องเนื่องจากการเปลี่ยนแปลงในแหล่งกำเนิดสัญญาณแรมปีขึ้นกับอุณหภูมิและผลตอบสนองต่อสัญญาณอินพุททำให้ไม่มีความถี่คงที่ดังนั้นจึงมีการปรับปรุงให้ดีขึ้นกลายเป็นแบบสโลปคู่



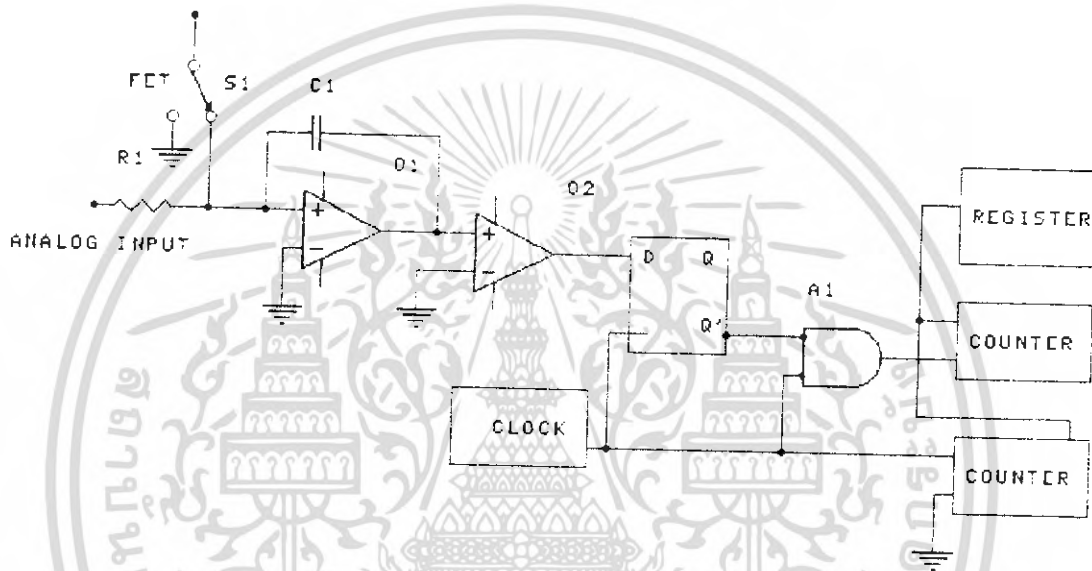
รูปที่ 4.3 วงจรเปลี่ยนสัญญาณเอทูดิจิแบบสโลปเดียว

(ก)แสดงบล็อกโคอะแกรม (ข)ความชันของสัญญาณแรมปี

เอกสารนี้เป็นเอกสารที่สงวนไว้สำหรับการใช้งานเพื่อการศึกษาเท่านั้น ไม่อนุญาตให้นำไปใช้ประโยชน์ด้านการค้า ไม่ว่ากรณีใดๆ ทั้งสิ้น อีกทั้งห้ามมิให้ตัดแปลงเนื้อหา และต้องอ้างอิงถึงเจ้าของเอกสารทุกครั้งที่มีการนำไปใช้

## 2. แบบเดลต้า-ซิกม่า (Delta-Sigma A/D Converters)

จากวงจรรูปที่ 4.4 เมื่อมีแรงดันอินพุตป้อนเข้ามาที่วงจรมินิเกรตเตอร์จะให้เอาต์พุตไปเข้าวงจรเปรียบเทียบ เปรียบเทียบกับแรงดันคงที่(จากรูปคือกราวด์) พัลส์ของกระแสที่ได้ขึ้นอยู่กับเอาต์พุตของวงจรมินิเกรตเตอร์ โดยการสวิตช์ที่ทำขึ้นจากเฟลจะควบคุมให้กระแสเข้าไปยังที่จุ่มรวมหรือลงกราวด์ไปส่วนวงจรมินิเกรตเตอร์จะนำผลด้วยหลักการที่คล้ายกัน



รูปที่ 4.4 วงจรเปลี่ยนสัญญาณแบบเดลต้า-ซิกม่า

### ข้อสรุปของเอาต์พุตแบบอินทิเกรตสัญญาณ

จุดสำคัญของอินทิเกรตดิ้งเทคนิคคืออินพุตที่ให้กับวงจรมินิเกรตเตอร์ต้องเป็นกระแส ไอซีคอนเวอร์เตอร์บางตัวอาจมีอินพุตให้สองขา แต่จะมีขาหนึ่งต่อตรงกับจุด summing point ใช้กับอุปกรณ์ที่เป็นแหล่งจ่ายกระแสไฟโดยตรง ถ้าให้อินพุตเป็นกระแสก็ไม่ต้องคำนึงถึงแรงดันออฟเซตของวงจรมินิเกรตเตอร์แต่ถ้าใช้กับอินพุตที่เป็นแรงดันต้องปรับออฟเซตของออปแอมป์เสียก่อน การใช้อินพุตเป็นกระแสทำให้ย่านการใช้งานทางไฟสลับกว้าง

### 4.4 การทำงานของวงจร A/D

วงจร A/D ใช้ไอซี ADC0809 เป็นตัวแปลงสัญญาณอนาล็อกเป็นดิจิตอลจากรูปที่ 4.5 เนื่องจาก ADC0809 รับอินพุตได้ 5 Vdc แต่เราจึงใช้อินพุตได้ไม่เกิน 5 โวลต์ เอาต์พุตที่ออกมาจะป้อนเข้าสู่ขา อินพุตของ ADC0809 สำหรับ Clock ที่ป้อนให้ ADC0809 นั้น สร้างจากไอ

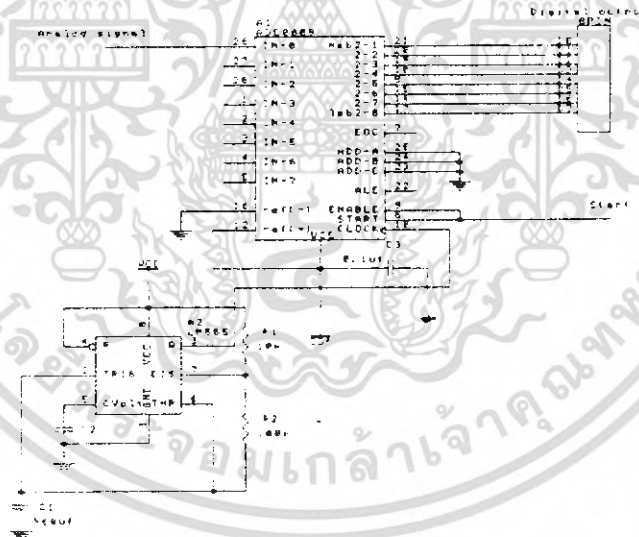
เอกสารนี้ใช้ LM555 เอาต์พุตออกมาที่ได้จะมีความถี่ 500 kHz ถูกต่อเข้ากับขา 10 (CLK) ของ

ไม่ว่ากรณีใดๆ ทั้งสิ้น อีกทั้งห้ามมิให้ดัดแปลงเนื้อหา และต้องอ้างอิงถึงเจ้าของเอกสารทุกครั้งที่มีการนำไปใช้

ADC0809 ส่วน Vref ที่ขา 16 ต่อดงกราวด์ สำหรับ AO-A2 ต่อดงกราวด์ ทั้งหมด  
 ADC0809 จะทำงานเมื่อขา Start ,ALE,OE เป็น "1" ADC0809 จะรับค่าสัญญาณอนาล็อก  
 ทางด้านอินพุทแปลงเป็นสัญญาณดิจิตอลออกทางเอาต์พุทที่ขา D0-D7

#### 4.5 การเชื่อมต่อไอซี ADC0809 กับไมโครโปรเซสเซอร์บอร์ด (Interfacing)

การอินเตอร์เฟสกับไมโครโปรเซสเซอร์ จะเชื่อมต่อผ่านทางพอร์ท8255 ของ  
 ไมโครโปรเซสเซอร์ โดยให้พอร์ท A เป็นพอร์ทที่ใช้สำหรับรับข้อมูลจากไอซี ADC0809 ส่วน  
 พอร์ท B ใช้เป็นพอร์ทสำหรับส่งสัญญาณรับค่าไปยังไอซี ADC0809 เพื่อที่จะรับค่าเข้ามาทาง  
 พอร์ท A ดังแสดงในรูป 4.6 ส่วนการควบคุมจะใช้การเขียนโปรแกรมภาษาแอสเซมบลีรับค่า  
 จาก ADC0809 โดยการส่งสัญญาณทริกไปที่ขา Start ของ ADC0809 ซึ่งจะทำให้ ADC0809  
 ทำงาน



รูปที่ 4.5 แสดงการต่อวงจรของไอซี ADC0809

เอกสารนี้เป็นเอกสารที่สงวนไว้สำหรับการใช้งานเพื่อการศึกษาเท่านั้น ไม่อนุญาตให้นำไปใช้ประโยชน์ด้านการค้า  
 ไม่ว่ากรณีใดๆ ทั้งสิ้น อีกทั้งห้ามมิให้ดัดแปลงเนื้อหา และต้องอ้างอิงถึงเจ้าของเอกสารทุกครั้งที่มีการนำไปใช้



## บทที่ 5

### การแสดงผล

#### 5.1 แผงแสดงแบบผลึกเหลว (LCD)

ผลึกเหลวมีอยู่หลายชนิด ขึ้นกับคุณสมบัติของสารว่าหลังจากสนามไฟฟ้าแล้วจัดเรียงตัวอย่างไร ชนิดที่นิยมใช้กันมีอยู่ 2 ชนิด คือ ชนิด ไดนามิกสแคทเทอริง (Dynamic scattering) และชนิด ฟิวด์เอฟเฟค (Field effect)

สำหรับชนิดไดนามิกสแคทเทอริง โมเลกุลของผลึกเหลวภาวะปกติจะเรียงตัวเป็นระเบียบมองแล้วจะเห็นใส แต่เมื่อป้อนสนามไฟฟ้า โมเลกุลของผลึกจะกระจัดกระจายมองเห็นเป็นสีเทา ส่วนชนิดฟิวด์เอฟเฟคใช้หลักการโพลารไรเซชัน ส่วนที่ได้รับสนามไฟฟ้าจะหันทิศทางของขั้วปรากฏเป็นส่วนที่มีสี บริเวณนอกนั้นจะสว่าง

ทั้งสองชนิดยังแบ่งออกไปอีก 2 แบบ คือ แบบส่งผ่าน (Transmissive) และ แบบสะท้อน (Reflective) LCD แบบส่งผ่านทำหน้าที่เป็นแผ่นกรองแสงจากด้านหลัง ส่วน LCD แบบสะท้อนทำหน้าที่เป็นแผ่นสะท้อนกรองแสงจากด้านหน้า จะกรองได้ก็ต่อเมื่อมีสนามไฟฟ้าป้อนให้มัน โครงสร้างต่างๆ ไปจะเป็นแผ่นกระจก 2 แผ่นประกบกันมีผลึกเหลวอยู่ตรงกลาง

ข้อเด่นของแผงแบบ LCD คือต้องการแรงดันมาเพียงเพื่อสร้างสนามไฟฟ้าเพื่อให้โมเลกุลเรียงตัวตามต้องการ ดังนั้นจึงกระแสน้อยมาก กำลังงานที่ดึงเมื่อทุกส่วนทำงานมักจะน้อยกว่า  $25 \mu\text{W}$  ข้อเสียของแบบนี้ก็คือต้องมีแสงจากภายนอก และใช้งานในช่วงอุณหภูมิแคบๆ ถ้าอุณหภูมิต่ำกว่า  $0^{\circ}\text{C}$  ผลึกเหลวจะทำงานน้อยลงกว่าปกติมาก ถ้าอุณหภูมิสูงกว่าประมาณ  $50^{\circ}\text{C}$  ผลึกเหลวจะเปลี่ยนรูปเป็นของเหลว การทำงานจะผิดพลาดไปจากที่ควรเป็น

## 5.2 การควบคุมการแสดงผลของ LCD (Control Liquid crystal display )

LCD ที่ใช้แสดงผลนี้ใช้ LCD แบบตัวอักษร ของบริษัทฮิตาชิ ซึ่งมีส่วนประกอบ 3 ส่วน คือ

1. คอตเมตริก (Dot matrix) เป็นตัวแสดงผลให้มองเห็นในลักษณะการปิดและเปิดตัวเองกับแสงก็คือ ส่วนของที่เป็นตัวกระจกบรรจุผลึก
2. ไดรเวอร์ (Driver) เป็นตัวรับสัญญาณจากตัวควบคุมมาขับผลึก LCD อีกทีหนึ่งโดยใช้ไอซีเบอร์ HD44100H
3. คอนโทรลเลอร์ (Controller) เป็นตัวรับข้อมูลจากอุปกรณ์ภายนอกเข้ามาจัดการควบคุม ทำให้เกิดการแสดงผล เช่น การลบจอภาพ, การเกิดตัวอักษร ไอซีที่ใช้เป็นเบอร์ HD4478

การศึกษาและทดลองการใช้งานของ LCD โมดูล (module) จะศึกษาและทดลองในส่วน ของ คอนโทรลเลอร์ ซึ่งมีหลักการทำงานเป็นแบบมาตรฐาน

ไอซี HD44780 เป็นไอซี LSI ตัวหนึ่งใช้ควบคุม LCD โดยแสดงผลในรูปตัวอักษรหรือสัญลักษณ์ต่างๆ ในตัวมันเอง ไอซีนี้สามารถต่อใช้งานแบบ 4 บิต หรือ 8 บิต ก็ได้ โดยถ้าต่อแบบ 4 บิต จะต่อใช้งานที่ DB7-DB4 เท่านั้น โดยข้อมูลครั้งแรกที่ส่งนั้นจะถือว่าเป็นข้อมูล 4 บิตบน และข้อมูลที่ส่งต่อมานั้นเป็นข้อมูล 4 บิต ล่าง

การคอนโทรลไอซี HD44780

1. ล้างหน้าจอ (Clear display)

Clear display

RS R/W DB7-----DB0

0	0	0	0	0	0	0	0	0	1
---	---	---	---	---	---	---	---	---	---

คำสั่งนี้เป็นการเขียนช่องว่างหรือ space(ASCII 20H) เข้าไปใน DD RAM ทั้งหมดและทำการ SET DD RAM Address เป็นศูนย์ตัวเคอร์เซอร์ (Cursor) จะกลับไปอยู่ ตำแหน่งบนสุดซ้ายมือของจอ

## 2. กลับสู่ตำแหน่งเดิม (Return home)

Return home

RS	R/W	DB7	-----				-----				DB0
0	0	0	0	0	0	0	0	0	0	0	*

\* No effect

คำสั่งนี้จะทำการ Set DD RAM address เป็นศูนย์ ตัวเคอร์เซอร์ จะกลับไปอยู่ตำแหน่งบนสุดซ้ายมือของจอภาพ ข้อมูลในจอภาพไม่เปลี่ยน

## 3. ควบคุมการอ่านหรือเขียนข้อมูลลง DD RAM (Entry mode set)

Entry mode set

RS	R/W	DB7	-----				-----				DB0
0	0	0	0	0	0	0	0	0	I/D	S	

Bit I/D : เป็นตัวกำหนดให้ว่าเมื่อเขียนหรืออ่านข้อมูลแล้วจะทำให้ DD RAM address เพิ่มขึ้นหรือลดลงหนึ่ง โดย

1 = เพิ่ม

2 = ลดลงหนึ่ง

Bit S : กำหนดการแสดงผล โดย

S=1 ใส่ข้อมูลแล้วตัวเคอร์เซอร์ อยู่ที่ข้อมูลจะถูกดันไปทางซ้าย

S=2 ใส่ข้อมูลจะอยู่กับที่ ตัวเคอร์เซอร์ จะถูกดันไปทางขวามือ

## 4. ควบคุมการเปิด-ปิดหน้าจอ (Display NO/OFF control)

RS	R/W	DB7	-----				-----				DB0
0	0	0	0	0	0	0	D	C	B		

Bit D : เป็นบิต ให้เปิดปิดหน้าจอโดยถ้า

D=1 จะ ON

D=0 จะ OFF

เอกสารนี้เป็นเอกสารที่สงวนไว้สำหรับการใช้งานเพื่อการศึกษาเท่านั้น ไม่อนุญาตให้นำไปใช้ประโยชน์ด้านการค้าไม่ว่ากรณีใดๆ ทั้งสิ้น อีกทั้งห้ามมิให้ดัดแปลงเนื้อหา และต้องอ้างอิงถึงเจ้าของเอกสารทุกครั้งที่มีการนำไปใช้

Bit C : จะแสดงเคอร์เซอร์ ให้ บิต C=1 และถ้าไม่ต้องการแสดงเคอร์เซอร์ บิต C=0 โดยตัวเคอร์เซอร์ จะอยู่ที่แถว ที่8 ในแบบ 5x7 จุด และจะอยู่แถว ที่11 ในแบบ 5x10 จุด  
 Bit B : เป็นบิต ที่เซต การกระพริบของเคอร์เซอร์ โดยมีระยะเวลากระพริบประมาณ 379.2 ms

B=1 จะกระพริบ

B=0 ไม่มีการกระพริบ

#### 5. ควบคุมตำแหน่งของเคอร์เซอร์ (Cursor or display shift)

Cursor or display shift

RS	R/W	DB7	-----			DB0
0	0	0	0	0	1	S/C R/L * *

\* No effect

เป็นคำสั่งที่กำหนดให้ตำแหน่งเคอร์เซอร์ หรือข้อมูลไปเกิดทางซ้ายหรือทางขวาโดยไม่ต้องใช้คำสั่งเขียนหรืออ่าน โดย

S/C	R/L	
0	0	ทำการย้ายเคอร์เซอร์ ไปจากตำแหน่งเดิมไปทางซ้ายมือ 1 ตำแหน่ง
0	1	ทำการย้ายเคอร์เซอร์ ไปจากตำแหน่งเดิมไปทางขวามือ 1 ตำแหน่ง
1	0	เป็นการค้นตัวอักษรที่เกิดไปทางซ้าย
1	1	เป็นการค้นตัวอักษรที่เกิดไปทางขวา

#### 6. ควบคุมการเซตฟังก์ชัน (Function set)

Function set

RS	R/W	DB7	-----			DB0
0	0	0	0	1	DL N F * *	

\* No effect

Bit DL : เป็นการเซต การติดต่อว่าจะให้เป็นแบบ 8 bit หรือ 4 bit โดย

DL=0 เป็นการติดต่อแบบ 4 Bit

DL=1 เป็นการติดต่อแบบ 8 Bit

เอกสารนี้เป็นเอกสารที่สงวนไว้สำหรับการใช้งานเพื่อการศึกษาเท่านั้น ไม่อนุญาตให้นำไปใช้ประโยชน์ด้านการค้า ไม่ว่ากรณีใดๆ ทั้งสิ้น อีกทั้งห้ามมิให้ดัดแปลงเนื้อหา และต้องอ้างอิงถึงเจ้าของเอกสารทุกครั้งที่มีการนำไปใช้

Bit N : เป็นการเซ็ท บรรทัดการแสดงผล

N=0 แสดง 1 บรรทัด

N=1 แสดง 2 บรรทัด กรณีมากกว่า 2 บรรทัดก็ให้เซ็ท N=1

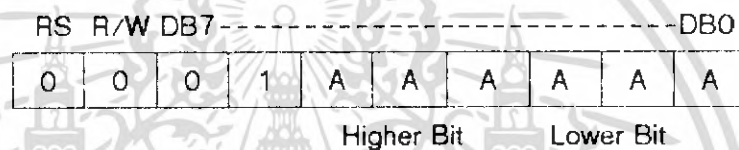
Bit F : เป็นการเซ็ท ขนาดจอการแสดงผล

F=0 เป็นแบบ 5x7

F=1 เป็นแบบ 5x10

#### 7. ควบคุมการเซ็ทแอดเดรสของ CG RAM (Set CG RAM address)

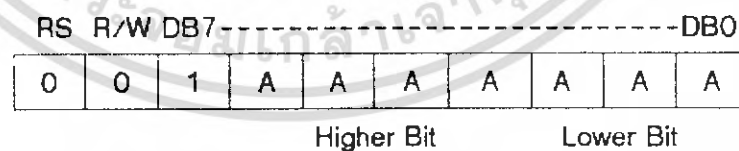
Set CG RAM address



ใน HD44780 นั้นจะมีหน่วยความจำอยู่ 2 ชุด คือ Display data ram (DD RAM) จำนวน 80x8 bit และ Character generator ROM CG RAM จำนวน 512 Bit และ 7200 Bit คำสั่งนี้จะเป็นการเซ็ทแอดเดรส ใน CG RAM โดยต้องทำการ เซ็ทแอดเดรสก่อนเขียนหรืออ่านข้อมูลจาก CG RAM ด้วย

#### 8. ควบคุมการเซ็ทแอดเดรสของ DD RAM (Set DD RAM address)

Set DD RAM address



เป็นคำสั่งเซ็ท ค่าแอดเดรส ใน DD RAM ในการเขียนหรืออ่านค่าจาก DD RAM (DD RAM คือส่วนที่จะแสดงผลหน้าจอ LCD) โดยจำนวนแอดเดรส ที่จะเกิดขึ้นบนหน้าจอ LCD จะอยู่กับเซ็ท ค่า N ด้วย

N=0 (1บรรทัด) แอดเดรส จะอยู่ 00H-4FH

N=1 (2บรรทัด) แอดเดรส จะอยู่ 00H-27H สำหรับบรรทัดที่ 1 และ 40H-67H สำหรับบรรทัดที่ 2

เอกสารนี้เป็นเอกสารที่สงวนไว้สำหรับการใช้งานเพื่อการศึกษาเท่านั้น ไม่อนุญาตให้นำไปใช้ประโยชน์ด้านการค้า ไม่ว่ากรณีใดๆ ทั้งสิ้น อีกทั้งห้ามมิให้ดัดแปลงเนื้อหา และต้องอ้างอิงถึงเจ้าของเอกสารทุกครั้งที่มีการนำไปใช้

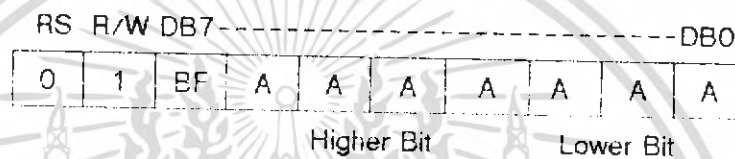
## แบบการจัดแอดเดรส ของ DD RAM หน้าจอ LCD แบบ 40 ตัวอักษร 2 บรรทัด

### 40 ตัวอักษร 2 บรรทัด

00	01	02	03	04	05	06	07	08	09	0A	0B	0C	0D	0E	0F	10	11	12	13
40	41	42	43	44	45	46	47	48	49	4A	4B	4C	4D	4E	4F	50	51	52	53

### 9. คำสั่งอ่านค่าบั๊กซี (Read busy flag and address)

Read busy flag and address



เป็นคำสั่งอ่านค่าบั๊กซีเฟล็ก (Busy Flag) ซึ่งจะเป็นตัวบอกว่าตัว อยู่ในขบวนการทำงานภายในอยู่หรืออยู่ในสภาพพร้อมจะรับข้อมูล โดย

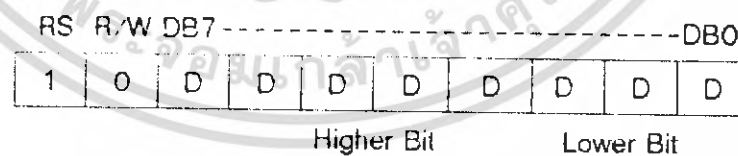
BF=1 อยู่ในกระบวนการภายในไม่พร้อมจะรับข้อมูลหรือ คำสั่ง

BF=0 พร้อมที่จะรับข้อมูลหรือ คำสั่งได้

และนอกจากนี้ยังเป็นคำสั่งอ่านค่าข้อมูลแอดเดรส ของ CG RAM หรือ DD RAM ด้วย

### 10. คำสั่งเขียนข้อมูลเข้า CG หรือ DD RAM (Write data to CG or DD RAM )

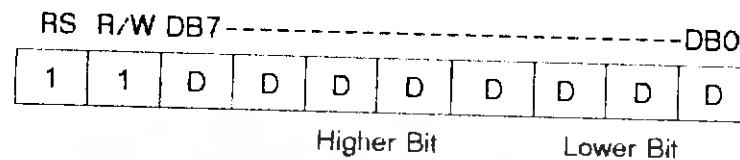
Write data to CG or DD RAM



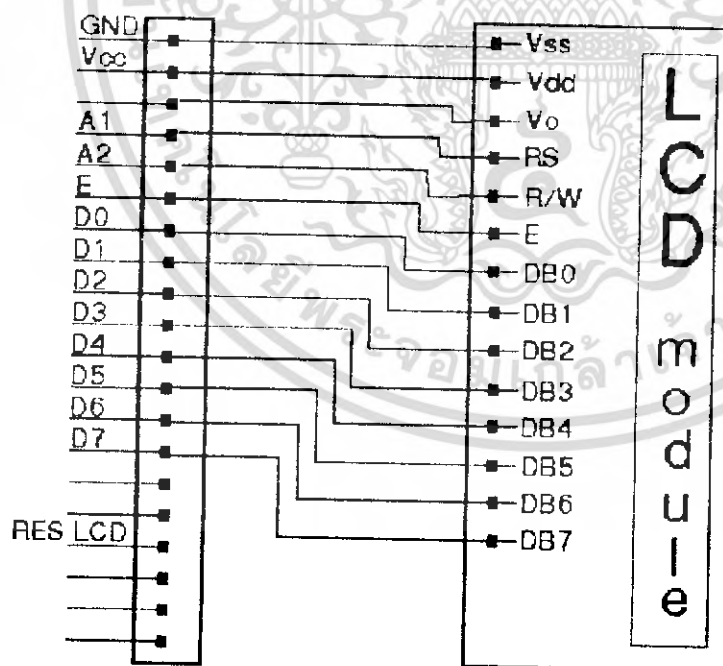
เป็นคำสั่งเขียนข้อมูลเข้าไปใน CG หรือ DD RAM โดยเมื่อเขียนข้อมูลและ Address จะเพิ่มหรือลดโดยอัตโนมัติตามคำสั่งที่เซ็ท ใน Entry mode ข้อกำหนดที่จะรู้ว่าเป็นการเขียนข้อมูลของ CG RAM หรือ DD RAM ทำได้โดยการเซ็ทแอดเดรสของ CG RAM ขึ้นมาก่อนจะเขียนข้อมูล Set DD RAM แอดเดรส

### 1.1. คำสั่งอ่านค่าข้อมูลจาก CG RAM หรือ DD RAM (Read data from CG or DD RAM)

Read data from CG or DD RAM



เป็นคำสั่งอ่านค่าข้อมูลจาก CG RAM หรือ DD RAM โดยก่อนอ่านค่าจาก DD RAM หรือ CG RAM นี้ควรจะใช้คำสั่ง Set address ก่อนเพื่อให้รู้ว่าข้อมูลที่อ่านได้นั้นเป็น DD หรือ CG RAM จะเห็นว่าการใช้งาน LCD module นี้ง่าย เพียงแต่เราส่งคำสั่งเริ่มแรกและ Set ความต้องการในขนาดตัวอักษร, เดอร์เซอร์ หลังจากนั้นเราสามารถเขียนตัวอักษรเข้าไปใน DD RAM ตามตารางตัวอักษรที่ที่ให้มานั้น ก็จะเกิดตัวอักษรในจอภาพ LCD เรายังสามารถกำหนด ตำแหน่งตัวอักษรที่จะเกิดขึ้นบนจอได้โดยการ Set DD RAM address ตามตารางที่ให้มาในหัวข้อ



รูปที่ 5.1 แสดงการต่อ LCD โมดูลกับ LCD พอร์ตของบอร์ด JR-180

เอกสารนี้เป็นเอกสารที่สงวนไว้สำหรับการใช้งานเพื่อการศึกษาเท่านั้น ไม่อนุญาตให้นำไปใช้ประโยชน์ด้านการค้า ไม่ว่าจะกรณีใดๆ ทั้งสิ้น อีกทั้งห้ามมิให้ตัดแปลงเนื้อหา และต้องอ้างอิงถึงเจ้าของเอกสารทุกครั้งที่มีการนำไปใช้

```

;*****
;***** PROGRAM SET & SHOW LCD *****
;*****

        CPU 'Z180.TBL'
        HOF 'INT8'
        ORG 8000H

CTRL_LCD EQU 0C0H      ;I/O LCD PORT
WRDATA   EQU 0C2H      ;I/O LCD PORT
RDFLAG   EQU 0C4H      ;I/O LCD PORT

;***** MAIN PROGRAM *****
        CALL INITLCD
MAIN:   CALL SHW_FUNC1
        CALL SHW_FUNC2
        JR    MAIN

;***** INITIAL LCD *****
INITLCD: LD  A,38H      ;Function Set (00111000B)
        OUT (CTRL_LCD),A
        CALL CHK_BUSY
        LD  A,0CH      ;Display ON/OFF (00001100B)
        OUT (CTRL_LCD),A
        CALL CHK_BUSY
        LD  A,01H      ;Clear Screen (0000 0001B)
        OUT (CTRL_LCD),A
        CALL CHK_BUSY
        LD  A,06H      ;Entry Mode Set (0000 0110B)
        OUT (CTRL_LCD),A
        CALL CHK_BUSY
        RET

;***** SET_DDRAM *****
SET_DDRAM: SET  7,A      ;Set bit7 = '1'
        OUT (CTRL_LCD),A
        CALL CHK_BUSY

```

เอกสารนี้เป็นเอกสารที่สงวนลิขสิทธิ์หรือการศึกษานี้ ไม่อนุญาตให้นำไปใช้ประโยชน์ด้านการค้า  
ไม่ว่ากรณีใดๆ ทั้งสิ้น อีกทั้งห้ามมิให้ดัดแปลงเนื้อหา และต้องอ้างอิงถึงเจ้าของเอกสารทุกครั้งที่มีการนำไปใช้

```

RET
;***** CHK_BUSY *****
CHK_BUSY: IN  A,(RDFLAG)
          BIT  7,A          ;Chack Bit '7'
          JR   NZ,CHK_BUSY ;Bit7 = '0' to RET
          RET
;***** SHW_FUNC1 *****
SHW_FUNC1: LD  HL,TAB_FUNC1
          LD  A,00H        ;Address Row1 Colume1 = '00H'
          CALL SET_DDRAM
          CALL WRLINE
          RET
;***** SHW_FUNC2 *****
SHW_FUNC2: LD  HL,TAB_FUNC2
          LD  A,40H        ;Address Row2 Colume2 = '40H'
          CALL SET_DDRAM
          CALL WRLINE
          RET
;***** WRITE LINE *****
WRLINE:  LD  B,14H
WRLINE1: LD  A,(HL)
          OUT (WRDATA),A
          CALL CHK_BUSY
          INC HL
          DJNZ WRLINE1
          RET
TAB_FUNC1: DFB  50H,72H,6FH,67H,72H,61H,6DH,20H,62H,79H
          DFB  2EH,2EH,50H,49H,59H,41H,57H,41H,54H,7FH
TAB_FUNC2: DFB  2AH,2AH,2AH,2AH,2AH,2AH,2AH,2AH,2AH,2AH
          DFB  2AH,2AH,2AH,2AH,2AH,2AH,2AH,2AH,2AH,2AH

```

END

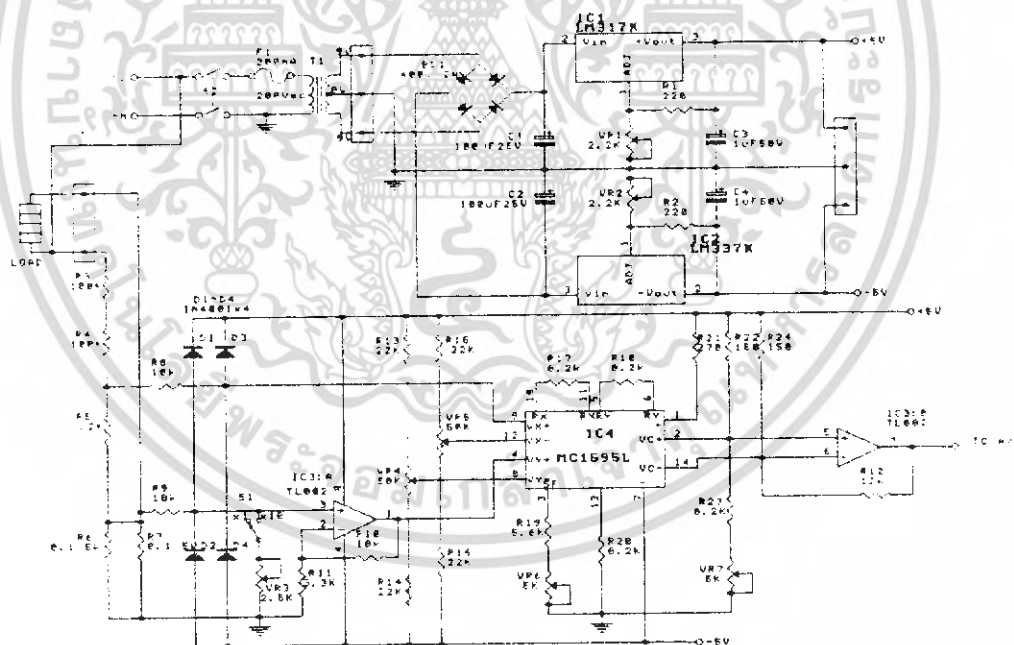
เอกสารนี้เป็นเอกสารที่สงวนไว้สำหรับการใช้งานเพื่อการศึกษาเท่านั้น ไม่อนุญาตให้นำไปใช้ประโยชน์ด้านการค้า  
ไม่ว่ากรณีใดๆ ทั้งสิ้น อีกทั้งห้ามมิให้ดัดแปลงเนื้อหา และต้องอ้างอิงถึงเจ้าของเอกสารทุกครั้งที่มีการนำไปใช้

# บทที่ 6

## การทดลอง

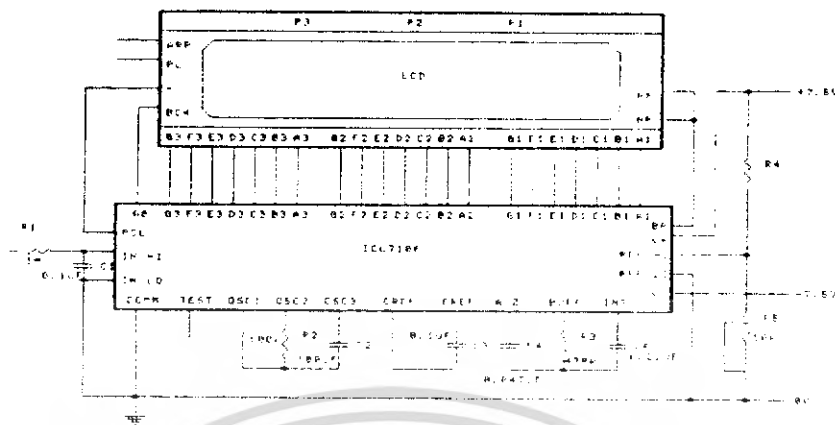
### 6.1 การทดลองและปรับแต่งวงจรวัดกำลังไฟฟ้า (Wattmeter)

จากวงจรรูปที่ 6.1 เป็นวงจรที่ต้องทำการทดลองวัดกำลังไฟฟ้าจากโหลดและต้องปรับแต่งให้ได้ค่าที่ออกมาตรงกับความเป็นจริง การทดลองในขั้นแรกใช้ไอซีเบอร์ 7106 เป็นไอซีสำหรับเปลี่ยนสัญญาณอนาลอกเป็นสัญญาณดิจิทัล และเป็นไดรเวอร์ขับจอ LCD ในตัววงจรแสดงในรูปที่ 6.2 ผลการทดลองเป็นไปตามตารางที่ 6.1



รูปที่ 6.1 วงจรเครื่องวัดกำลังไฟฟ้าที่ใช้ในการทดลอง

เอกสารนี้เป็นเอกสารที่สงวนไว้สำหรับการใช้งานเพื่อการศึกษาเท่านั้น ไม่อนุญาตให้นำไปใช้ประโยชน์ด้านการค้าไม่ว่ากรณีใดๆ ทั้งสิ้น อีกทั้งห้ามมิให้ดัดแปลงเนื้อหา และต้องอ้างอิงถึงเจ้าของเอกสารทุกครั้งที่มีการนำไปใช้



รูปที่ 6.2 แสดงวงจรภาคแสดงผลที่ใช้ในการทดลอง

โหลดที่ใช้ทดลอง	กำลังไฟฟ้าจริง (Watt)	กำลังไฟฟ้าที่แสดงออกทางจอ LCD (Watt)
หลอดไฟ	40	41 ~45
Over head	380	350 ~385
กาดม้มน้ำไฟฟ้า	670	660 ~670
หลอดไฟ+Over head	420	400 ~420
หลอดไฟ+กาดม้มน้ำ	710	700 ~730
กาดม้มน้ำ+Over head	1050	1000 ~1080
หลอดไฟ+กาดม้มน้ำ+ Over head	1090	1000 ~1100

ตารางที่ 6.1 แสดงการทดลองวัดกำลังไฟฟ้าและแสดงออกทาง LCD

จากตารางที่ 6.1 ผลที่ออกมาใกล้เคียงกับค่าจริง จากนั้นทำการวัดแรงดันเอาต์พุตจากวงจรเพื่อหาแรงดันสูงสุดและต่ำสุด เพื่อที่จะควบคุมแรงดันให้อยู่ในช่วง 0-5 โวลต์ ซึ่งเป็นแรงดันที่ใช้สำหรับเป็นอินพุตของไอซี ADC0809 ตารางที่ 6.2 แสดงผลการทดลองวัดโหลดเพื่อหาค่าแรงดันเอาต์พุตจากวงจร

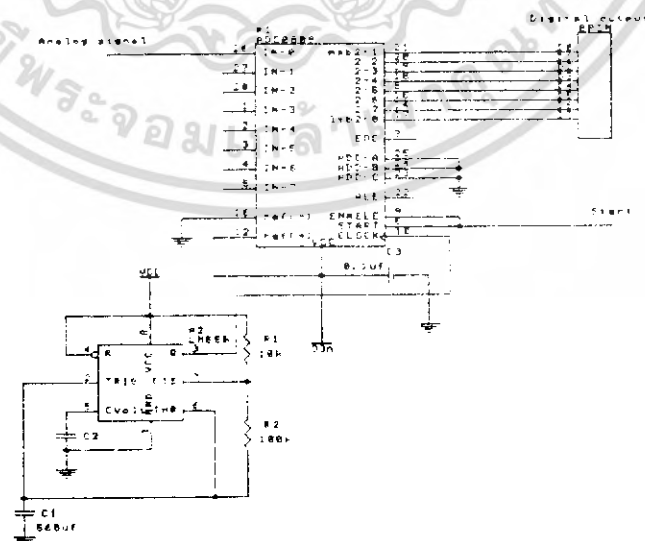
เอกสารนี้เป็นเอกสารที่สงวนไว้สำหรับการใช้งานเพื่อการศึกษาเท่านั้น ไม่อนุญาตให้นำไปใช้ประโยชน์ด้านการค้าไม่ว่ากรณีใดๆ ทั้งสิ้น อีกทั้งห้ามมิให้ดัดแปลงเนื้อหา และต้องอ้างอิงถึงเจ้าของเอกสารทุกครั้งที่มีการนำไปใช้

โหลดที่ใช้ทดลอง	กำลังไฟฟ้าจริง (Watt)	แรงดันเอาต์พุต (Volt)
NO load	0	0
หลอดไฟ	40	0.38
Over head	380	1.5
กาดม้ไฟฟ้า	670	2.5
หลอดไฟ+Over head	420	1.8
หลอดไฟ+กาดม้ไฟฟ้า	710	2.4
กาดม้ไฟฟ้า+Over head	1050	3.8
หลอดไฟ+กาดม้ไฟฟ้า+Over head	1090	3.9

ตารางที่ 6.2 แสดงผลการวัดค่าแรงดันเอาต์พุตของวงจร

## 6.2 การทดลองวงจรอนาล็อก-ดิจิตอล คอนเวอร์เตอร์ (Analog to digital convertor)

การทดลองในส่วนนี้เพื่อที่จะได้ค่าที่ถูกต้องในการแปลงสัญญาณอนาล็อกเป็นสัญญาณดิจิตอลเพื่อป้อนให้กับไมโครโปรเซสเซอร์ ไอซีที่ใช้เป็นไอซีเบอร์ ADC0809 มีแรงดันอินพุตที่ใช้อยู่ในช่วง 0-5 โวลท์ ใช้วงจรในรูปที่ 6.3 ทดลองโดยป้อนแรงดันระหว่าง 0-5 โวลท์ เป็นอินพุต และวัดสัญญาณดิจิตอลเทียบกับอินพุต ผลที่ได้แสดงดังตารางที่ 6.3



รูปที่ 6.3 แสดงวงจร A/D converter โดยใช้ไอซี ADC0809

เอกสารนี้เป็นเอกสารที่สงวนไว้สำหรับการใช้งานเพื่อการศึกษาเท่านั้น ไม่นิยมนำไปใช้ประโยชน์ด้านการค้า ไม่ว่ากรณีใดๆ ทั้งสิ้น อีกทั้งห้ามมิให้ตัดแปลงเนื้อหา และต้องอ้างอิงถึงเจ้าของเอกสารทุกครั้งที่มีการนำไปใช้

Input voltage	Output	HEX	HEX to DEC
0	0000 0000	00	0
0.5	0001 1010	1A	26
1.0	0011 0100	34	52
1.5	0101 0000	50	80
2.0	0110 1010	6A	106
2.5	1000 0111	87	135
3.0	1010 0010	A2	162
3.5	1011 1101	BC	188
4.0	1101 0110	C6	198
4.5	1111 1000	F8	248
5.0	1111 1111	FF	255

ตารางที่ 6.3 แสดงผลการทดลองใช้ไอซี ADC0809

### 6.3 การทดลองวัดสัญญาณดิจิทัลจากวงจรใช้งานจริง

เมื่อทดลองทั้งสองส่วนแรกแล้ว นำวงจรวัดกำลังไฟฟ้าและวงจร A/D convertor มาต่อรวมกัน โดยนำสัญญาณเอาต์พุตที่เป็นสัญญาณอนาลอกของวงจรวัดกำลังไฟฟ้ามาต่อกับอินพุตของวงจร A/D convertor แล้วต่อโหลดที่มีกำลังไฟฟ้าขนาดต่างๆ กัน และวัดสัญญาณเอาต์พุตที่เป็นสัญญาณดิจิทัล ผลการทดลองแสดงดังตารางที่ 6.4

#### 6.4 การทดลองเขียนโปรแกรม

การพัฒนาโปรแกรมที่ใช้สำหรับควบคุมไมโครโปรเซสเซอร์แบ่งการเขียนออกเป็นส่วนๆ ได้ดังนี้

1. การเขียนโปรแกรมเซตค่าจอ LCD และทดลองแสดงผล การเขียนโปรแกรมในส่วนนี้จะแสดงเป็นไฟล์ซาร์ทที่ 6.5

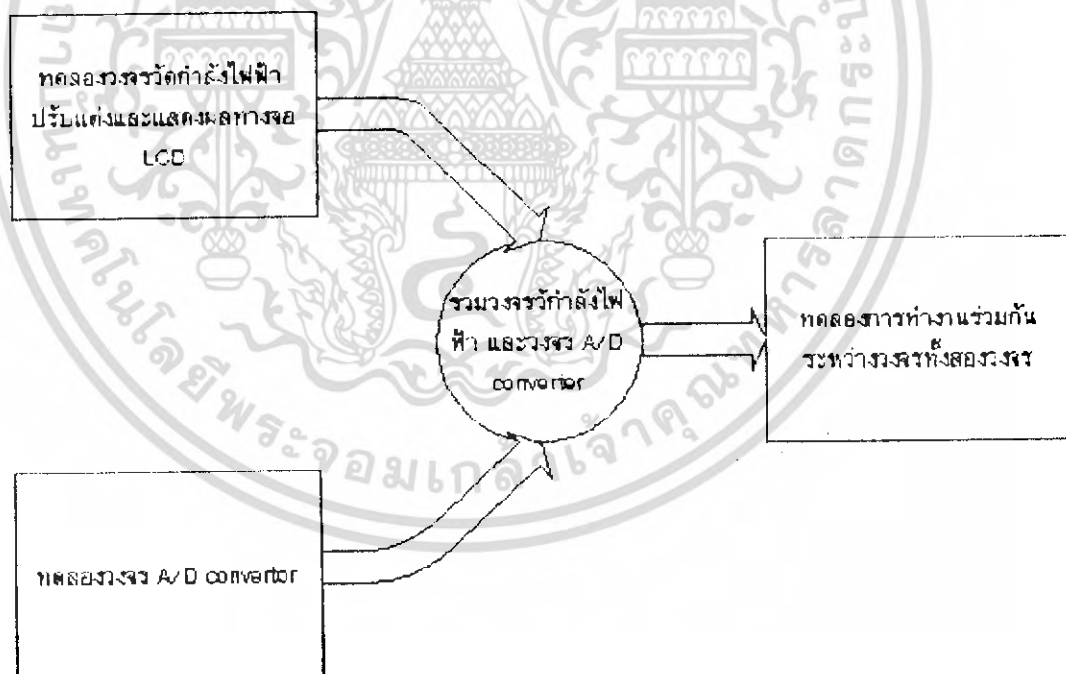
2. การเขียนโปรแกรมอินเตอร์เฟสไอซี ADC0809 กับไมโครโปรเซสเซอร์แสดงขั้นตอนการเขียนเป็นไฟล์ซาร์ทที่ 6.6

3. การเขียนโปรแกรมคำนวณข้อมูลแสดงนำแสดงที่จอ LCD แสดงขั้นตอนการเขียนเป็นไฟล์ซาร์ทที่ 6.7



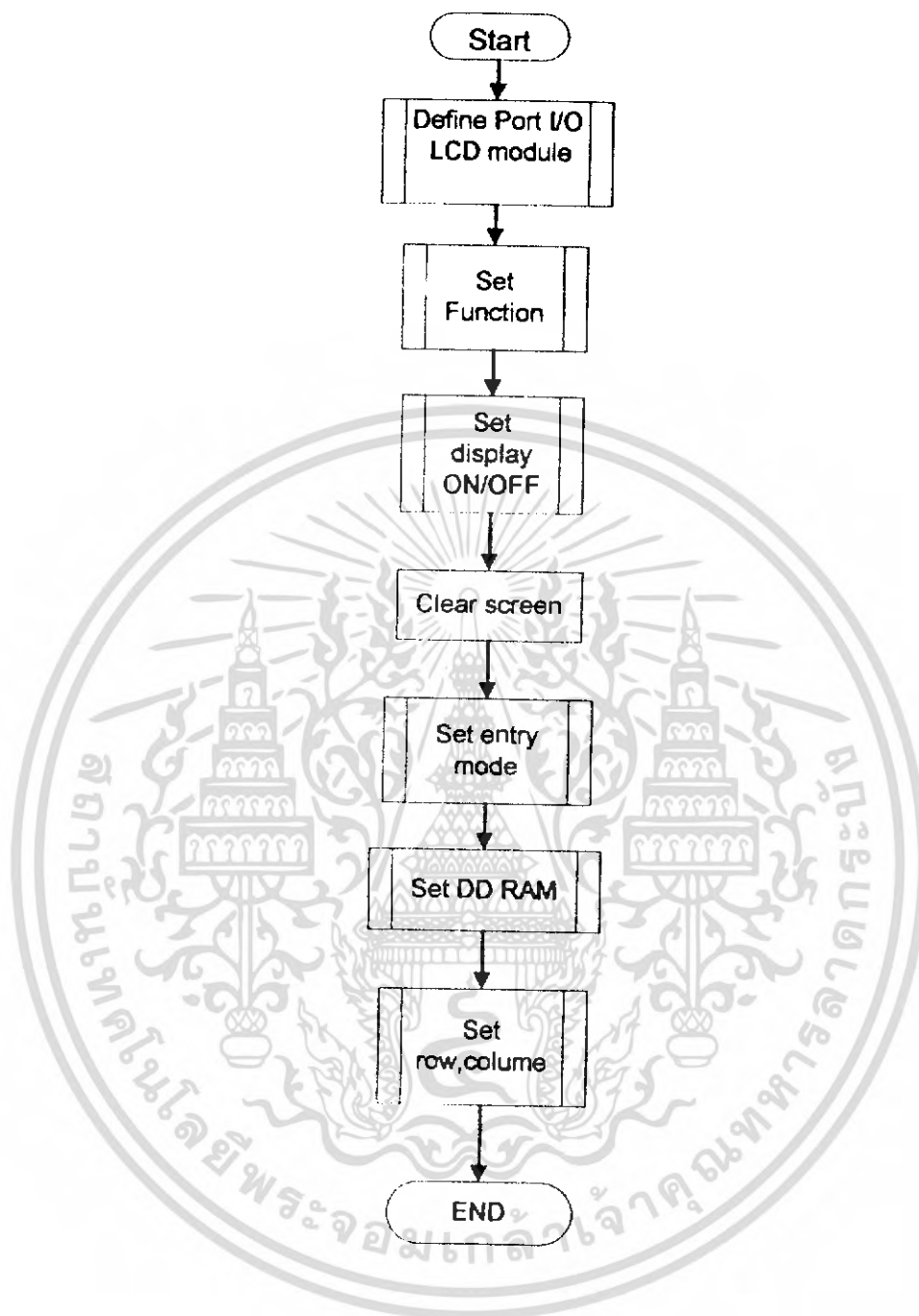
โหลดที่ใช้ทดลอง	กำลังไฟฟ้าจริง (watt)	Output	HEX to DEC
NO load	0	0000 0000	0
โหลดไฟ	40	0000 0100	4
Over head	380	0100 1111	79
กาดม้ไฟฟ้า	670	1000 1011	140
โหลดไฟ+Over head	420	0101 ----	-
โหลดไฟ+กาดม้ไฟฟ้า	710	1001 0111	151
กาดม้ไฟฟ้า+Over head	1050	1100 1101	205
โหลดไฟ+กาดม้ไฟฟ้า+ Over head	1090	1100 1111	207

ตารางที่ 6.4 แสดงผลการทดลองวงจรใช้งานจริง



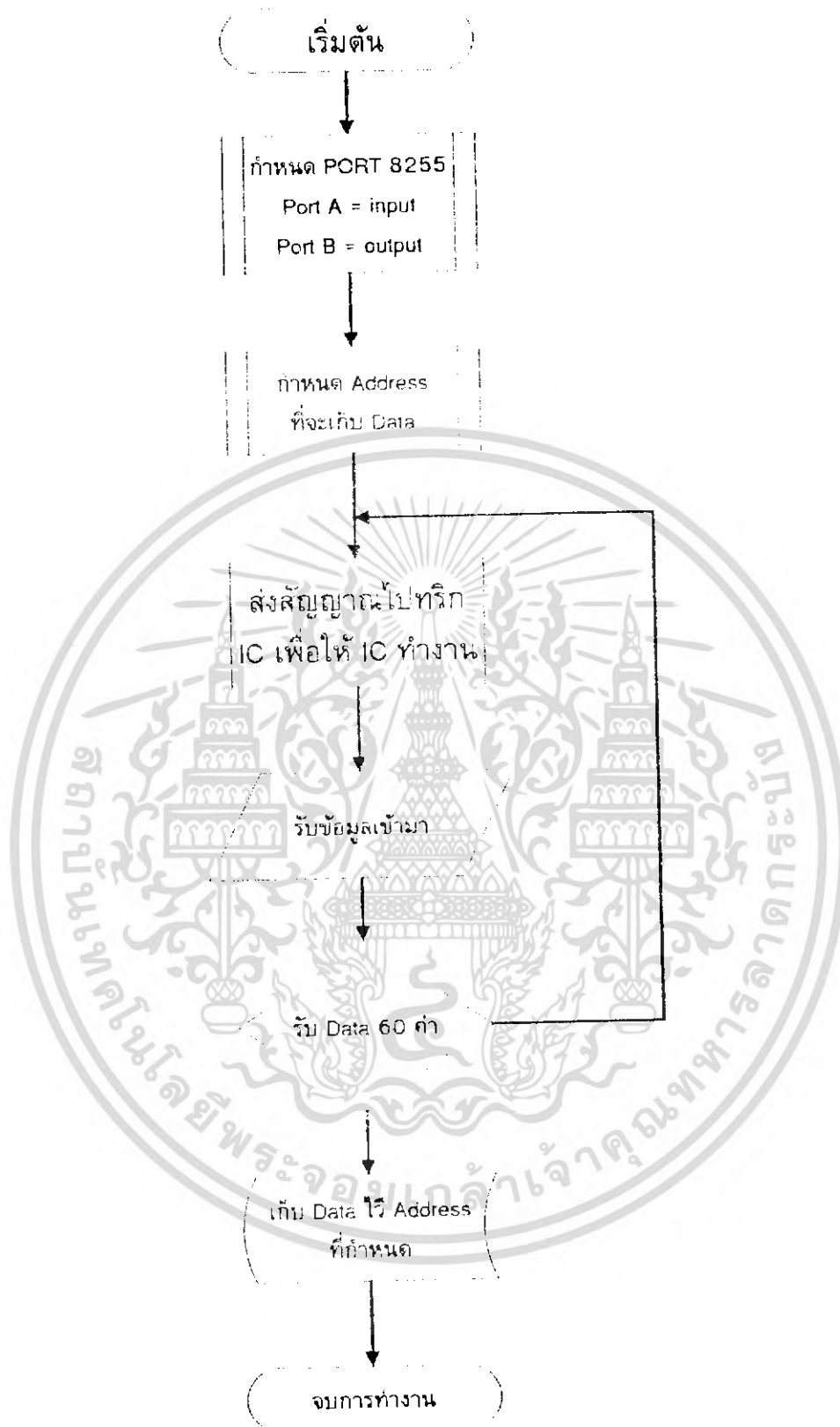
รูปที่ 6.4 แสดงบล็อกไดอะแกรมการทดลองวงจรวัดกำลังไฟฟ้า

เอกสารนี้เป็นเอกสารที่สงวนไว้สำหรับการใช้งานเพื่อการศึกษาเท่านั้น ไม่อนุญาตให้นำไปใช้ประโยชน์ด้านการค้า  
ไม่ว่ากรณีใดๆ ทั้งสิ้น อีกทั้งห้ามมิให้ดัดแปลงเนื้อหา และต้องอ้างอิงถึงเจ้าของเอกสารทุกครั้งที่มีการนำไปใช้



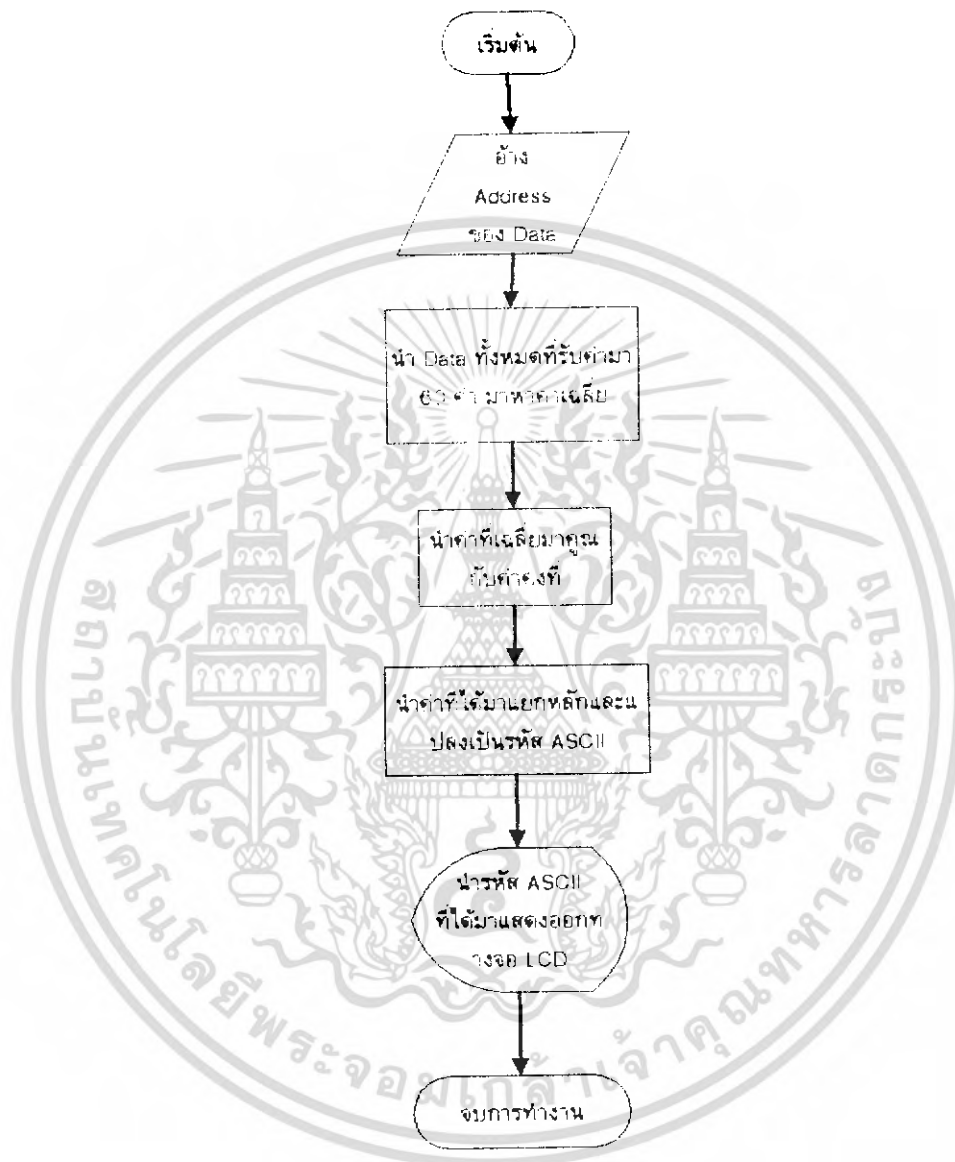
รูปที่ 6.5 แสดงบล็อกไดอะแกรมแสดงการเซ็ค่าของจอ LCD

เอกสารนี้เป็นเอกสารที่สงวนไว้สำหรับการใช้งานเพื่อการศึกษาเท่านั้น ไม่อนุญาตให้นำไปใช้ประโยชน์ด้านการค้า ไม่ว่าจะกรณีใดๆ ทั้งสิ้น อีกทั้งห้ามมิให้ดัดแปลงเนื้อหา และต้องอ้างอิงถึงเจ้าของเอกสารทุกครั้งที่มีการนำไปใช้



รูปที่ 6.6 แสดงการอินเตอร์เฟสและรับค่าจาก A/D converter

เอกสารนี้เป็นเอกสารที่สงวนไว้สำหรับการใช้งานเพื่อการศึกษาเท่านั้น ไม่อนุญาตให้นำไปใช้ประโยชน์ด้านการค้า ไม่ว่ากรณีใดๆ ทั้งสิ้น อีกทั้งห้ามมิให้ดัดแปลงเนื้อหา และต้องอ้างอิงถึงเจ้าของเอกสารทุกครั้งที่มีการนำไปใช้



รูปที่ 6.7 แสดงการคำนวณข้อมูลเพื่อแสดงผลทาง LCD

เอกสารนี้เป็นเอกสารที่สงวนไว้สำหรับการใช้งานเพื่อการศึกษาเท่านั้น ไม่อนุญาตให้นำไปใช้ประโยชน์ด้านการค้า ไม่ว่าจะกรณีใดๆ ทั้งสิ้น อีกทั้งห้ามมิให้ดัดแปลงเนื้อหา และต้องอ้างอิงถึงเจ้าของเอกสารทุกครั้งที่มีการนำไปใช้

## บทที่ 7

### บทสรุปและข้อเสนอแนะ

#### 7.1 บทสรุป

จากโครงการดิจิทัลวัตต์มิเตอร์นี้ได้แบ่งส่วนของโครงการออกเป็น 2 ส่วน ในส่วนแรกเป็นส่วนของวงจรวัดกำลังไฟฟ้า โดยจากการทดลองในส่วนนี้ผลที่ปรากฏออกมาั้นไม่ดีเท่าที่ควรเนื่องจากวงจรเดิมนั้นผลิตขึ้นมาใช้งานเฉพาะด้าน แต่เมื่อนำมาประยุกต์ใช้กับไมโครโปรเซสเซอร์แล้วจำเป็นต้องมีการปรับแต่งวงจรอีกพอสมควร ในส่วนที่สองเป็นส่วนควบคุมโดยใช้ไมโครโปรเซสเซอร์ เบอร์ Z80180 โดย RUN อยู่ในบอร์ดรุ่น CP-JR 180 เป็นบอร์ดที่ง่ายต่อการเขียนโปรแกรมเพราะสามารถเขียนโปรแกรมผ่านเครื่องคอมพิวเตอร์ได้โดยตรง โดยส่วนรวมแล้วผลจากการทดลองเป็นที่น่าพอใจในระดับหนึ่ง ผลจากการพัฒนาโครงการนี้ทำให้โครงการชิ้นนี้สามารถวัดค่ากำลังไฟฟ้าได้ 1500 วัตต์ และสามารถเก็บค่ากำลังไฟฟ้าไว้ในเมมโมรีเพื่อประมวลผลแสดงออกทางจอ LCD ค่าที่แสดงออกทางจอ LCD เป็นค่าของกำลังไฟฟ้าของเครื่องใช้ไฟฟ้าที่ใช้ในขณะนั้น

#### 7.2 ข้อเสนอแนะ

เนื่องจากโครงการนี้ใช้ไมโครโปรเซสเซอร์เป็นส่วนควบคุม ดังนั้นจึงสามารถพัฒนาโครงการนี้ได้ง่าย เพียงแต่ปรับปรุงที่ซอฟต์แวร์หรือทางฮาร์ดแวร์เพียงเล็กน้อย ตัวอย่างการพัฒนาโปรเจกต์นี้สามารถนำค่าที่วัดได้มาประมวลผลและแสดงค่าเป็นกำลังไฟฟ้าต่อชั่วโมง หรือแสดงเป็น Unit ได้ โดยเปลี่ยนที่ซอฟต์แวร์เท่านั้น ตัวอย่างที่สำคัญในการพัฒนา คือ การต่อกับเครื่องส่งเพื่อส่งแสดงผลในระยะไกล โดยอาจจะส่งแบบ FSK

## หนังสืออ้างอิง

1. ไมตรี วรวิจิตรยากุล, “ทฤษฎีวงจรไฟฟ้า เล่ม 3” ,ภาควิชาไฟฟ้า วิทยาลัยเทคนิคฉะเชิงเทรา,กันยายน 2530
2. อธิคม ฤกษ์บุตร, “วิเคราะห์ วงจรไฟฟ้า 1” ,โครงการตำราวิชาการ วิทยาลัยมหานคร, 2521
3. จิติ หนูแก้ว, “ไมโครโปรเซสเซอร์ และการออกแบบเบื้องต้น” ,ซีเอ็ดยูเคชั่น,2521
4. อ.นรินทร์ เนาวประทีป, “ออปแอมป์” ,สำนักพิมพ์ฟิสิกส์เซ็นเตอร์ .



เอกสารนี้เป็นเอกสารที่สงวนไว้สำหรับการใช้งานเพื่อการศึกษาเท่านั้น ไม่อนุญาตให้นำไปใช้ประโยชน์ด้านการค้า  
ไม่ว่ากรณีใดๆ ทั้งสิ้น อีกทั้งห้ามมิให้ดัดแปลงเนื้อหา และต้องอ้างอิงถึงเจ้าของเอกสารทุกครั้งที่มีการนำไปใช้

ภาคผนวก ก  
โปรแกรมที่ใช้งาน

```

;*****
;*****PROGRAM WATT-METER*****
;*****

;=====SET AUTO RUN=====

EFFF                                ORG    0EFFFH
EFFF 96A3                          AUTORUN: DFB  96H,0A3H

0080 =   IN_A      EQU   080H      ;Port A =>Input port
0081 =   OUT_B     EQU   081H      ;Port B =>Output port
0082 =   OUT_C     EQU   082H      ;Port C =>Output port
0083 =   CLT_PORT  EQU   083H      ;Control port

00C0 =   CTRL_LCD  EQU   0C0H      ;Control LCD port
00C2 =   WRDATA   EQU   0C2H      ;Write LCD port
00C4 =   RDFLAG   EQU   0C4H      ;Read flag port

F000   CPU  'Z180.TBL'
F000   HOF  'INT8'

9000                                ORG   9000H
9000   DATA: DFS  60D              ;Store 60 data
903C   WAT:  DFS  5H                ;Decimal store 5 colume
9041 2057617474   QQ:  DFB  ' Watt'
9046   BUF1: DFS  2H
9048 00   ZEN:  DFB  00H
9049   TOTAL:DFS  2H                ;Sumation 60 data
904B 00   AVG:  DFB  00H            ;Average data
904C   CAL:   DFS  2H                ;Multiple constant
904E 202020204B   TABLE1: DFB  ' KINGMONGKUT  '
9062 2020202020   TABLE2: DFB  ' Institute  '
9076 2020205465   TABLE3: DFB  ' Techonology of  '
908A 2020202020   TABLE4: DFB  ' LADKRABANG  '

```

เอกสารนี้เป็นเอกสารลิขสิทธิ์ของมหาวิทยาลัยเทคโนโลยีพระจอมเกล้าลาดกระบัง การใช้งานโดยไม่ได้รับอนุญาตจะถือว่าผิดกฎหมาย  
ไม่ว่ากรณีใดๆ ทั้งสิ้น อีกทั้งห้ามมิให้ดัดแปลงเนื้อหา และต้องอ้างอิงถึงเจ้าของเอกสารทุกครั้งที่มีการนำไปใช้

```

909E 2020202020    TABLE5: DFB    ' >DIGITAL< '
90B2 2020202020    TABLE6: DFB    ' WATT-METER '
90C6 20504F5745    TABLES: DFB    ' POWER:--'7EH

```

```

8000                ORG    8000H
8000 CD2281    MAIN:    CALL  DISPLAY1
8003 CD1080    MAIN1:   CALL  GET
8006 CD4180                CALL  CALC1
8009 CD3E81                CALL  DISPLAY2
800C CD0380                CALL  MAIN1
800F DF                RST   18H

```

\*\*\*\*\* PROGRAM INTERFACE IC A/D0809 \*\*\*\*\*

```

8010 C5        GET:    PUSH  BC
8011 210090    LD      HL,DATA    ;Address store data
8014 063C        LD      B,60D
8016 3E90        LD      A,90H    ;Set port D7 D6 D5 D4 D3 D2
D1 D0
8018 D383        OUT    (CLT_PORT),A    ; 1 0 0 1 0 0
0 0
801A CD3480    LOOP:   CALL  DELAY
801D 3E00        LD      A,00H
801F D381        OUT    (OUT_B),A
8021 CD3480        CALL  DELAY
8024 3EFF        LD      A,0FFH
8026 D381        OUT    (OUT_B),A
8028 CD3480        CALL  DELAY
802B AF        XOR   A
802C DB80        IN   A,(IN_A)
802E 77        LD   (HL),A
802F 23        INC  HL

```

เอกสารนี้เป็น 8030 10E8 นไว้สำหรับการใช้ DJNZ การ LOOP เท่านั้น ไม่อนุญาตให้นำไปใช้ประโยชน์ด้านการค้า  
ไม่ว่ากรณีใดๆ ทั้งสิ้น อีกทั้งห้ามมิให้ดัดแปลงเนื้อหา และต้องอ้างอิงถึงเจ้าของเอกสารทุกครั้งที่มีการนำไปใช้

```

8032 C1          POP  BC
8033 C9          RET

8034 08    DELAY:  EX   AF,AF'
8035 D9          EXX
8036 210004     LD   HL,0400H
8039 2B    LAY1:  DEC   HL
803A 7D          LD   A,L
803B B4          OR   H
803C 20FB       JR   NZ,LAY1
803E 08         EX   AF,AF'
803F D9         EXX
8040 C9         RET

;>>>PROGRAM CALCULATE DATA<<<
8041 C5    CALC1:  PUSH  BC
8042 210000     LD   HL,0000H
8045 224990     LD   (TOTAL),HL
8048 1600       LD   D,00H
804A DD210090   LD   IX,DATA
804E 063C       LD   B,60D
8050 DD7E00     L1:   LD   A,(IX+0)    ;Summation data->data+60
8053 5F         LD   E,A
8054 19         ADD  HL,DE
8055 DD23       INC  IX
8057 10F7       DJNZ L1
8059 224990     LD   (TOTAL),HL
805C 16FF       LD   D,0FFH    ;DE = 2'comprement of 60
D
805E 3E3C       LD   A,60D
8060 2F         CPL
8061 5F         LD   E,A
8062 13         INC  DE

```

เอกสารนี้เป็นเอกสารสงวนไว้สำหรับการใช้เพื่อการศึกษาเท่านั้น ไม่อนุญาตให้นำไปใช้ประโยชน์ด้านการค้า  
ไม่ว่ากรณีใดๆ ทั้งสิ้น อีกทั้งห้ามมิให้ดัดแปลงเนื้อหา และต้องอ้างอิงถึงเจ้าของเอกสารทุกครั้งที่มีการนำไปใช้

8063 06FF		LD	B,0FFH	
8065 04	L2:	INC	B	;Averge
8066 19		ADD	HL,DE	
8067 38FC		JR	C,L2	
8069 78		LD	A,B	
806A 324B90		LD	(AVG),A	
806D 47	M6:	LD	B,A	
806E 0E06		LD	C,06H	
8070 ED4C		MLT	BC	;Avg Multiple with 6
8072 ED434C90	EX:	LD	(CAL),BC	
8076 DD2A4C90		LD	IX,(CAL)	
807A 11F0D8		LD	DE,0D8F0H	;2'comprement 10,000D
807D 3E00		LD	A,00H	
807F 324890		LD	(ZEN),A	
8082 06FF		LD	B,0FFH	
8084 DD224690	X1:	LD	(BUF1),IX	
8088 04		INC	B	
8089 DD19		ADD	IX,DE	
808B 38F7		JR	C,X1	
808D 78		LD	A,B	
808E C630		ADD	A,30H	;Ascii code converion
8090 FE30		CP	30H	
8092 CC0281		CALL	Z,MARK	
8095 323C90		LD	(WAT),A	
8098 DD2A4690		LD	IX,(BUF1)	
809C 06FF		LD	B,0FFH	
809E 1118FC		LD	DE,0FC18H	
80A1 DD224690	X2:	LD	(BUF1),IX	
80A5 04		INC	B	
80A6 DD19		ADD	IX,DE	
80A8 38F7		JR	C,X2	
80AA 78		LD	A,B	
80AB C630		ADD	A,30H	;Ascii code converion

เอกสารนี้เป็นเอกสารสงวนไว้สำหรับการใช้ ADD เพื่อ A,30H เท่านั้น ;Ascii code converion

ไม่ว่ากรณีใดๆ ทั้งสิ้น อีกทั้งห้ามมิให้ดัดแปลงเนื้อหา และต้องอ้างอิงถึงเจ้าของเอกสารทุกครั้งที่มีการนำไปใช้

80AD FE30	CP	30H	
80AF CC1481	CALL	Z,ZERO	
80B2 C40C81	CALL	NZ,UNMARK	
80B5 323D90	LD	(WAT+1),A	
80B8 DD2A4690	LD	IX,(BUF1)	
80BC 06FF	LD	B,OFFH	
80BE 119CFF	LD	DE,OFF9CH	
80C1 DD224690 X3:	LD	(BUF1),IX	
80C5 04	INC	B	
80C6 DD19	ADD	IX,DE	
80C8 38F7	JR	C,X3	
80CA 78	LD	A,B	
80CB C630	ADD	A,30H	;Ascii code converion
80CD FE30	CP	30H	
80CF CC1481	CALL	Z,ZERO	
80D2 C40C81	CALL	NZ,UNMARK	
80D5 323E90	LD	(WAT+2),A	
80D8 DD2A4690	LD	IX,(BUF1)	
80DC 06FF	LD	B,OFFH	
80DE 11F6FF	LD	DE,OFFF6H	
80E1 DD224690 X4:	LD	(BUF1),IX	
80E5 04	INC	B	
80E6 DD19	ADD	IX,DE	
80E8 38F7	JR	C,X4	
80EA 78	LD	A,B	
80EB C630	ADD	A,30H	;Ascii code converion
80ED FE30	CP	30H	
80EF CC1481	CALL	Z,ZERO	
80F2 C40C81	CALL	NZ,UNMARK	
80F5 323F90	LD	(WAT+3),A	
80F8 3A4690	LD	A,(BUF1)	
80FB C630	ADD	A,30H	;Ascii code converion
80FD 324090	LD	(WAT+4),A	

เอกสารนี้เป็นเอกสารลิขสิทธิ์สำหรับการใช้: LD ที่ออก (WAT+4),A ไม่นอนุญาตให้นำไปใช้ประโยชน์ด้านการค้า  
ไม่ว่ากรณีใดๆ ทั้งสิ้น อีกทั้งห้ามมิให้ดัดแปลงเนื้อหา และต้องอ้างอิงถึงเจ้าของเอกสารทุกครั้งที่มีการนำไปใช้

```

8100 C1          POP  BC
8101 C9          RET

8102 F5          MARK: PUSH  AF
8103 3E01        LD    A,01H
8105 324890      LD    (ZEN),A
8108 F1          POP  AF
8109 3E20        LD    A,20H
810B C9          RET

810C F5          UNMARK: PUSH  AF
810D 3E00        LD    A,00H
810F 324890      LD    (ZEN),A
8112 F1          POP  AF
8113 C9          RET

8114 F5          ZERO: PUSH  AF
8115 3A4890      LD    A,(ZEN)
8118 FE01        CP    01H
811A 2802        JR    Z,ZE0
811C F1          POP  AF
811D C9          RET

811E F1          ZE0: POP  AF
811F 3E20        LD    A,20H
8121 C9          RET

```

;>>>DISPLAY PROGRAM<<<

```

8122 CD4F81      DISPLAY1:  CALL  INITLCD
8125 CD8881      CALL  SHOW1
8128 CD9481      CALL  SHOW2

```

เอกสารนี้เป็นเอกสารตัวอย่างสำหรับการใช้ CALL DELAY1 เท่านั้น ไม่อนุญาตให้นำไปใช้ประโยชน์ด้านการค้า  
ไม่ว่ากรณีใดๆ ทั้งสิ้น อีกทั้งห้ามมิให้ดัดแปลงเนื้อหา และต้องอ้างอิงถึงเจ้าของเอกสารทุกครั้งที่มีการนำไปใช้

```

812E CDA081      CALL  SHOW3
8131 CDAC81      CALL  SHOW4
8134 CDFA81      CALL  DELAY1
8137 CDB881      CALL  SHOW5
813A CDC481      CALL  SHOW6
813D C9          RET

813E CD4F81  DISPLAY2:CALL  INITLCD
8141 3E01      LD    A,01H
8143 D3C0      OUT   (CTRL_LCD),A
8145 CD6C81      CALL  CHK_BUSY
8148 CDD081      CALL  SHOWS
814B CDE581      CALL  SHW_CAL
814E C9          RET

814F 3E38  INITLCD: LD    A,38H      ;FUNCTION SET (00111000B)
8151 D3C0      OUT   (CTRL_LCD),A
8153 CD6C81      CALL  CHK_BUSY
8156 3E0C      LD    A,0CH      ;DISPLAY ON/OFF (00001100
B)
8158 D3C0      OUT   (CTRL_LCD),A
815A CD6C81      CALL  CHK_BUSY
815D 3E01      LD    A,01H
815F D3C0      OUT   (CTRL_LCD),A      ;CLEAR SCREEN
8161 CD6C81      CALL  CHK_BUSY
8164 3E06      LD    A,06H
8166 D3C0      OUT   (CTRL_LCD),A      ;ENTRY MODE SET
8168 CD6C81      CALL  CHK_BUSY
816B C9          RET

816C DBC4  CHK_BUSY:IN  A,(RDFLAG)
816E CB7F      BIT   7,A      ;Chack Bit '7'
8170 20FA  NZ,CHK_BUSY;Bit7 = '0' to RET

```

เอกสารนี้เป็นเอกสารต้นฉบับที่จัดทำขึ้นไว้สำหรับการใช้งาน JR เพื่อการ NZ,CHK\_BUSY;Bit7 = '0' to RET โยชน์ด้านการค้า  
ไม่ว่ากรณีใดๆ ทั้งสิ้น อีกทั้งห้ามมิให้ดัดแปลงเนื้อหา และต้องอ้างอิงถึงเจ้าของเอกสารทุกครั้งที่มีการนำไปใช้

```

8172 C9          RET

8173 CBFF  SET_DDRAM:SET  7,A          ;SET bit7='1'
8175 D3C0          OUT  (CTRL_LCD),A
8177 CD6C81       CALL  CHK_BUSY
817A C9          RET

817B 0E14  WRLINE: LD  C,14H          ;Number of columne 20D
817D 7E          LINE: LD  A,(HL)
817E D3C2          OUT  (WRDATA),A
8180 CD6C81       CALL  CHK_BUSY
8183 23          INC  HL
8184 0D          DEC  C
8185 20F6        JR   NZ,LINE
8187 C9          RET

8188 214E90  SHOW1: LD  HL,TABLE1
818B 3E00          LD  A,00H          ;Address Row1 Colume1 = '00H'
818D CD7381       CALL  SET_DDRAM
8190 CD7B81       CALL  WRLINE
8193 C9          RET

8194 216290  SHOW2: LD  HL,TABLE2
8197 3E40          LD  A,40H          ;Address Row2 Colume2 = '40H'
8199 CD7381       CALL  SET_DDRAM
819C CD7B81       CALL  WRLINE
819F C9          RET

81A0 217690  SHOW3: LD  HL,TABLE3
81A3 3E00          LD  A,00H          ;Address Row2 Colume2 = '40H'
81A5 CD7381       CALL  SET_DDRAM
81A8 CD7B81       CALL  WRLINE
81AB C9          RET

```

เอกสารนี้เป็นเอกสารที่สงวนไว้สำหรับการใช้งานเพื่อการศึกษาเท่านั้น ไม่อนุญาตให้นำไปใช้ประโยชน์ด้านการค้า  
ไม่ว่ากรณีใดๆ ทั้งสิ้น อีกทั้งห้ามมิให้ดัดแปลงเนื้อหา และต้องอ้างอิงถึงเจ้าของเอกสารทุกครั้งที่มีการนำไปใช้

```

81AC 218A90 SHOW4: LD HL, TABLE4
81AF 3E40 LD A, 40H ;Address Row2 Colum2 = '40H'
81B1 CD7381 CALL SET_DDRAM
81B4 CD7B81 CALL WRLINE
81B7 C9 RET
81B8 219E90 SHOW5: LD HL, TABLE5
81BB 3E00 LD A, 00H ;Address Row2 Colum2 = '40H'
81BD CD7381 CALL SET_DDRAM
81C0 CD7B81 CALL WRLINE
81C3 C9 RET

81C4 21B290 SHOW6: LD HL, TABLE6
81C7 3E40 LD A, 40H ;Address Row2 Colum2 = '40H'
81C9 CD7381 CALL SET_DDRAM
81CC CD7B81 CALL WRLINE
81CF C9 RET
81D0 21C690 SHOWS: LD HL, TABLES
81D3 3E00 LD A, 00H ;Address Row1 Colum1 = '00H'
81D5 CD7381 CALL SET_DDRAM
81D8 0E0B LD C, 0BH
81DA 7E WWR1: LD A, (HL)
81DB D3C2 OUT (WRDATA), A
81DD CD6C81 CALL CHK_BUSY
81E0 23 INC HL
81E1 0D DEC C
81E2 20F6 JR NZ, WWR1
81E4 C9 RET

81E5 213C90 SHW_CAL: LD HL, WAT
81E8 3E0A LD A, 0AH
81EA CD7381 CALL SET_DDRAM
81ED 0E0A LD C, 0AH

```

เอกสารนี้เป็นเอกสารสงวนไว้สำหรับ WR1: LD A, (HL) เท่านั้น ไม่อนุญาตให้นำไปใช้ประโยชน์ด้านการค้า  
ไม่ว่ากรณีใดๆ ทั้งสิ้น อีกทั้งห้ามมิให้ดัดแปลงเนื้อหา และต้องอ้างอิงถึงเจ้าของเอกสารทุกครั้งที่มีการนำไปใช้

```

81F0 D3C2      OUT  (WRDATA),A
81F2 CD6C81    CALL  CHK_BUSY
81F5 23        INC  HL
81F6 0D        DEC  C
81F7 20F6      JR   NZ,WR1
81F9 C9        RET

```

```

81FA C5      DELAY1:  PUSH  BC
81FB D5      PUSH  DE
81FC 0601    LD   B,01H
81FE 0E0A    DEL1:LD  C,0AH
8200 16CC    DEL2:LD  D,0CCH
8202 1EEE    DEL3: LD  E,0EEH
8204 1D      DEL4: DEC  E
8205 20FD    JR   NZ,DEL4
8207 15      DEC  D
8208 20F8    JR   NZ,DEL3
820A 0D      DEC  C
820B 20F3    JR   NZ,DEL2
820D 05      DEC  B
820E 20EE    JR   NZ,DEL1
8210 D1      POP  DE
8211 C1      POP  BC
8212 C9      RET

```

0000

END

เอกสารนี้เป็นเอกสารที่สงวนไว้สำหรับการใช้งานเพื่อการศึกษาเท่านั้น ไม่อนุญาตให้นำไปใช้ประโยชน์ด้านการค้า  
ไม่ว่ากรณีใดๆ ทั้งสิ้น อีกทั้งห้ามมิให้ดัดแปลงเนื้อหา และต้องอ้างอิงถึงเจ้าของเอกสารทุกครั้งที่มีการนำไปใช้

EFFE AUTORUN	904B AVG	9046 BUF1
904C CAL	8041 CALC1	816C CHK_BUSY
0083 CLT_PORT	00C0 CTRL_LCD	9000 DATA
81FE DEL1	8200 DEL2	8202 DEL3
8204 DEL4	8034 DELAY	81FA DELAY1
8122 DISPLAY1	813E DISPLAY2	8072 EX
8010 GET	814F INITLCD	0080 IN_A
8050 L1	8065 L2	8039 LAY1
817D LINE	801A LOOP	806D M6
8000 MAIN	8003 MAIN1	8102 MARK
0081 OUT_B	0082 OUT_C	9041 QQ
00C4 RDFLAG	8173 SET_DDRAM	8188 SHOW1
8194 SHOW2	81A0 SHOW3	81AC SHOW4
81B8 SHOW5	81C4 SHOW6	81D0 SHOWS
81E5 SHW_CAL	904E TABLE1	9062 TABLE2
9076 TABLE3	908A TABLE4	909E TABLE5
90B2 TABLE6	90C6 TABLES	9049 TOTAL
810C UNMARK	903C WAT	81EF WR1
00C2 WRDATA	817B WRLINE	81DA WWR1
8084 X1	80A1 X2	80C1 X3
80E1 X4	811E ZEO	9048 ZEN
8114 ZERO		

เอกสารนี้เป็นเอกสารที่สงวนไว้สำหรับการใช้งานเพื่อการศึกษาเท่านั้น ไม่อนุญาตให้นำไปใช้ประโยชน์ด้านการค้า  
ไม่ว่ากรณีใดๆ ทั้งสิ้น อีกทั้งห้ามมิให้ดัดแปลงเนื้อหา และต้องอ้างอิงถึงเจ้าของเอกสารทุกครั้งที่มีการนำไปใช้





## ADC0808, ADC0809 8-Bit $\mu$ P Compatible A/D Converters With 8-Channel Multiplexer

### General Description

The ADC0808, ADC0809 data acquisition component is a monolithic CMOS device with an 8-bit analog-to-digital converter, 8-channel multiplexer and microprocessor compatible control logic. The 8-bit A/D converter uses successive approximation as the conversion technique. The converter features a high impedance chopper stabilized comparator, a 256R voltage divider with analog switch tree and a successive approximation register. The 8-channel multiplexer can directly access any of 8 single-ended analog signals.

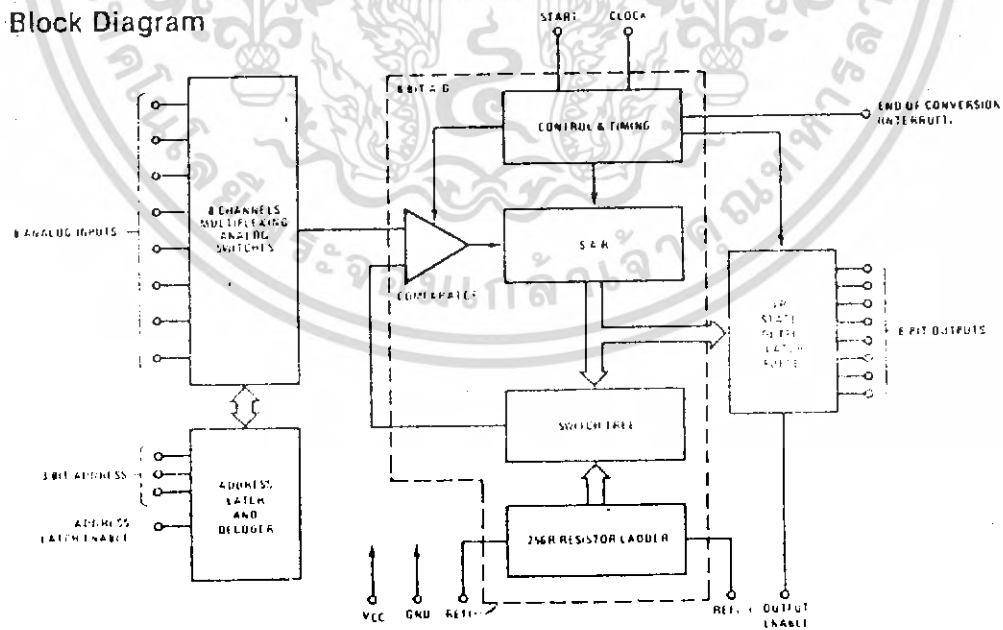
The device eliminates the need for external zero and full-scale adjustments. Easy interfacing to microprocessors is provided by the latched and decoded multiplexer address inputs and latched TTL TRI-STATE<sup>®</sup> outputs.

The design of the ADC0808, ADC0809 has been optimized by incorporating the most desirable aspects of several A/D conversion techniques. The ADC0808, ADC0809 offers high speed, high accuracy, minimal temperature dependence, excellent long-term accuracy and repeatability, and consumes minimal power. These features make this device ideally suited to applications from process and machine control to consumer and automotive applications. For 16-channel multiplexer with common output (sample/hold port) see ADC0811 data sheet. (See AN-247 for more information.)

### Features

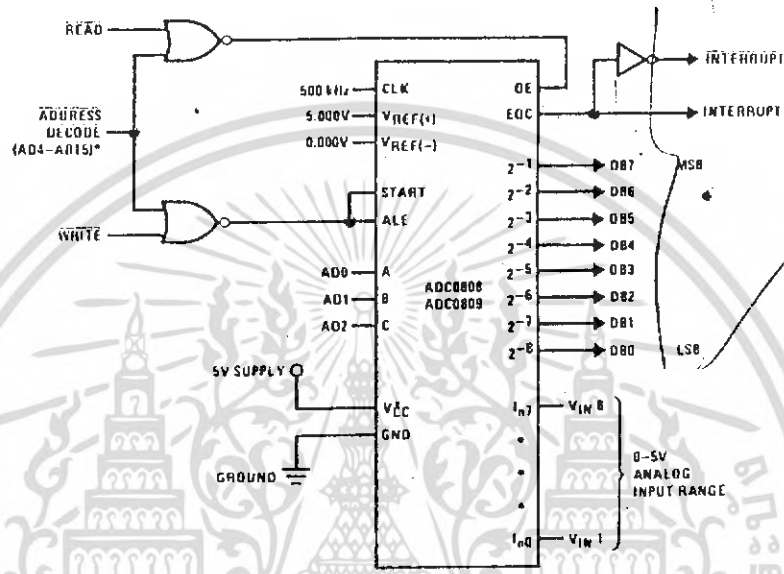
- Resolution — 8-bits
- Total unadjusted error —  $\pm 1/2$  LSB and  $\pm 1$  LSB
- No missing codes
- Conversion time — 100  $\mu$ s
- Single supply — 5 V<sub>DC</sub>
- Operates ratiometrically or with 5 V<sub>DC</sub> or analog span adjusted voltage reference
- 8-channel multiplexer with latched control logic
- Easy interface to all microprocessors, or operates "stand alone"
- Outputs meet T<sup>2</sup>L voltage level specifications
- 0V to 5V analog input voltage range with single 5V supply
- No zero or full-scale adjust required
- Standard hermetic or molded 28-pin DIP package
- Temperature range — 40°C to +85°C or —55°C to +125°C
- Low power consumption — 15 mW
- Latched TRI-STATE<sup>®</sup> output

### Block Diagram



TRI-STATE<sup>®</sup> is a registered trademark of National Semiconductor Corp.

## Typical Application



\* Address latches needed for 8085 and SCMP interfacing the ADC0808 to a microprocessor

MICROPROCESSOR INTERFACE TABLE

PROCESSOR	READ	WRITE	INTERRUPT (COMMENT)
8080	MEMR	MEMW	INTR (Thru RST Circuit)
8085	RD	WR	INTR (Thru RST Circuit)
Z-80	RD	WR	INT (Thru RST Circuit, Mode 0)
SCMP	NRDS	NWDS	SA (Thru Sense A)
6800	VMA #2 RW	VMA #2 RW	INCA or INCB (Thru PIA)

## Ordering Information

TEMPERATURE RANGE		- 40°C to + 85°C		- 55°C to + 125°C
Error	± 1/2 Bit Unadjusted	ADC0808CCN	ADC0808CCJ	ADC0808CJ
	± 1 Bit Unadjusted	ADC0809CCN		
Package Outline		N28A Molded DIP	J28A Hermetic DIP	J28A Hermetic DIP

เอกสารนี้เป็นเอกสารที่สงวนไว้สำหรับการใช้งานเพื่อการศึกษาเท่านั้น ไม่อนุญาตให้นำไปใช้ประโยชน์ด้านการค้า ไม่ว่าจะกรณีใดๆ ทั้งสิ้น อีกทั้งห้ามมิให้ดัดแปลงเนื้อหา และต้องอ้างอิงถึงเจ้าของเอกสารทุกครั้งที่มีการนำไปใช้

## Electrical Characteristics (Continued)

Digital Levels and DC Specifications: ADC0808CJ  $4.5V \leq V_{CC} \leq 5.5V$ ,  $-55^{\circ}C \leq T_A \leq +125^{\circ}C$  unless otherwise noted  
 ADC0808CCJ, ADC0808CCN, and ADC0809CCN  $4.75 \leq V_{CC} \leq 5.25V$ ,  $-40^{\circ}C \leq T_A \leq +85^{\circ}C$  unless otherwise noted

Parameter	Conditions	Min	Typ	Max	Units
<b>DATA OUTPUTS AND EOC (INTERRUPT)</b>					
$V_{OUT(1)}$	Logical "1" Output Voltage	$I_O = -360 \mu A$	$V_{CC}-0.4$		V
$V_{OUT(0)}$	Logical "0" Output Voltage	$I_O = 1.6 \text{ mA}$		0.45	V
$V_{OUT(0)}$	Logical "0" Output Voltage EOC	$I_O = 1.2 \text{ mA}$		0.45	V
$I_{OUT}$	TRI-STATE <sup>®</sup> Output Current	$V_O = 5V$ $V_O = 0$	• -3	3	$\mu A$ $\mu A$

## Electrical Characteristics

Timing Specifications:  $V_{CC} = V_{REF(+)} = 5V$ ,  $V_{REF(-)} = GND$ ,  $t_r = t_f = 20 \text{ ns}$  and  $T_A = 25^{\circ}C$  unless otherwise noted.

Symbol	Parameter	Conditions	Min	Typ	Max	Units
$t_{WS}$	Minimum Start Pulse Width	(Figure 5)		100	200	ns
$t_{WALE}$	Minimum ALE Pulse Width	(Figure 5)		100	200	ns
$t_s$	Minimum Address Set-Up Time	(Figure 5)		25	50	ns
$t_H$	Minimum Address Hold Time	(Figure 5)		25	50	ns
$t_D$	Analog MUX Delay Time From ALE	$R_S = 0\Omega$ (Figure 5)		1	2.5	$\mu s$
$t_{HL}, t_{HD}$	OE Control to Q Logic State	$C_L = 50 \text{ pF}$ , $R_L = 10k$ (Figure 8)		125	250	ns
$t_{1H}, t_{10H}$	OE Control to Hi-Z	$C_L = 10 \text{ pF}$ , $R_L = 10k$ (Figure 8)		125	250	ns
$t_c$	Conversion Time	$f_c = 640 \text{ kHz}$ , (Figure 5) (Note 7)	90	100	116	$\mu s$
$f_c$	Clock Frequency		10	640	1280	kHz
$t_{EOC}$	EOC Delay Time	(Figure 5)	0		8 + 2 $\mu s$	Clock Periods
$C_{IN}$	Input Capacitance	At Control Inputs		10	15	pF
$C_{OUT}$	TRI-STATE <sup>®</sup> Output Capacitance	At TRI-STATE <sup>®</sup> Outputs. (Note 12)		10	15	pF

Note 1: Absolute maximum ratings are those values beyond which the life of the device may be impaired.

Note 2: All voltages are measured with respect to GND, unless otherwise specified.

Note 3: A Zener diode exists, internally, from  $V_{CC}$  to GND and has a typical breakdown voltage of 7 V<sub>DC</sub>.

Note 4: Two on-chip diodes are tied to each analog input which will forward conduct for analog input voltages one diode drop below ground or one diode drop greater than the  $V_{CC}$  supply. The spec allows 100 mV forward bias of either diode. This means that as long as the analog  $V_{IN}$  does not exceed the supply voltage by more than 100 mV, the output code will be correct. To achieve an absolute 0 V<sub>DC</sub> to 5 V<sub>DC</sub> input voltage range will therefore require a minimum supply voltage of 4.900 V<sub>DC</sub> over temperature variations, initial tolerance and loading.

Note 5: Total unadjusted error includes offset, full scale, linearity, and multiplexer errors. See Figure 3. None of these A/Ds requires a zero or full scale adjust. However, if an all zero code is desired for an analog input other than 0 V, or if a narrow full-scale span exists (for example, 0.5 V to 4.5 V full-scale) the reference voltages can be adjusted to achieve this. See Figure 13.

Note 6: Comparator input current is a bias current into or out of the chopper stabilized comparator. The bias current varies directly with clock frequency and has little temperature dependence (Figure 6). See paragraph 4.2.

Note 7: The outputs of the data register are updated one clock cycle before the rising edge of EOC.

เอกสารนี้เป็นเอกสารที่สงวนไว้สำหรับการใช้งานเพื่อการศึกษาเท่านั้น ไม่อนุญาตให้นำไปใช้ประโยชน์ด้านการค้า  
 ไม่ว่ากรณีใดๆ ทั้งสิ้น อีกทั้งห้ามมิให้ดัดแปลงเนื้อหา และต้องอ้างอิงถึงเจ้าของเอกสารทุกครั้งที่มีการนำไปใช้

### Absolute Maximum Ratings (Notes 1 and 2)

Supply Voltage ( $V_{CC}$ ) (Note 3)	6.5V
Voltage of Any Pin Except Control Inputs	-0.3V to ( $V_{CC} + 0.3V$ )
Voltage at Control Inputs (START, OE, CLOCK, ALE, ADD A, ADD B, ADD C)	-0.3V to +15V
Storage Temperature Range	-65°C to +150°C
Package Dissipation at $T_A = 25^\circ\text{C}$	875 mW
Lead Temperature (Soldering, 10 seconds)	300°C

### Operating Ratings (Notes 1 and 2)

Temperature Range (Note 1)	$T_{MIN} \leq T_A \leq T_{MAX}$
ADC0808CJ	$-55^\circ\text{C} \leq T_A \leq +125^\circ\text{C}$
ADC0808CCJ, ADC0808CCN, ADC0809CCN	$-40^\circ\text{C} \leq T_A \leq +85^\circ\text{C}$
Range of $V_{CC}$ (Note 1)	$4.5 V_{DC} \text{ to } 6.0 V_{DC}$

### Electrical Characteristics

Converter Specifications:  $V_{CC} = 5 V_{DC} = V_{REF(+)} = V_{REF(-)} = \text{GND}$ ,  $T_{MIN} \leq T_A \leq T_{MAX}$  and  $f_{CLK} = 640 \text{ kHz}$  unless otherwise stated.

Parameter	Conditions	Min	Typ	Max	Units
ADC0808 Total Unadjusted Error (Note 5)	25°C $T_{MIN}$ to $T_{MAX}$			$\pm 1/2$	LSB
				$\pm 3/4$	LSB
ADC0809 Total Unadjusted Error (Note 5)	0°C to 70°C $T_{MIN}$ to $T_{MAX}$			$\pm 1$	LSB
				$\pm 1 1/4$	LSB
Input Resistance	From Ref(+) to Ref(-)	1.0	2.5		k $\Omega$
Analog Input Voltage Range	(Note 4) V(+) or V(-)	$V_{CC} - 0.10$		$V_{CC} + 0.10$	$V_{DC}$
$V_{REF(+)}$ Voltage, Top of Ladder	Measured at Ref(+)		$V_{CC}$	$V_{CC} + 0.1$	V
$\frac{V_{REF(+)} + V_{REF(-)}}{2}$ Voltage, Center of Ladder		$V_{CC}/2 - 0.1$	$V_{CC}/2$	$V_{CC}/2 + 0.1$	V
$V_{REF(-)}$ Voltage, Bottom of Ladder	Measured at Ref(-)	-0.1	0		V
Comparator Input Current	$f_{CLK} = 640 \text{ kHz}$ , (Note 6)	-2	$\pm 0.5$	2	$\mu\text{A}$

### Electrical Characteristics

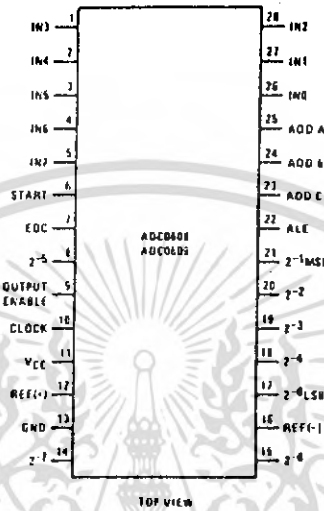
Digital Levels and DC Specifications: ADC0808CJ  $4.5V \leq V_{CC} \leq 5.5V$ ,  $-55^\circ\text{C} \leq T_A \leq +125^\circ\text{C}$  unless otherwise noted  
ADC0808CCJ, ADC0808CCN, and ADC0809CCN  $4.75 \leq V_{CC} \leq 5.25V$ ,  $-40^\circ\text{C} \leq T_A \leq +85^\circ\text{C}$  unless otherwise noted

Parameter	Conditions	Min	Typ	Max	Units
<b>ANALOG MULTIPLEXER</b>					
$I_{OFF(+)}$	OFF Channel Leakage Current $V_{CC} = 5V$ , $V_{IN} = 5V$ , $T_A = 25^\circ\text{C}$ $T_{MIN}$ to $T_{MAX}$		10	200 1.0	nA $\mu\text{A}$
$I_{OFF(-)}$	OFF Channel Leakage Current $V_{CC} = 5V$ , $V_{IN} = 0$ , $T_A = 25^\circ\text{C}$ $T_{MIN}$ to $T_{MAX}$	-200 -1.0	-10		nA $\mu\text{A}$
<b>CONTROL INPUTS</b>					
$V_{IH(1)}$	Logical "1" Input Voltage		$V_{CC} - 1.5$		V
$V_{IL(0)}$	Logical "0" Input Voltage			1.5	V
$I_{IH(1)}$	Logical "1" Input Current (The Control Inputs) $V_{IN} = 15V$			1.0	$\mu\text{A}$
$I_{IL(0)}$	Logical "0" Input Current (The Control Inputs) $V_{IN} = 0$	-1.0			$\mu\text{A}$
$I_{CC}$	Supply Current $f_{CLK} = 640 \text{ kHz}$		0.3	3.0	mA

เอกสารนี้เป็นเอกสารที่สงวนไว้สำหรับการใช้งานเพื่อการศึกษาเท่านั้น ไม่อนุญาตให้นำไปใช้ประโยชน์ด้านการค้า  
ไม่ว่ากรณีใดๆ ทั้งสิ้น อีกทั้งห้ามมิให้ตัดแปลงเนื้อหา และต้องอ้างอิงถึงเจ้าของเอกสารทุกครั้งที่มีการนำไปใช้

## Connection Diagram

Dual-In-Line Package



## Timing Diagram

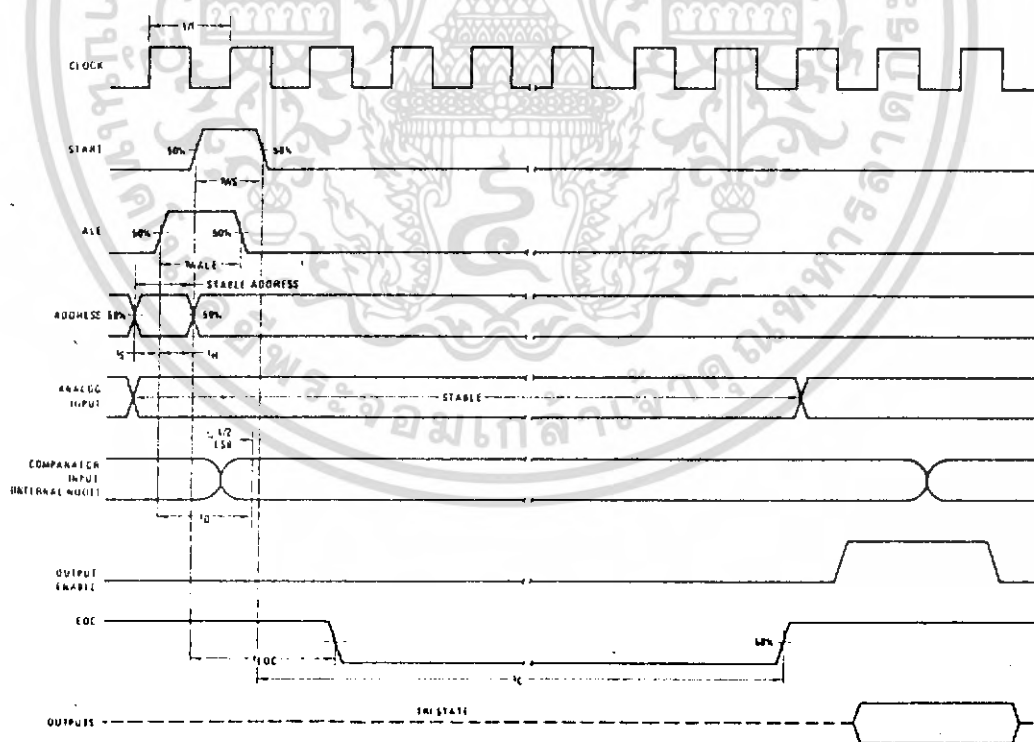


FIGURE 5

เอกสารนี้เป็นเอกสารที่สงวนไว้สำหรับการใช้งานเพื่อการศึกษาเท่านั้น ไม่อนุญาตให้นำไปใช้ประโยชน์ด้านการค้า ไม่ว่าจะกรณีใดๆ ทั้งสิ้น อีกทั้งห้ามมิให้ดัดแปลงเนื้อหา และต้องอ้างอิงถึงเจ้าของเอกสารทุกครั้งที่มีการนำไปใช้

**ORDERING INFORMATION**

Device	Temperature Range	Package
MC1495L	0°C to +70°C	Ceramic DIP
MC1595L	-55°C to +125°C	Ceramic DIP

**MC1495L  
MC1595L**

**Specifications and Applications Information**

**WIDEBAND MONOLITHIC  
FOUR-QUADRANT MULTIPLIER**

Designed for uses where the output is a linear product of two input voltages. Maximum versatility is assured by allowing the user to select the level shift method. Typical applications include: multiply, divide, square root, mean square, phase detector, frequency doubler, balanced modulator/demodulator, electronic gain control.

\*When used with an operational amplifier.

- Wide Bandwidth
- Excellent Linearity - 1% max Error on X-Input, 2% max Error on Y-Input - MC1595L
- Excellent Linearity - 2% max Error on X-Input, 4% max Error on Y-Input - MC1495L
- Adjustable Scale Factor, K
- Excellent Temperature Stability
- Wide Input Voltage Range - ± 10 Volts
- ± 15 Volt Operation

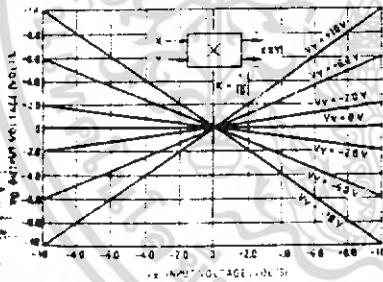
**LINEAR FOUR-QUADRANT  
MULTIPLIER**

**SILICON MONOLITHIC  
INTEGRATED CIRCUIT**

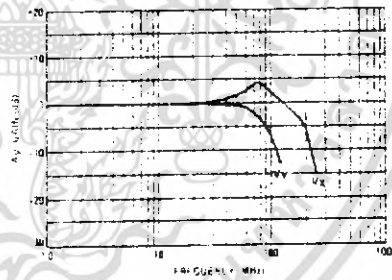


**L SUFFIX,  
CERAMIC PACKAGE  
CASE 632-08**

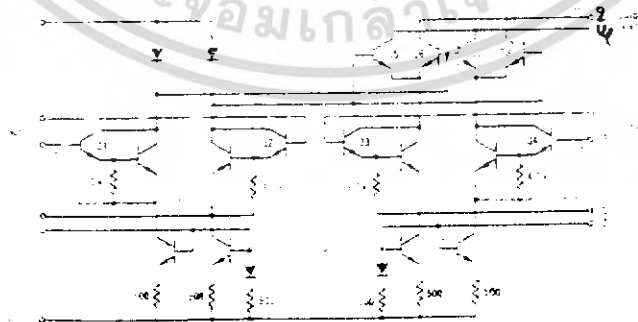
**FIGURE 1 - FOUR-QUADRANT  
MULTIPLIER TRANSFER CHARACTERISTIC**



**FIGURE 2 - TRANSCONDUCTANCE BANDWIDTH**



**FIGURE 3 - CIRCUIT SCHEMATIC**



MOTOROLA LINEAR/INTERFACE DEVICES

เอกสารนี้เป็นเอกสารที่สงวนไว้สำหรับการใช้งานเพื่อการศึกษาเท่านั้น ไม่อนุญาตให้นำไปใช้ประโยชน์ด้านการค้า  
ไม่ว่ากรณีใดๆ ทั้งสิ้น อีกทั้งห้ามมิให้ดัดแปลงเนื้อหา และต้องอ้างอิงถึงเจ้าของเอกสารทุกครั้งที่มีการนำไปใช้

# MC1495L, MC1595L

ELECTRICAL CHARACTERISTICS ( $V^+ = +32\text{ V}$ ,  $V^- = -15\text{ V}$ ,  $T_A = +25^\circ\text{C}$ ,  $I_g = I_{I3} = 1.0\text{ mA}$ ,  $R_X = R_Y = 15\text{ k}\Omega$ ,  $R_L = 11\text{ k}\Omega$  unless otherwise noted)

Characteristic	Figure	Symbol	Min	Typ	Max	Unit
Linearity: Output Error in Percent of Full Scale: $T_A = +25^\circ\text{C}$ $-10 < V_X < -10\text{ (}V_Y = -10\text{ V)}$ $-10 < V_Y < -10\text{ (}V_X = -10\text{ V)}$ $T_A = 0\text{ to }+70^\circ\text{C}$ $-10 < V_X < -10\text{ (}V_Y = -10\text{ V)}$ $-10 < V_Y < -10\text{ (}V_X = -10\text{ V)}$ $T_A = -55^\circ\text{C to }-125^\circ\text{C}$ $-10 < V_X < -10\text{ (}V_Y = -10\text{ V)}$ $-10 < V_Y < -10\text{ (}V_X = -10\text{ V)}$	5	ERX ERY	—	$\pm 1.0$ $\pm 0.5$ $\pm 2.0$ $\pm 1.0$ $\pm 3.0$ $\pm 0.75$ $\pm 1.5$	$\pm 2.0$ $\pm 1.0$ $\pm 4.0$ $\pm 2.0$ — — — —	%
Squaring Mode Error: Accuracy in Percent of Full Scale After Offset and Scale Factor Adjustment: $T_A = +25^\circ\text{C}$ $T_A = 0\text{ to }+70^\circ\text{C}$ $T_A = -55^\circ\text{C to }+125^\circ\text{C}$	5	ESQ	—	$\pm 0.75$ $\pm 0.5$ $\pm 1.0$ $\pm 0.75$	— — — —	%
Scale Factor (Adjustable): $(K = \frac{2R_L}{I_g R_X R_Y})$	—	K	—	0.1	—	—
Input Resistance ( $f = 20\text{ Hz}$ )	MC1495 MC1595 MC1495 MC1595	R <sub>INX</sub> R <sub>INY</sub>	—	30 35 20 35	—	M $\Omega$
Differential Output Resistance ( $f = 20\text{ Hz}$ )	—	R <sub>O</sub>	—	300	—	k $\Omega$
Input Bias Current $I_{bX} = \frac{I_{g1} + I_{g2}}{2}$ , $I_{bY} = \frac{I_{g3} + I_{g4}}{2}$	MC1495 MC1595 MC1495 MC1595	I <sub>bX</sub> I <sub>bY</sub>	—	2.0 2.0 2.0 2.0	12 8.0 12 8.0	$\mu\text{A}$
Input Offset Current: $ I_{g1} - I_{g2} $ $ I_{g3} - I_{g4} $	MC1495 MC1595 MC1495 MC1595	I <sub>IOX</sub> I <sub>I0Y</sub>	—	0.4 0.2 0.4 0.2	2.0 1.0 2.0 1.0	$\mu\text{A}$
Average Temperature Coefficient of Input Offset Current: ( $T_A = 0\text{ to }+70^\circ\text{C}$ ) ( $T_A = -55^\circ\text{C to }+125^\circ\text{C}$ )	MC1495 MC1595	$\text{TC}_{I_{IO}}$	—	2.5 2.5	— —	nA/ $^\circ\text{C}$
Output Offset Current $ I_{14} - I_{12} $	MC1495 MC1595	I <sub>OO</sub>	—	20 10	100 50	$\mu\text{A}$
Average Temperature Coefficient of Output Offset Current: ( $T_A = 0\text{ to }+70^\circ\text{C}$ ) ( $T_A = -55^\circ\text{C to }+125^\circ\text{C}$ )	MC1495 MC1595	$\text{TC}_{I_{OO}}$	—	20 20	— —	nA/ $^\circ\text{C}$
Frequency Response 3.0 dB Bandwidth, $R_L = 11\text{ k}\Omega$ 3.0 dB Bandwidth, $R_L = 50\text{ }\Omega$ (Transconductance Bandwidth) 3 $\times$ Relative Phase Shift Between $V_X$ and $V_Y$ 1% Absolute Error Due to Input-Output Phase Shift	9,10	BW <sub>3dB</sub> TBW <sub>3 dB</sub> $f_c$ $f_r$	—	3.0 80 750 30	— — — —	MHz MHz kHz kHz
Common Mode Input Swing (Either Input)	MC1495 MC1595	CMV	$\pm 10.5$ $\pm 11.5$	$\pm 12$ $\pm 13$	— —	V <sub>dc</sub>
Common Mode Gain (Either Input)	MC1495 MC1595	ACM	-40 -50	-50 -60	— —	dB
Common Mode Quiescent Output Voltage	—	V <sub>O1</sub> V <sub>O2</sub>	—	21 21	— —	V <sub>dc</sub>
Differential Output Voltage Swing Capability	9	V <sub>C</sub>	—	$\pm 14$	—	V <sub>peak</sub>
Power Supply Sensitivity	12	S <sup>+</sup> S <sup>-</sup>	—	5.0 10	— —	mV/V
Power Supply Current	11	I <sub>CC</sub>	—	6.0	7.0	mA
DC Power Dissipation	11	P <sub>C</sub>	—	135	170	mW

MOTOROLA LINEAR INTERFACE DEVICES

เอกสารนี้เป็นเอกสารที่สงวนไว้สำหรับการใช้งานเพื่อการศึกษาเท่านั้น ไม่อนุญาตให้นำไปใช้ประโยชน์ด้านการค้า  
ไม่ว่ากรณีใดๆ ทั้งสิ้น อีกทั้งห้ามมิให้ดัดแปลงเนื้อหา และต้องอ้างอิงถึงเจ้าของเอกสารทุกครั้งที่มีการนำไปใช้



# MC1495L, MC1595L

## TEST CIRCUITS (continued)

FIGURE 6 - INPUT AND OUTPUT CURRENT

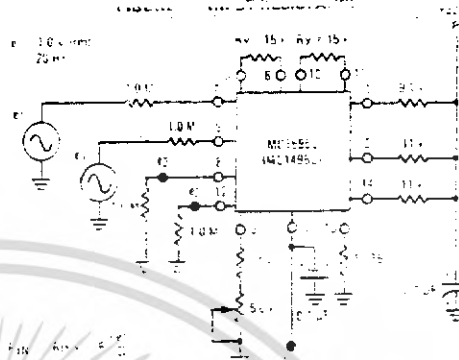
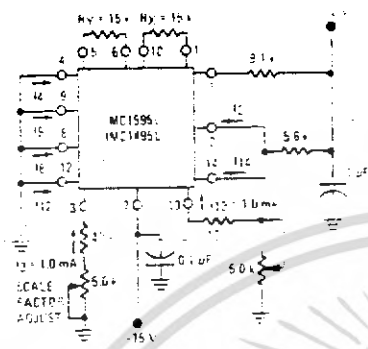


FIGURE 8 - OUTPUT RESISTANCE

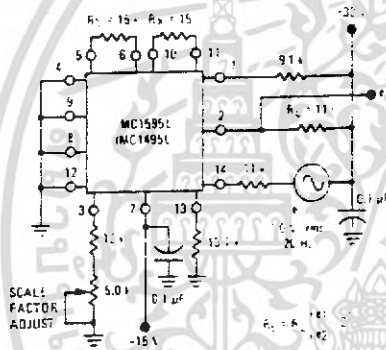


FIGURE 9 - BANDWIDTH ( $R_L = 11k\Omega$ )

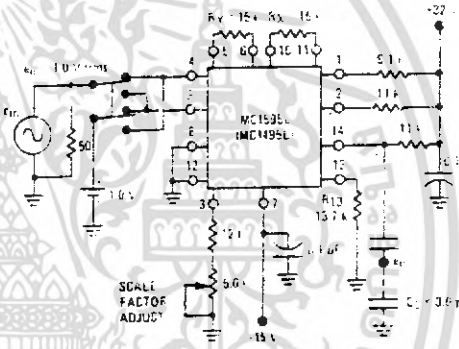


FIGURE 10 - BANDWIDTH ( $R_L = 50\Omega$ )

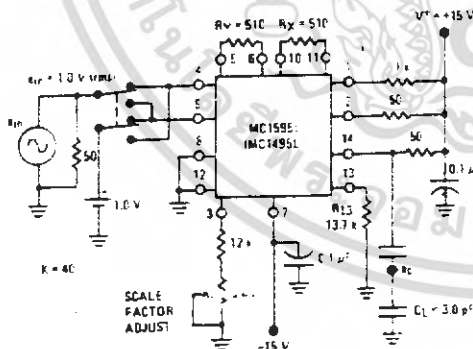
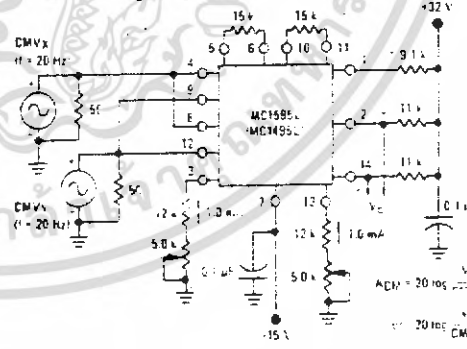


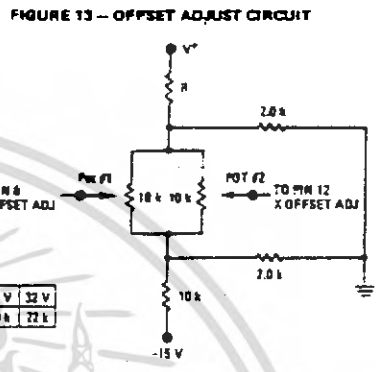
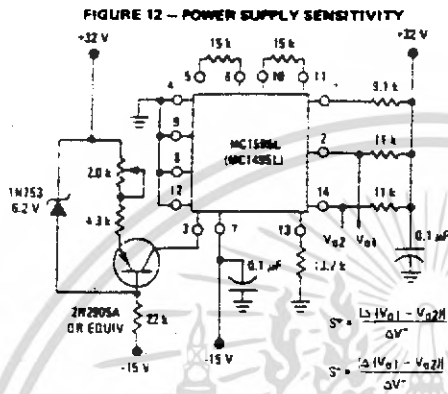
FIGURE 11 - COMMON-MODE GAIN and COMMON-MODE INPUT SWING



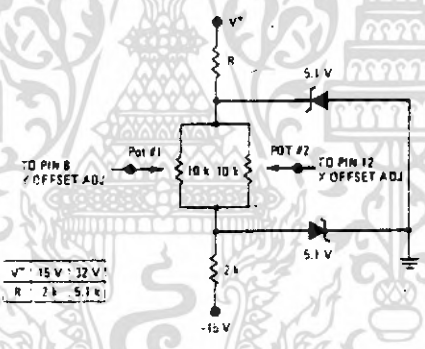
เอกสารนี้เป็นเอกสารที่สงวนไว้สำหรับการใช้งานเพื่อการศึกษาเท่านั้น ไม่อนุญาตให้拿去ใช้ประโยชน์ด้านการค้า  
ไม่ว่ากรณีใดๆ ทั้งสิ้น อีกทั้งห้ามมิให้ดัดแปลงเนื้อหา และต้องอ้างอิงถึงเจ้าของเอกสารทุกครั้งที่มีการนำไปใช้

MC1495L, MC1595L

TEST CIRCUITS (continued)



**FIGURE 14 - OFFSET ADJUST CIRCUIT (ALTERNATE)**



เอกสารนี้เป็นเอกสารที่สงวนไว้สำหรับการใช้งานเพื่อการศึกษาเท่านั้น ไม่อนุญาตให้拿去ใช้ประโยชน์ด้านการค้า ไม่ว่ากรณีใดๆ ทั้งสิ้น อีกทั้งห้ามมิให้ดัดแปลงเนื้อหา และต้องอ้างอิงถึงเจ้าของเอกสารทุกครั้งที่มีการนำไปใช้

MC1495L, MC1595L

TYPICAL CHARACTERISTICS

FIGURE 15 - LINEARITY versus TEMPERATURE

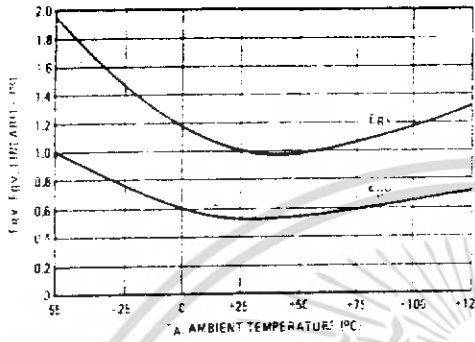


FIGURE 16 - SCALE FACTOR versus TEMPERATURE

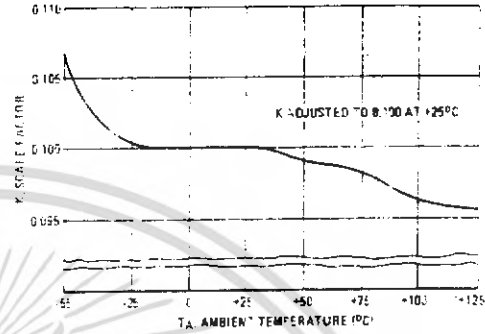


FIGURE 17 - ERROR CONTRIBUTED BY INPUT DIFFERENTIAL AMPLIFIER

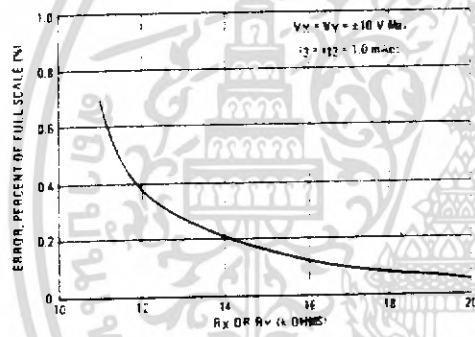


FIGURE 18 - ERROR CONTRIBUTED BY INPUT DIFFERENTIAL AMPLIFIER

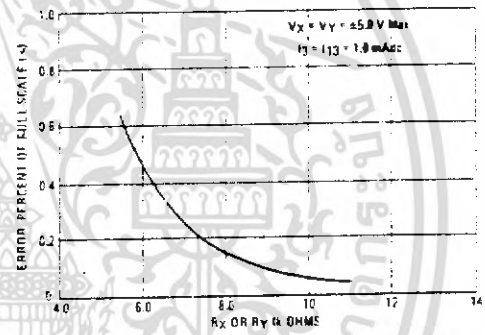
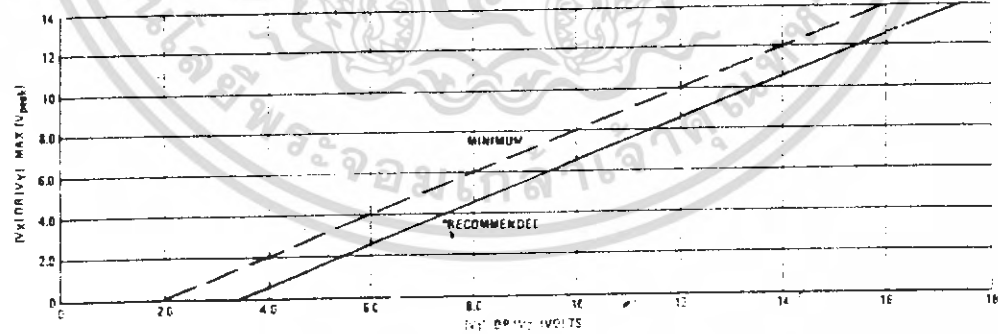


FIGURE 19 - MAXIMUM ALLOWABLE INPUT VOLTAGE versus VOLTAGE AT PIN 1 OR PIN 7



MOTOROLA LINEAR INTERFACE DEVICES

เอกสารนี้เป็นเอกสารที่สงวนไว้สำหรับการใช้งานเพื่อการศึกษาเท่านั้น ไม่อนุญาตให้นำไปใช้ประโยชน์ด้านการค้า ไม่ว่ากรณีใดๆ ทั้งสิ้น อีกทั้งห้ามมิให้ดัดแปลงเนื้อหา และต้องอ้างอิงถึงเจ้าของเอกสารทุกครั้งที่มีการนำไปใช้

# MC1495L, MC1595L

## OPERATION AND APPLICATIONS INFORMATION

### 1. Theory of Operation

The MC1595 (MC1495) is a monolithic, four-quadrant multiplier which operates on the principle of variable transconductance. The detailed theory of operation is covered in Application Note AN-489, Analysis and Basic Operation of the MC1595. The result of this analysis is that the differential output current of the multiplier is given by

$$I_A - I_B = 4I_T \frac{2V_X V_Y}{R_X R_Y I_T}$$

where  $I_A$  and  $I_B$  are the currents into pins 14 and 2, respectively, and  $V_X$  and  $V_Y$  are the X and Y input voltages at the multiplier input terminals.

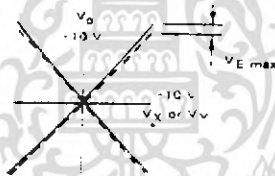
### 2. Design Considerations

#### 2.1 General

The MC1595 (MC1495) permits the designer to tailor the multiplier to a specific application by proper selection of external components. External components may be selected to optimize a given parameter (e.g. bandwidth) which may in turn restrict another parameter (e.g. maximum output voltage swing). Each important parameter is discussed in detail in the following paragraphs.

#### 2.1.1 Linearity, Output Error, $E_{RX}$ or $E_{RY}$

Linearity error is defined as the maximum deviation of output voltage from a straight line transfer function. It is expressed as error in percent of full scale (see figure below).



For example, if the maximum deviation,  $V_{E(max)}$ , is  $\pm 100$  mV and the full scale output is 10 volts, then the percentage error is

$$Eq. \frac{V_{E(max)}}{V_{O(max)}} \times 100 = \frac{100 \cdot 10^{-3}}{10} \times 100 = \pm 1.0\%$$

Linearity error may be measured by either of the following methods:

- Using an X-Y plotter with the circuit shown in Figure 5, obtain plots for  $I_A$  and  $I_B$  similar to the one shown above.
- Use the output of a nuller. This method nulls the never shifted output of the multiplier with the original input. The peak output of the null operational amplifier will be equal to the error voltage,  $V_{E(max)}$ .

One source of linearity error can arise from large signal non-linearity in the X and Y input differential amplifiers. To avoid introducing error from this source, the emitter degeneration resistors  $R_X$  and  $R_Y$  must be chosen large enough so that non-linear base-emitter voltage variation can be ignored. Figures 17 and 18 show the circuit equations for this source of non-linearity in terms of the values of  $R_X$  and  $R_Y$  with an operating current of 1.0 mA in each side of the differential amplifiers (i.e.,  $I_{13} = I_{14} = 1.0$  mA).

#### 2.1.2 3-dB Bandwidth and Phase Shift

Bandwidth is primarily determined by the load resistors and the stray multiplier output capacitance and/or the operational amplifier used to level shift the output. If wideband operation is desired, low value load resistors and/or a wideband operational amplifier should be used. Stray output capacitance will depend to a large extent on circuit layout.

Phase shift in the multiplier circuit results from two sources: phase shift common to both X and Y channels (due to the load resistor-output capacitance pole mentioned above) and relative phase shift between X and Y channels (due to differences in transmittance in the X and Y channels). If the input to output phase shift is only  $0.6^\circ$ , the output product of two sine waves will exhibit a vector error of 1%. A  $3^\circ$  relative phase shift between  $V_X$  and  $V_Y$  results in a vector error of 5%.

#### 2.1.3 Maximum Input Voltage

$V_X(max)$ ,  $V_Y(max)$  maximum input voltages must be such that

$$V_X(max) < I_{13} R_X$$

$$V_Y(max) < I_{14} R_Y$$

Exceeding this value will drive one side of the input amplifier to "cutoff" and cause non-linear operation.

Currents  $I_{13}$  and  $I_{14}$  are chosen at a convenient value (observing power dissipation limitation) between 0.5 mA and 2.0 mA, approximately 1.0 mA. Then  $R_X$  and  $R_Y$  can be determined by considering the input signal handling requirements.

$$\text{For } V_X(max) = V_Y(max) = 10 \text{ volts:}$$

$$R_X = R_Y = \frac{10 \text{ V}}{1.0 \text{ mA}} = 10 \text{ k}\Omega$$

The equation  $I_A - I_B = \frac{2V_X V_Y}{R_X R_Y I_T}$

derived from  $I_A - I_B = \frac{2V_X V_Y}{R_X + R_Y} \cdot \frac{2kT}{qI_T}$

with the assumption  $R_X \gg \frac{2kT}{qI_T}$  and  $R_Y \gg \frac{2kT}{qI_T}$

$A = T_A = 25^\circ\text{C}$  and  $I_{13} = I_{14} = 1 \text{ mA}$

$$\frac{2kT}{qI_T} = \frac{2kT}{qI_T} = 52 \Omega$$

Therefore, with  $R_X = R_Y = 10 \text{ k}\Omega$ , the above assumption is valid. Reference to Figure 19 will indicate limitations of  $V_X(max)$  or  $V_Y(max)$  due to  $V_{BE}$  and  $V_{CE}$ . Exceeding these limits will cause saturation or "cutoff" of the input transistors. See item 4 in Section 3 (General Design Procedure) for further details.

#### 2.1.4 Maximum Output Voltage Swing

The maximum output voltage swing is dependent upon the factors mentioned below and upon the particular circuit being considered.

For Figure 20 the maximum output swing is dependent upon  $V_{BE}$  for positive swing and upon the voltage at pin 1 for negative swing. The potential at pin 1 determines the quiescent level for transistors  $Q_5$ ,  $Q_6$ ,  $Q_7$ , and  $Q_8$ . This potential

OPERATION AND APPLICATIONS INFORMATION (continued)

should be related so that negative swings at pins 2 or 14 does not saturate those transistors. See Section 3 for further information regarding selection of these potentials.

If an operational amplifier is used for level shift, as shown in Figure 21, the output swing (of the multiplier) is greatly reduced. See Section 3 for further details.

3. General Design Procedure

Selection of component values is best demonstrated by the following example: assume resistive dividers are used at the X and Y inputs to limit the maximum multiplier input to  $\pm 5.0$  volts ( $V_X = V_Y = 5.0$  volts;  $V_{Xmax} = 10$  volt input  $V_{Ymax} = 10$  volt input). (See Figure 21) If an overall scale factor of 1/10 is desired, then

$$\frac{V_X \cdot V_Y}{10} = \frac{(2V_X)(2V_Y)}{10} = 4/10 V_X V_Y$$

Therefore  $K = 4/10$  for the multiplier including the divider network.

Step 1. The first step is to select current  $I_3$  and current  $I_{13}$ . There are no restrictions on the selection of either of these currents except the power dissipation of the device.  $I_3$  and  $I_{13}$  will normally be one or two milliamperes. Further,  $I_3$  does not have to be equal to  $I_{13}$ , and there is normally no need to make them different. For this example, let

$$I_3 = I_{13} = 1 \text{ mA}$$

To set currents  $I_3$  and  $I_{13}$  to the desired value, it is only necessary to connect a resistor between pin 13 and ground, and between pin 3 and ground. From the schematic shown in Figure 3

FIGURE 20 - BASIC MULTIPLIER

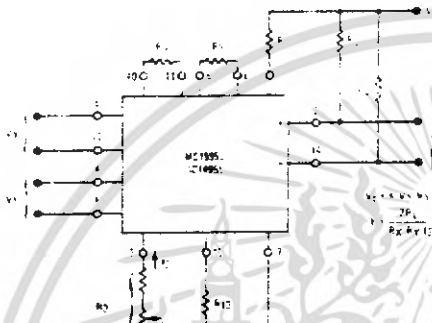
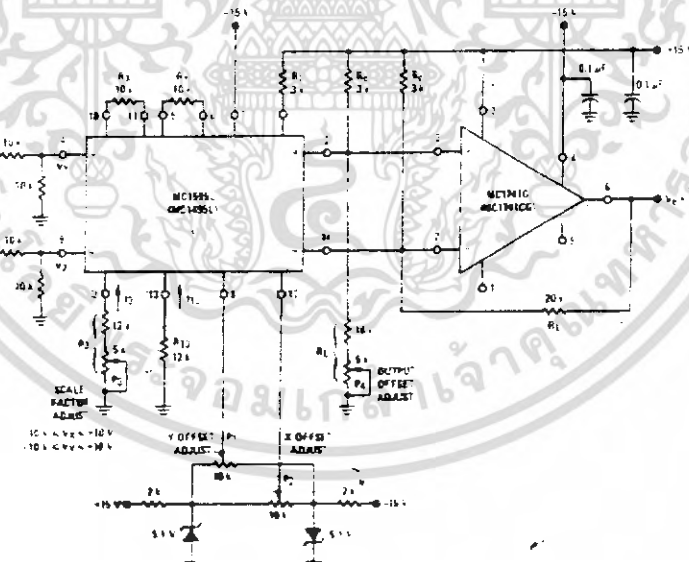


FIGURE 21 - MULTIPLIER WITH OP-AMPL. LEVEL SHIFT



เอกสารนี้เป็นเอกสารที่สงวนไว้สำหรับการใช้งานเพื่อการศึกษาเท่านั้น ไม่อนุญาตให้นำไปใช้ประโยชน์ด้านการค้า ไม่ว่ากรณีใดๆ ทั้งสิ้น อีกทั้งห้ามมิให้ดัดแปลงเนื้อหา และต้องอ้างอิงถึงเจ้าของเอกสารทุกครั้งที่มีการนำไปใช้

# MC1495L, MC1595L

## OPERATION AND APPLICATIONS INFORMATION (continued)

It can be seen that the resistor values necessary are given by

$$R_{13} + 500 \Omega = \frac{V_1 - 0.7 \text{ V}}{I_3}$$

$$I_3 = 500 \Omega = \frac{V_1 - 0.7 \text{ V}}{R_{13}}$$

$$\text{Let } V_1 = 15 \text{ V}$$

$$\text{Then } R_{13} + 500 = \frac{14.3 \text{ V}}{2 \text{ mA}} \text{ or } R_{13} = 7.8 \text{ k}\Omega$$

$$\text{Let } R_{13} = 12 \text{ k}\Omega$$

$$\text{Similarly } R_2 = 13.8 \text{ k}\Omega$$

$$\text{Let } R_3 = 15 \text{ k}\Omega$$

However, for applications which require an accurate scale factor, the adjustment of  $R_3$  and consequently,  $I_3$ , offers a convenient method of making a final trim of the scale factor. For this reason as shown in Figure 21, resistor  $R_3$  is shown as a fixed resistor in series with a potentiometer.

For applications not requiring an exact scale factor (balanced modulator, frequency doubler, AGC amplifier, etc.), pins 3 and 12 can be connected together and a single resistor from pin 3 to ground can be used. In this case, the single resistor would have a value of one-half the above calculated value for  $R_{13}$ .

Step 2. The next step is to select  $R_X$  and  $R_Y$ . To insure that the input transistors will always be active, the following conditions should be met:

$$\frac{V_X}{R_X} > I_3 \text{ and } \frac{V_Y}{R_Y} > I_3$$

A good rule of thumb is to make  $I_3 R_Y \geq 1.5 V_X(\text{max})$  and  $I_3 R_X \geq 1.5 V_Y(\text{max})$ .

The larger the  $I_3 R_Y$  and  $I_3 R_X$  product in relation to  $V_Y$  and  $V_X$  respectively, the more accurate the multiplier will be (see Figures 17 and 18).

$$\text{Let } R_X = R_Y = 10 \text{ k}\Omega$$

$$\text{Then } I_3 R_Y = 10 \text{ V}$$

$$I_3 R_X = 10 \text{ V}$$

Since  $V_X(\text{max}) = V_Y(\text{max}) = 5.0$  volts the value of  $R_X = R_Y = 10 \text{ k}\Omega$  is sufficient.

Step 3. Now that  $R_X$ ,  $R_Y$  and  $I_3$  have been chosen,  $R_1$  can be determined.

$$R_1 = \frac{2R_X}{2V_1 - V_1} = \frac{1}{I_3}$$

$$R_1 = \frac{2 \times 10 \text{ k}\Omega}{10 \text{ V} - 5 \text{ V}} = 2 \text{ k}\Omega$$

$$\text{Thus } R_1 = 2 \text{ k}\Omega$$

Step 4. To determine what power supply voltage is necessary for this application, attention must be given to the circuit schematic shown in Figure 21. From the circuit schematic it can be seen that in order to activate transistors  $Q_1$ ,  $Q_2$ ,  $Q_3$  and  $Q_4$ , an active

region when the maximum input voltages are applied ( $V_X = V_Y = 10 \text{ V}$  or  $V_X = 5.0 \text{ V}$ ,  $V_Y = 5.0 \text{ V}$ ), their respective collector voltage should be at least a few tenths of a volt higher than the maximum input voltage. It should also be noticed that the collector voltage of transistors  $Q_3$  and  $Q_4$  are at a potential which is two diode-drops below the voltage at pin 1. Thus, the voltage at pin 1 should be about two volts higher than the maximum input voltage. Therefore, to handle  $\pm 5.0$  volts at the inputs, the voltage at pin 1 must be at least  $\pm 7.0$  volts. Let  $V_1 = 9.0 \text{ Vdc}$ .

Since the current flowing into pin 1 is always equal to  $I_3$ , the voltage at pin 1 can be set by placing a resistor,  $R_1$  from pin 1 to the positive supply.

$$R_1 = \frac{V_1 - V_1}{I_3}$$

$$\text{Let } V_1 = 15 \text{ V}$$

$$\text{Then } R_1 = \frac{15 \text{ V} - 9 \text{ V}}{(2)(1 \text{ mA})}$$

$$R_1 = 3 \text{ k}\Omega$$

Note that the voltage at the base of transistors  $Q_5$ ,  $Q_6$ ,  $Q_7$  and  $Q_8$  is one diode-drop below the voltage at pin 1. Thus, in order that these transistors stay active, the voltage at pins 2 and 14 should be approximately halfway between the voltage at pin 1 and the positive supply voltage. For this example, the voltage at pins 2 and 14 should be approximately 11 volts.

### Step 5. Level Shifting

For dc applications, such as the multiply, divide and square-root functions, it is usually desirable to convert the differential output to a single-ended output voltage referenced to ground. The circuit shown in Figure 22 performs this function. It can be shown that the output voltage of this circuit is given by:

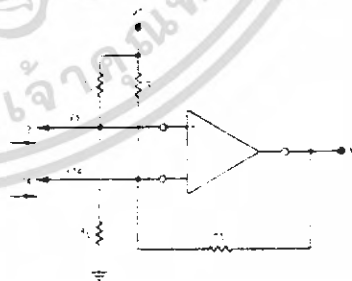
$$V_o = (I_3 - I_4) R_L$$

$$\text{And since } I_A = I_B = I_3 = I_4 = \frac{2I_3 V_X V_Y}{I_3 R_X R_Y}$$

$$\text{Then } V_o = \frac{2R_L V_X V_Y}{R_X R_Y I_3}$$

where  $V_X$ ,  $V_Y$  is the voltage at the input to the voltage divider.

FIGURE 22 - LEVEL SHIFT CIRCUIT



เอกสารนี้เป็นเอกสารที่สงวนไว้สำหรับการใช้งานเพื่อการศึกษาเท่านั้น ไม่อนุญาตให้นำไปใช้ประโยชน์ด้านการค้า ไม่ว่ากรณีใดๆ ทั้งสิ้น อีกทั้งห้ามมิให้ดัดแปลงเนื้อหา และต้องอ้างอิงถึงเจ้าของเอกสารทุกครั้งที่มีการนำไปใช้

MC1495L, MC1595L

OPERATION AND APPLICATIONS INFORMATION (continued)

The choice of an operational amplifier for this application should have low bias currents, low offset current, and a high common-mode input voltage range as well as a high common-mode rejection ratio. The MC1555L and MC1741 operational amplifiers meet these requirements.

Referring to Figure 21, the level shift components will be determined. When  $V_X = V_Y = 0$ , the currents  $I_1$  and  $I_2$  will be equal to  $I_3$ . In Step 2,  $R_2$  was found to be 20 k $\Omega$  and in Step 3,  $V_{Xoff}$  and  $V_{Yoff}$  were found to be approximately 11 volts. From this information,  $R_0$  can be found easily from the following equation (neglecting the operational amplifiers bias current):

$$\frac{V_X}{R_0} = \frac{V_{Xoff}}{R_2} + \frac{V_{Yoff}}{R_2}$$

For the example,  $\frac{11}{20k} = \frac{11}{20k} + \frac{11}{R_0}$

Solving for  $R_0$ ,  $R_0 = 3.0 k\Omega$ .

Thus, select  $R_0 = 3.0 k\Omega$ .

For  $R_0 = 3.0 k\Omega$ , the voltage at points 2 and 14 is calculated to be:

$$V_2 = V_{12} = 10.4 \text{ volts}$$

The linearity of this circuit (Figure 21) is likely to be as good or better than the circuit of Figure 3. Further improvements are

possible as shown in Figure 23 where  $R_X$  has been increased substantially to improve the Y linearity, and  $R_Y$  decreased somewhat so as not to materially affect the X linearity. This avoids increasing  $R_0$  significantly in order to maintain a K of 0.1.

The versatility of the MC1595 (MC1495) allows the user to optimize its performance for various input and output signal levels.

4. Offset and Scale Factor Adjustment

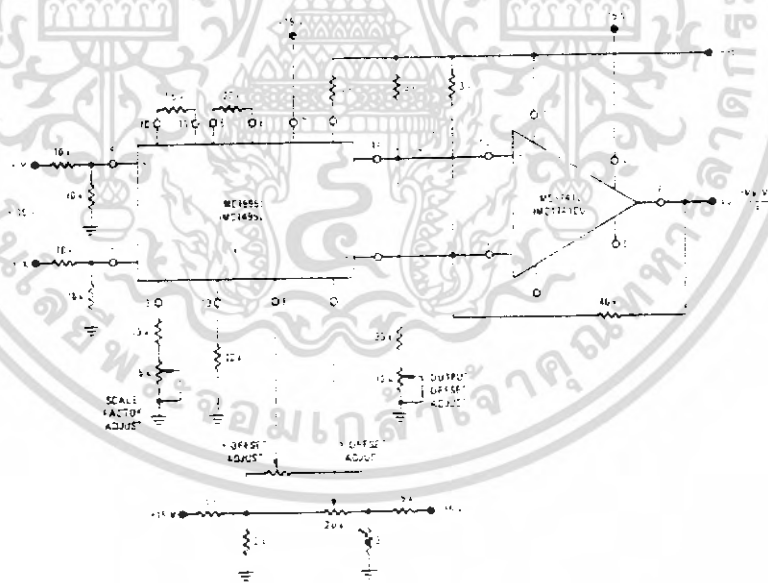
4.1 Offset Voltages

Within the monolithic multiple emitter bipolar transistor base-emitter junctions are typically matched within 1 mV and resistors are typically matched within 2%. Even with this careful matching, an output error can occur. This output error is comprised of X input offset voltage, Y input offset voltage, and output offset voltage. These errors can be adjusted to zero with the techniques shown in Figure 21. Offset terms can be shown analytically by the transfer function:

$$V_O = K(V_X - V_{Xoff}) + (V_Y - V_{Yoff}) + V_{Ooff} + V_{O0} \quad (1)$$

- Where K = scale factor
- $V_X$  = X input voltage
- $V_Y$  = Y input voltage
- $V_{Xoff}$  = X input offset voltage
- $V_{Yoff}$  = Y input offset voltage
- $V_{Xoff}$  = X input offset adjust voltage
- $V_{Yoff}$  = Y input offset adjust voltage
- $V_{Ooff}$  = output offset voltage

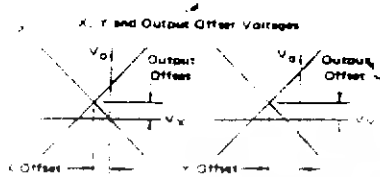
FIGURE 23 - MULTIPLIER WITH IMPROVED LINEARITY



เอกสารนี้เป็นเอกสารที่สงวนไว้สำหรับการใช้งานเพื่อการศึกษาเท่านั้น ไม่อนุญาตให้นำไปใช้ประโยชน์ด้านการค้า ไม่ว่ากรณีใดๆ ทั้งสิ้น อีกทั้งห้ามมิให้ดัดแปลงเนื้อหา และต้องอ้างอิงถึงเจ้าของเอกสารทุกครั้งที่มีการนำไปใช้

# MC1495L, MC1595L

## OPERATION AND APPLICATIONS INFORMATION (continued)



For most dc applications, all three offset adjust potentiometers ( $P_1$ ,  $P_2$ ,  $P_3$ ) will be necessary. One or more offset adjust potentiometers can be eliminated for ac applications (See Figures 28, 29, 30, 31).

If well regulated supply voltages are available, the offset adjust circuit of Figure 13 is recommended. Otherwise, the circuit of Figure 14 will greatly reduce the sensitivity to power supply changes.

### 4.2 Scale Factor

The scale factor,  $K$ , is set by  $P_3$  (Figure 21).  $P_3$  varies  $I_3$  which inversely controls the scale factor  $K$ . It should be noted that current  $I_3$  is one-half the current through  $R_3$ .  $R_3$  sets the bias level for  $Q_6$ ,  $Q_5$ ,  $Q_7$ , and  $Q_8$  (See Figure 3). Therefore, to be sure that these devices remain active under all conditions of input and output swing, care should be exercised in adjusting  $P_3$  over wide voltage ranges (see Section 3, General Design Procedure).

### 4.3 Adjustment Procedures

The following adjustment procedure should be used to null the offsets and set the scale factor for the multiply mode of operation. (See Figure 21)

1. X Input Offset
  - (a) Connect oscillator (1 kHz, 5 Vpp sine wave) to the "X" input (pin 4)
  - (b) Connect "X" input (pin 9) to ground
  - (c) Adjust X offset potentiometer,  $P_1$ , for an ac null at the output
2. Y Input Offset
  - (a) Connect oscillator (1 kHz, 5 Vpp sine wave) to the "Y" input (pin 9)
  - (b) Connect "Y" input (pin 4) to ground
  - (c) Adjust "Y" offset potentiometer,  $P_2$ , for an ac null at the output
3. Output Offset
  - (a) Connect both "X" and "Y" inputs to ground
  - (b) Adjust output offset potentiometer,  $P_3$ , until the output voltage  $V_0$  is zero volts dc
4. Scale Factor
  - (a) Apply +10 Vdc to both the "X" and "Y" inputs
  - (b) Adjust  $P_3$  to achieve +10.00 V at the output
  - (c) Repeat steps 1 through 4 as necessary.

The ability to accurately adjust the MC1595 (MC1495L) depends upon the characteristics of potentiometers  $P_1$  through  $P_3$ . Multi-turn, infinite resolution potentiometers with low-temperature coefficients are recommended.

## 5. DC Applications

### 5.1 Multiply

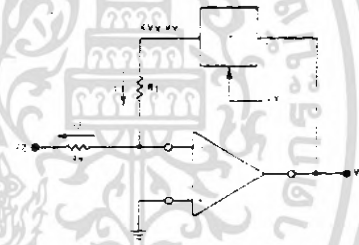
The circuit shown in Figure 21 may be used to multiply signals from dc to 100 kHz. Input levels to the multiplier are 0.1 V (max). With resistive voltage dividers the maximum could be very large — however, for this application two 10:one dividers have been used so that the maximum input level is 10 V. The maximum output level has also been designed for 10 V (max).

### 5.2 Squaring Circuit

If the two inputs are tied together, the resultant function is squaring; that is  $V_0 = KV^2$  where  $K$  is the scale factor. Note that all error terms can be eliminated with only three adjustment potentiometers, thus eliminating one of the input offset adjustments. Procedures for nulling with adjustments are given as follows:

1. AC Procedure
  - (a) Connect oscillator (1 kHz, 15 Vpp) to input
  - (b) Monitor output at 2 kHz with tuned voltmeter and adjust  $P_3$  for desired gain (be sure to peak response of the voltmeter)
  - (c) Tune voltmeter to 1 kHz and adjust  $P_1$  for a minimum output voltage
  - (d) Ground input and adjust  $P_4$  (output offset) for zero volts dc output
  - (e) Repeat steps a through d as necessary
2. DC Procedure:
  - (a) Set  $V_X = V_Y = 0$  V and adjust  $P_4$  (output offset potentiometer) such that  $V_0 = 0.0$  Vdc
  - (b) Set  $V_X = V_Y = 1.0$  V and adjust  $P_1$  (Y input offset potentiometer) such that the output voltage is -0.100 volts
  - (c) Set  $V_X = V_Y = 10$  Vdc and adjust  $P_3$  such that the output voltage is +10.00 volts
  - (d) Set  $V_X = V_Y = -10$  Vdc. Repeat steps a through d as necessary.

FIGURE 24 — BASIC DIVIDE CIRCUIT



### 5.3 Divide Circuit

Consider the circuit shown in Figure 24 in which the multiplier is placed in the feedback path of an operational amplifier. For this configuration, the operational amplifier will maintain its "virtual ground" at the inverting (-) input. Assuming that the bias current of the operational amplifier is negligible, then  $I_1$  and

$$\frac{KV_X V_Y}{R_1} = \frac{-V_0}{R_2} \quad (1)$$

$$\text{Solving for } V_0, \quad \frac{KV_X V_Y}{R_2 \times V_X} = \frac{-R_1 V_0}{R_2} \quad (2)$$

$$V_0 = \frac{V_X}{-V_X} \times \frac{R_1}{R_2} \times V_Y \quad (3)$$

$$V_0 = -R_1 \times \frac{V_Y}{V_X} \times K \quad (4)$$

เอกสารนี้เป็นเอกสารที่สงวนไว้สำหรับการใช้งานเพื่อการศึกษาเท่านั้น ไม่อนุญาตให้นำไปใช้ประโยชน์ด้านการค้า ไม่ว่ากรณีใดๆ ทั้งสิ้น อีกทั้งห้ามมิให้ดัดแปลงเนื้อหา และต้องอ้างอิงถึงเจ้าของเอกสารทุกครั้งที่มีการนำไปใช้

OPERATION AND APPLICATIONS INFORMATION (continued)

hence the output voltage is the ratio of  $V_2$  to  $V_X$  and provides a divide function. This analysis is, of course, the ideal condition. If the multiplier error is taken into account, the output voltage is found to be

$$V_Y = \frac{(R_1/R_2) V_2}{K V_X} - \frac{\Delta E}{K V_X} \quad (5)$$

where  $\Delta E$  is the error voltage at the output of the multiplier. From this equation, it is seen that divide accuracy is strongly dependent upon the accuracy at which the multiplier can be set, particularly at small values of  $V_X$ . For example, assume that  $R_1 = R_2$ , and  $K = 1/10$ . For these conditions the output of the divide circuit is given by

$$V_Y = \frac{-10 V_2}{V_X} - \frac{10 \Delta E}{V_X} \quad (6)$$

From equation 6, it is seen that only when  $V_X = 10$  V is the error voltage of the divide circuit as low as the error of the multiply circuit. For example, when  $V_X$  is small, 10.1 volt, the error voltage of the divide circuit can be expected to be hundred times the error of the basic multiplier circuit, in terms of percentage error:

$$\text{percentage error} = \frac{\text{error}}{\text{actual}} \times 100\%$$

or from equation (5),

$$\text{P.E.C.} = \frac{E}{\frac{R_1}{R_2} \frac{V_2}{K V_X}} = \frac{R_2}{R_1} \frac{\Delta E}{V_2} \quad (7)$$

From equation 7, the percentage error is inversely related to voltage  $V_2$  (i.e., for increasing values of  $V_2$ , the percentage error decreases).

A circuit that performs the divide function is shown in Figure 25.

Two things should be emphasized concerning Figure 25:

1. The input voltage ( $V_X$ ) must be greater than zero and must be positive. This insures that the current out of pin 2 of the multiplier will always be in a direction compatible with the polarity of  $V_2$ .
2. Pins 2 and 14 of the multiplier have been interchanged in respect to the operational amplifier input terminals. In this instance, Figure 25 differs from the circuit connection shown in Figure 21, necessitated to insure negative feedback around the loop.

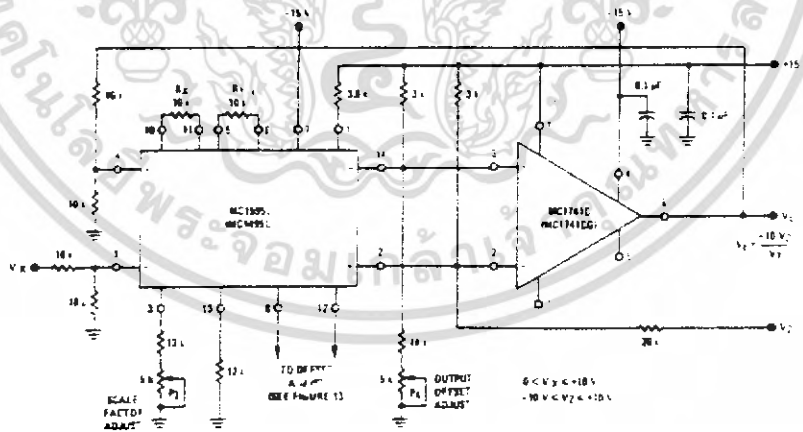
A Suggested Adjustment Procedure for the Divide Circuit:

1. Set  $V_2 = 0$  volts and adjust the output offset potentiometer ( $P_4$ ) until the output voltage ( $V_0$ ) remains at some (not necessarily zero) constant value as  $V_X$  is varied between +1.0 volt and -10 volts.
2. Keep  $V_2$  at 0 volts, set  $V_X$  at +10 volts and adjust the X input offset potentiometer ( $P_1$ ) until  $V_0 = 0$  volts.
3. Let  $V_0 = V_2$  and adjust the X input offset potentiometer ( $P_2$ ) until the output voltage remains at some (not necessarily -10 volts) constant value as  $V_2 = V_X$  is varied between +1.0 and -10 volts.
4. Keep  $V_X = V_2$  and adjust the scale factor potentiometer ( $P_3$ ) until the average value of  $V_0$  is -10 volts as  $V_2 = V_X$  is varied between +1.0 volt and -10 volts.
5. Repeat steps 1 through 4 as necessary to achieve optimum performance.

5.4 Square Root

A special case of the divide circuit in which the two inputs to the multiplier are connected together is the square root function.

FIGURE 25 - DIVIDE CIRCUIT



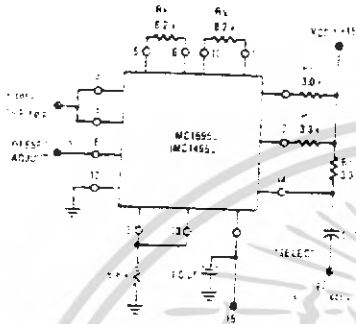
เอกสารนี้เป็นเอกสารที่สงวนไว้สำหรับการใช้งานเพื่อการศึกษาเท่านั้น ไม่อนุญาตให้拿去ใช้ประโยชน์ด้านการค้า ไม่ว่ากรณีใดๆ ทั้งสิ้น อีกทั้งห้ามมิให้ตัดแปลงเนื้อหา และต้องอ้างอิงถึงเจ้าของเอกสารทุกครั้งที่มีการนำไปใช้



# MC1495L, MC1595L

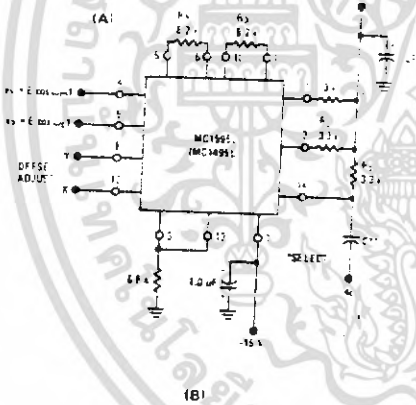
## OPERATION AND APPLICATIONS INFORMATION

FIGURE 28 - FREQUENCY DOUBLER



When two equal cosine waves are applied to 2 and 3 and the result is a sine wave of twice the input frequency. For this example the input was a 10 kHz signal; output was 20 kHz.

FIGURE 29 - BALANCED MODULATOR



The defining equation for balanced modulation is

$$K E_m \cos \omega_m t (E_c \cos \omega_c t)$$

$$\frac{K E_m E_c}{2} (\cos \omega_c t + \omega_m t) + \cos \omega_c t - \omega_m t$$

where  $\omega_c$  is the carrier frequency,  $\omega_m$  is the modulator frequency and K is the multiplier gain constant.

AC coupling at the output eliminates the need for level translation of an operational amplifier, a higher operating frequency results.

A problem common to communications is to extract the intelligence from single sideband received signals. The sbb signal is of the form

$$E_{sbb} \cos \omega_c t + \omega_m t$$

and is multiplied by the appropriate carrier waveform,  $\cos \omega_c t$ .

$$E_{sbb} \cos \omega_c t + \omega_m t \cos \omega_c t$$

If the frequency of the band-limited carrier signal,  $\omega_c$ , is ascertained in advance the designer can insert a low-pass filter and obtain the  $(AK/2) (\cos \omega_m t)$  term with ease. He also can use an operational amplifier for a combination level shift-active filter, as an external component. But in ported multipliers, even if the frequency range can be covered, the operational amplifier is inside and not accessible, so the user must accept the level shifting provided, and still add a low-pass filter.

### 5.3 Amplitude Modulation

The multiplier performs amplitude modulation, similar to balanced modulation, when a dc term is added to the modulating signal with the Y offset adjust potentiometer. (See Figure 30.)

Here, the identity

$$E_m (1 + m \cos \omega_m t) E_c \cos \omega_c t = K E_m E_c \cos \omega_c t +$$

$$\frac{K E_m E_m}{2} (\cos \omega_c t + \omega_m t) + \cos \omega_c t - \omega_m t$$

where m indicates the degree of modulation. Since m is adjustable, via potentiometer P1, 100% modulation is possible. Without extensive tweaking, 96% modulation may be obtained where  $\omega_c$  and  $\omega_m$  are the same as in the balanced-modulator example.

### 5.4 Linear Gain Control

To obtain linear gain control, the designer can feed to one of the two MC1595 (MC1495) inputs a signal that will vary the unit's gain. The following example demonstrates the feasibility of this application. Suppose a 200 kHz sine wave (1.0 volt peak-to-peak) is the signal to which a gain control will be added. The dynamic range of the control voltage  $V_C$  is 0.10 - 1.0 volt. These must be ascertained and the proper values of  $R_3$  and  $R_4$  can be selected for optimum performance. For the 200-kHz operating frequency, load resistors of 100 ohms were chosen to broaden the operating bandwidth of the multiplier, but gain was sacrificed. It may be made up with an amplifier operating at the appropriate frequency. (See Figure 31.)

เอกสารนี้เป็นเอกสารที่สงวนไว้สำหรับการใช้งานเพื่อการศึกษาเท่านั้น ไม่อนุญาตให้นำไปใช้ประโยชน์ด้านการค้า ไม่ว่ากรณีใดๆ ทั้งสิ้น อีกทั้งห้ามมิให้ดัดแปลงเนื้อหา และต้องอ้างอิงถึงเจ้าของเอกสารทุกครั้งที่มีการนำไปใช้





**MOTOROLA**

**TL081  
TL082  
TL084**

### Specifications and Applications Information

#### JFET INPUT OPERATIONAL AMPLIFIERS

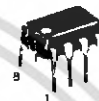
These low-cost JFET input operational amplifiers combine two state-of-the-art linear technologies on a single monolithic integrated circuit. Each internally compensated operational amplifier has well matched high voltage JFET input devices for low input offset voltage. The BIFET technology provides wide bandwidths and fast slew rates with low input bias currents, input offset currents, and supply currents.

These devices are available in single, dual and quad operational amplifiers which are pin-compatible with the industry standard MC1741, MC1458, and the MC3403/LM324 bipolar products. Devices with an "M" suffix are specified over the military operating temperature range of  $-55^{\circ}\text{C}$  to  $+125^{\circ}\text{C}$  and those with a "C" suffix are specified from  $0^{\circ}\text{C}$  to  $+70^{\circ}\text{C}$ .

- Input Offset Voltage Options of 3.0, 6.0, and 15 mV Max
- Low Input Bias Current — 30 pA
- Low Input Offset Current — 5.0 pA
- Wide Gain Bandwidth — 4.0 MHz
- High Slew Rate — 13 V/ $\mu\text{s}$
- Low Supply Current — 1.4 mA per Amplifier
- High Input Impedance —  $10^{12} \Omega$
- Industry Standard Pinouts

#### JFET INPUT OPERATIONAL AMPLIFIERS

SILICON MONOLITHIC INTEGRATED CIRCUITS



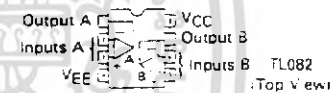
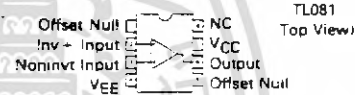
P SUFFIX  
PLASTIC PACKAGE  
CASE 626-05



JG SUFFIX  
CERAMIC PACKAGE  
CASE 693-02



D SUFFIX  
PLASTIC PACKAGE  
CASE 751-02  
SO-8



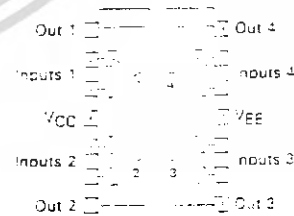
N SUFFIX  
PLASTIC PACKAGE  
CASE 846-06  
TL084 Onv



J SUFFIX  
CERAMIC PACKAGE  
CASE 532-09  
TL084 Onv



D SUFFIX  
PLASTIC PACKAGE  
CASE 751A-02  
SO-14



#### ORDERING INFORMATION

Op Amp Function	Device	Temperature Range	Package
Single	TL081ACD, 3CD, CD		SO-8
	TL081ACJG, 3CJG, CJG	0 to $+70^{\circ}\text{C}$	Ceramic DIP
	TL081ACP, 3CP, CP		Plastic DIP
	TL081MJG	$-55$ to $+125^{\circ}\text{C}$	Ceramic DIP
Dual	TL082ACD, 3CD, CD		SO-8
	TL082ACJG, 3CJG, CJG	0 to $+70^{\circ}\text{C}$	Ceramic DIP
	TL082ACP, 3CP, CP		Plastic DIP
	TL082MJG	$-55$ to $+125^{\circ}\text{C}$	Ceramic DIP
Quad	TL084ACD, 3CD, CD		SO-14
	TL084ACJ, 3CJ, CJ	0 to $+70^{\circ}\text{C}$	Ceramic DIP
	TL084ACN, 3CN, CN		Plastic DIP
	TL084MJ	$-55$ to $+125^{\circ}\text{C}$	Ceramic DIP

MOTOROLA LINEAR INTEGRATED CIRCUITS

2-335

เอกสารนี้เป็นเอกสารที่สงวนไว้สำหรับการใช้งานเพื่อการศึกษาเท่านั้น ไม่อนุญาตให้นำไปใช้ประโยชน์ด้านการค้า ไม่ว่ากรณีใดๆ ทั้งสิ้น อีกทั้งห้ามมิให้ดัดแปลงเนื้อหา และต้องอ้างอิงถึงเจ้าของเอกสารทุกครั้งที่มีการนำไปใช้

TL081, TL082, TL084

MAXIMUM RATINGS

Rating	Symbol	TL081			Unit
		M	C	AC/BC	
Supply Voltage	V <sub>CC</sub> V <sub>EE</sub>	-18 -12	+18 +12	-18 -18	V
Differential Input Voltage	V <sub>IC</sub>	±30	±30		V
Input Voltage Range (Note 1)	V <sub>IDR</sub>	±15	±15		V
Output Short-Circuit Duration (Note 2)	t <sub>s</sub>	Continuous			
Power Dissipation	P <sub>D</sub>	—	680	680	mW
Plastic Package (N,P) Derate above T <sub>A</sub> = -47°C	θ <sub>JC</sub>	—	10	10	mW/°C
Ceramic Package (J,G) Derate above T <sub>A</sub> = -82°C	θ <sub>JA</sub>	630	680	10	mW/°C
Operating Ambient Temperature Range	T <sub>A</sub>	-55 to -125	0 to -75		°C
Storage Temperature Range	T <sub>STG</sub>	-65 to -150	-65 to -150		°C

NOTES: 1. The magnitude of the input voltage must not exceed the magnitude of the supply voltage or 15 volts, whichever is less.  
2. The output may be shorted to ground or either supply. Temperature and/or supply voltages must be limited to ensure that power dissipation ratings are not exceeded.

ELECTRICAL CHARACTERISTICS (V<sub>CC</sub> = +15 V, V<sub>EE</sub> = -15 V, T<sub>A</sub> = -25°C unless otherwise noted)

Characteristic	Symbol	TL081			TL081 C TL081 AC TL081 BC			Unit
		Min	Typ	Max	Min	Typ	Max	
Input Offset Voltage (R <sub>S</sub> ≤ 10 k, V <sub>CM</sub> = 0) TL081, TL082 TL084 TL081 A TL081 B	V <sub>IC</sub>	—	3.0 3.0	6.0 9.0	—	5.0 5.0 3.0 2.0	15 15 6.0 3.0	mV
Average Temperature Coefficient of Input Offset Voltage R <sub>S</sub> = 50 Ω, T <sub>A</sub> = T <sub>low</sub> to T <sub>high</sub> (Note 3)	ΔV <sub>IC</sub> /ΔT	—	10	—	—	10	—	μV/°C
Input Offset Current (V <sub>CM</sub> = 0) (Note 4) TL081 TL081 A, TL081 B	I <sub>IO</sub>	—	5.0	100	—	5.0 5.0	200 100	pA
Input Bias Current (V <sub>CM</sub> = 0) (Note 4) TL081 TL081 A, TL081 B	I <sub>IB</sub>	—	30	200	—	30 30	400 200	pA
Input Resistance	r <sub>i</sub>	—	10 <sup>12</sup>	—	—	10 <sup>12</sup>	—	Ω
Common Mode Input Voltage Range TL081 TL081 A, TL081 B	V <sub>ICR</sub>	±11	-15, -12	—	±10	+15, -12	—	V
Large-Signal Voltage Gain (V <sub>O</sub> = ±10 V, R <sub>L</sub> ≥ 2.0 k) TL081 TL081 A, TL081 B	AV <sub>OL</sub>	—	150	—	25	150 150	—	V/mV
Output Voltage Swing (Peak-to-Peak) R <sub>L</sub> = 10 k	V <sub>O</sub>	24	26	—	24	26	—	V
Common Mode Rejection Ratio (R <sub>S</sub> ≤ 10 k) TL081 TL081 A, TL081 B	CMRR	80	100	—	70	100	—	dB
Supply Voltage Rejection Ratio (R <sub>S</sub> ≤ 10 k) TL081 TL081 A, TL081 B	PSRR	80	100	—	70	100	—	dB
Supply Current (Each Amplifier)	I <sub>D</sub>	—	1.4	2.8	—	1.4	2.8	mA
Unity Gain Bandwidth	BW	—	4.0	—	—	4.0	—	MHz

MOTOROLA LINEAR/INTERFACE DEVICES

เอกสารนี้เป็นเอกสารที่สงวนไว้สำหรับการใช้งานเพื่อการศึกษาเท่านั้น ไม่อนุญาตให้นำไปใช้ประโยชน์ด้านการค้า  
ไม่ว่ากรณีใดๆ ทั้งสิ้น อีกทั้งห้ามมิให้ดัดแปลงเนื้อหา และต้องอ้างอิงถึงเจ้าของเอกสารทุกครั้งที่มีการนำไปใช้

# TL081, TL082, TL084

ELECTRICAL CHARACTERISTICS ( $V_{CC} = +15\text{ V}$ ,  $V_{EE} = -15\text{ V}$ ,  $T_A = -25^\circ\text{C}$  unless otherwise noted).

Characteristic	Symbol	TL08__M			TL08__C TL08__AC TL08__BC			Unit
		Min	Typ	Max	Min	Typ	Max	
Slew Rate (See Figure 1) $V_{in} = 10\text{ V}$ , $R_L = 2.0\text{ k}$ , $C_L = 100\text{ pF}$	SR	8.0	13	—	—	13	—	V/ $\mu\text{s}$
Rise Time (See Figure 1)	$t_r$	—	0.1	—	—	0.1	—	$\mu\text{s}$
Overshoot Factor $V_{in} = 20\text{ mV}$ , $R_L = 2.0\text{ k}$ , $C_L = 100\text{ pF}$	—	—	10	—	—	10	—	%
Equivalent Input Noise Voltage $R_S = 100\ \Omega$ , $f = 1000\text{ Hz}$	$e_n$	—	25	—	—	25	—	nV/ $\sqrt{\text{Hz}}$
Channel Separation $A_V = 100$	—	—	120	—	—	120	—	dB

ELECTRICAL CHARACTERISTICS ( $V_{CC} = +15\text{ V}$ ,  $V_{EE} = -15\text{ V}$ ,  $T_A = T_{\text{Low}}$  to  $T_{\text{High}}$  (Note 3)).

Characteristic	Symbol	TL08__M			TL08__C TL08__AC TL08__BC			Unit
		Min	Typ	Max	Min	Typ	Max	
Input Offset Voltage ( $R_S \leq 10\text{ k}$ , $V_{CM} = 0$ ) TL081, TL082 TL084 TL08__A TL08__B	$V_{IO}$	—	—	9.0	—	—	30	mV
Input Offset Current ( $V_{CM} = 0$ ) (Note 4) TL08__ TL08__A, TL08__B	$I_{IO}$	—	—	20	—	—	5.0	nA
Input Bias Current ( $V_{CM} = 0$ ) (Note 4) TL08__ TL08__A, TL08__B	$I_B$	—	—	50	—	—	10	nA
Large-Signal Voltage Gain ( $V_O = \pm 10\text{ V}$ , $R_L \geq 2.0\text{ k}$ ) TL08__ TL08__A, TL08__B	$A_{VOL}$	15	—	—	15	—	—	V/mV
Output Voltage Swing (Peak-to-Peak) $R_L = 10\text{ k}$ $R_L \geq 2.0\text{ k}$	$V_O$	24	—	—	14	—	—	V

NOTES (continued):  
 3  $T_{\text{Low}} = -55^\circ\text{C}$  for TL081M, TL082M, TL084M;  $T_{\text{High}} = -125^\circ\text{C}$  for TL081M, TL082M, TL084M  
 $5^\circ\text{C}$  for TL081C, TL081AC, TL081BC;  $-70^\circ\text{C}$  for TL081C, TL081AC, TL081BC  
 $5^\circ\text{C}$  for TL082C, TL082AC, TL082BC;  $-70^\circ\text{C}$  for TL082C, TL082AC, TL082BC  
 $5^\circ\text{C}$  for TL084C, TL084AC, TL084BC;  $-70^\circ\text{C}$  for TL084C, TL084AC, TL084BC  
 4 Input Bias currents of JFET input Op Amps approximately double for every  $10^\circ\text{C}$  rise in junction temperature as shown in Figure 3. To maintain junction temperature as close to ambient temperature as possible, pulse techniques must be used during test.

## TEST CIRCUITS

FIGURE 1 — UNITY GAIN VOLTAGE FOLLOWER

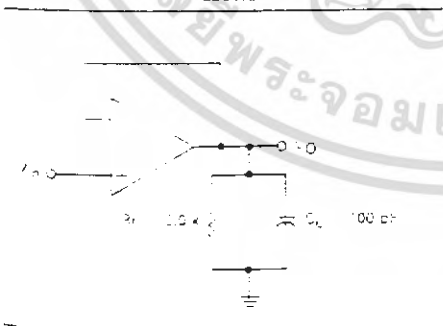
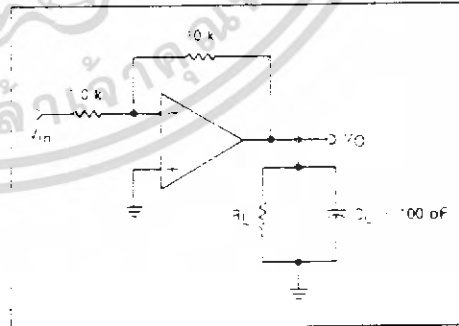


FIGURE 2 — INVERTING GAIN OF 10 AMPLIFIER



NOT UNUSUAL LINEAR INTERFACE DEVICES

เอกสารนี้เป็นเอกสารที่สงวนไว้สำหรับการใช้งานเพื่อการศึกษาเท่านั้น ไม่อนุญาตให้นำไปใช้ประโยชน์ด้านการค้า ไม่ว่ากรณีใดๆ ทั้งสิ้น อีกทั้งห้ามมิให้ดัดแปลงเนื้อหา และต้องอ้างอิงถึงเจ้าของเอกสารทุกครั้งที่มีการนำไปใช้

TL081, TL082, TL084

FIGURE 9 — LARGE-SIGNAL VOLTAGE GAIN AND PHASE SHIFT versus FREQUENCY

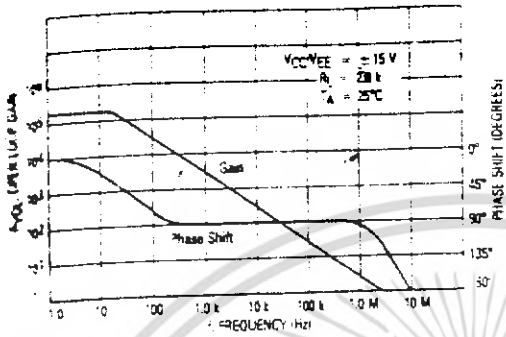


FIGURE 10 — LARGE-SIGNAL VOLTAGE GAIN versus TEMPERATURE

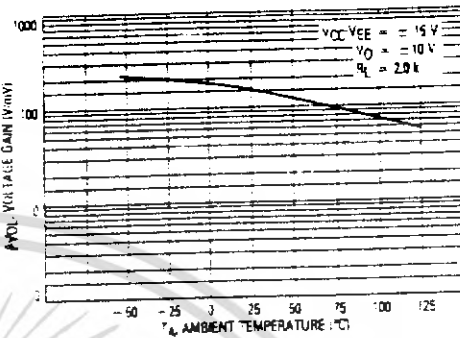


FIGURE 11 — NORMALIZED SLEW RATE versus TEMPERATURE

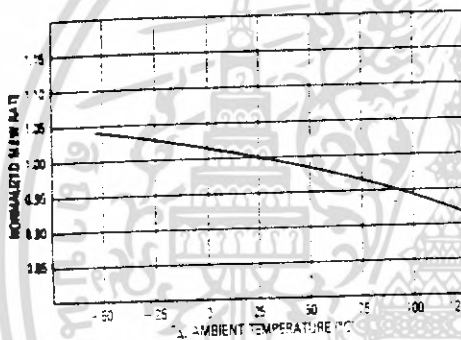


FIGURE 12 — EQUIVALENT INPUT NOISE VOLTAGE versus FREQUENCY

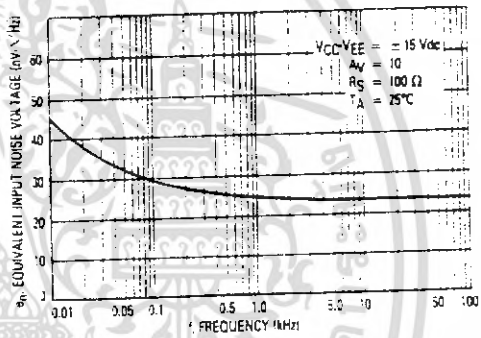
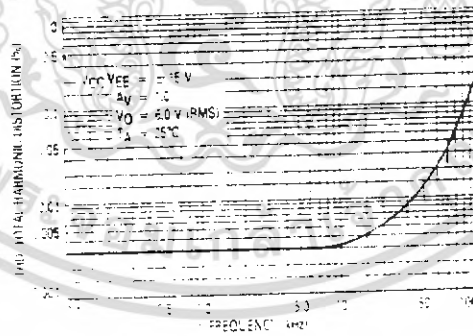


FIGURE 13 — TOTAL HARMONIC DISTORTION versus FREQUENCY

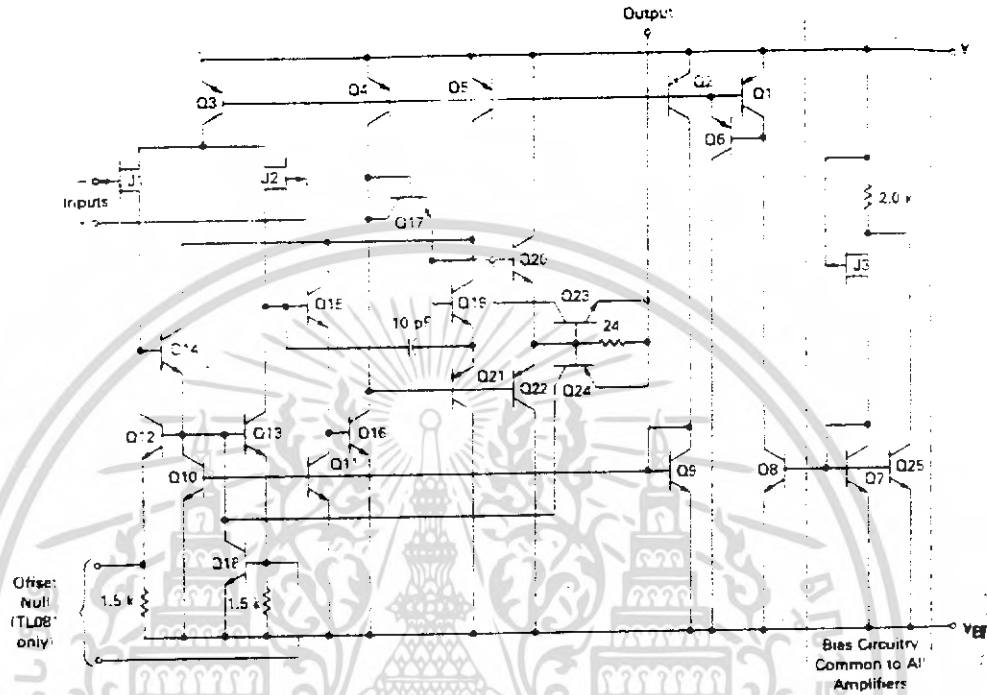


MOTOROLA LINEAR/INTERFACE DEVICES

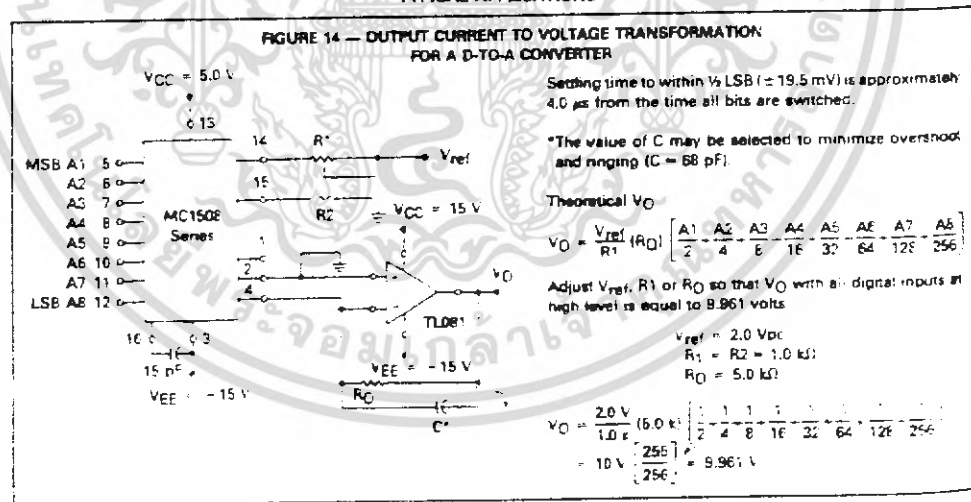
เอกสารนี้เป็นเอกสารที่สงวนไว้สำหรับการใช้งานเพื่อการศึกษาเท่านั้น ไม่อนุญาตให้นำไปใช้ประโยชน์ด้านการค้า ไม่ว่ากรณีใดๆ ทั้งสิ้น อีกทั้งห้ามมิให้ดัดแปลงเนื้อหา และต้องอ้างอิงถึงเจ้าของเอกสารทุกครั้งที่มีการนำไปใช้

TL081, TL082, TL084

REPRESENTATIVE CIRCUIT SCHEMATIC  
(Each Amplifier)



TYPICAL APPLICATIONS



MOTOROLA LINEAR INTERFACE DEVICES

เอกสารนี้เป็นเอกสารที่สงวนไว้สำหรับการใช้งานเพื่อการศึกษาเท่านั้น ไม่อนุญาตให้นำไปใช้ประโยชน์ด้านการค้า ไม่ว่าจะกรณีใดๆ ทั้งสิ้น อีกทั้งห้ามมิให้ดัดแปลงเนื้อหา และต้องอ้างอิงถึงเจ้าของเอกสารทุกครั้งที่มีการนำไปใช้